

**KARAKTERISASI DAN PENENTUAN LAJU DISOLUSI
KOKRISTAL PIROKSIKAM-ASAM MALAT**



UNIVERSITAS ISLAM NEGERI
ALAUDDIN
M A K A S S A R

Skripsi

Diajukan untuk Memenuhi Salah Satu Syarat Meraih Gelar
Sarjana Farmasi (S.Farm.) Program Studi Farmasi
pada Fakultas Kedokteran dan Ilmu Kesehatan
UIN Alauddin Makassar

UNIVERSITAS ISLAM NEGERI
ALAUDDIN
M A K A S S A R

Oleh:

NURJANNAH

NIM: 70100113088

FAKULTAS KEDOKTERAN DAN ILMU KESEHATAN
UIN ALAUDDIN MAKASSAR

2017

PERNYATAAN KEASLIAN SKRIPSI

Mahasiswa yang bertanda tangan di bawah ini:

Nama : Nurjannah
NIM : 70100113088
Tempat/Tgl. Lahir : Kabiraan/ 20 Mei 1995
Jurusan : Farmasi
Fakultas/Program : Kedokteran dan Ilmu Kesehatan
Alamat : Jl. Manuruki 2, Alauddin II, Makassar
Judul : Karakterisasi dan Penentuan Laju Disolusi Kokristal Piroksikam-Asam Malat

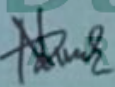
Menyatakan dengan sesungguhnya dan penuh kesadaran, bahwa skripsi ini benar adalah hasil karya sendiri. Jika di kemudian hari terbukti bahwa ia merupakan duplikat, tiruan, plagiat, atau dibuat dan dibantu orang lain secara keseluruhan, maka skripsi dan gelar yang diperoleh karenanya batal demi hukum.

UNIVERSITAS ISLAM Samata-Gowa,

Agustus 2017

ALAUDDIN
M A K A S S A

Penyusun,


NURJANNAH

NIM : 70100113088



KEMENTERIAN AGAMA RI
UNIVERSITAS ISLAM NEGERIALAUDDIN MAKASSAR
FAKULTAS KEDOKTERAN DAN ILMU KESEHATAN
JURUSAN FARMASI

Kampus I: Jl. Sultan Alauddin No.63 Telp.0411-864924 fax.0411-864923 Makassar
Kampus II: Jl. H. M. Yasin Limpo N0.36 Telp.0411-841879 Fax. 0411-8221400 Samata-Gowa

PERSETUJUAN UJIAN MUNAQASYAH

Yang bertandatangan di bawah ini:

1. Nama : Haeria, S.Si., M.Si.
Jabatan : Pembimbing I
2. Nama : Nur Syamsi Dhuha, S.Farm., M.Si.
Jabatan : Pembimbing II

Menerangkan bahwa yang bersangkutan di bawah ini:

Nama : Nurjannah
NIM : 70100113088
Judul : Karakterisasi dan Penentuan Laju Disolusi Kokristal Piroxicam-Asam Malat

Telah melaksanakan dan menyelesaikan Skripsi Penelitian dengan judul skripsi yang tertera diatas.

Demikianlah surat keterangan ini yang menjadi salah satu agar dapat melaksanakan Ujian Munaqasayah, semoga dapat dipergunakan sebagaimana mestinya.

Samata-Gowa, Agustus 2017

UNIVERSITAS ISLAM NEGERI

Mengesahkan,
ALAUDDIN
M A K A S S A R

Pembimbing I

Pembimbing II

Haeria, S.Si., M.Si.

NIP.19780715 200604 2 004

Nur Syamsi Dhuha, S.Farm., M.Si

NIP. 19880622 201503 2 004

PENGESAHAN SKRIPSI

Skripsi yang berjudul **"Karakterisasi Dan Penentuan Laju Disolusi Kokristal Piroksikam Asam Malat"** yang disusun oleh **Nurjannah, NIM: 70100113088**, Mahasiswa Jurusan Farmasi Fakultas Kedokteran dan Ilmu Kesehatan UIN Alauddin Makassar, telah diuji dan dipertahankan dalam Ujian Sidang Skripsi yang diselenggarakan pada hari Selasa, **15 Agustus 2017 M** yang bertepatan dengan **22 Dzulqa'idah 1438 H**, dinyatakan telah dapat diterima sebagai salah satu syarat untuk memperoleh gelar Sarjana dalam Fakultas Kedokteran dan Ilmu Kesehatan, Jurusan Farmasi.

Gowa, **15 Agustus 2017 M**
22 Dzulqa'idah 1438 H

DEWAN PENGUJI

Ketua	: Dr. dr. H. Ardi Armyrn Nurdin, M.Sc.	(.....)
Sekretaris	: Mukhriani, S.Si., M.Si., Apt.	(.....)
Pembimbing I	: Haerfa, S.Si., M.Si.	(.....)
Pembimbing II	: Nur Syamsi Dhuha, S.Farm., M.Si.	(.....)
Penguji I	: Nursalam Hamzah, S.Si., M.Si., Apt.	(.....)
Penguji II	: Drs. H.M. Kurdi, M.HI	(.....)



Dekan
Dr. dr. H. Ardi Armyrn Nurdin, M.Sc
NIP. 195402031983121001

KATA PENGANTAR



Alhamdulillah atas izin dan Allah SWT, skripsi ini dapat terselesaikan walaupun dalam bentuk sederhana. Pernyataan rasa syukur kepada sang Khalik atas hidayah dan rahmat-Nya yang diberikan dalam mewujudkan karya ini tidak dapat penulis lukiskan dengan kalimat apapun kecuali hanya menyadari betapa kecilnya diri ini dihadapannya.

Skripsi ini disusun sebagai persyaratan untuk mendapatkan gelar sarjana Farmasi pada jurusan farmasi Fakultas Kedokteran dan Ilmu Kesehatan UIN Alauddin Makassar. Penulis menyadari sepenuhnya bahwa sang Khalik telah menggerakkan hati segelintir hambanya untuk membantu dan membimbing penulis selama penyusunan skripsi ini. Oleh karena itu penulis menyampaikan penghargaan yang setinggi-tingginya dan ucapan terima kasih yang terkhusus dan teristimewa kepada ayahanda Sayadi Bintaha dan ibunda Hj. St. Salsiah yang telah mengasuh, membesarkan dan mendidik penulis dengan limpahan kasih sayang. Doa restu dan pengorbanannya yang tulus dan ikhlas telah menjadi pemacu dan pemicu yang selalu mengiringi langkah penulis dalam perjuangan meraih masa depan yang cerah.

Ucapan terima kasih yang setinggi-tingginya juga tak lupa penulis haturkan kepada:

1. Prof. Dr. H. Musafir Pababbari, M.Si selaku Rektor UIN Alauddin Makassar dan para Pembantu Rektor.
2. Dr. dr. H. Andi Armyn Nurdin, M.Sc Selaku Dekan Fakultas Kedokteran dan Ilmu Kesehatan UIN Alauddin Makassar serta para Pembantu Dekan.
3. Haeria, S.Si., M.Si. sebagai Ketua Jurusan Farmasi sekaligus sebagai pembimbing I yang telah memberikan waktu dan bimbingan dalam penyusunan Skripsi ini.
4. Mukhriani, S.Si, M.Si., Apt. selaku Sekretaris Jurusan Farmasi sekaligus sebagai Penasehat Akademik, yang telah memberikan bimbingan sejak awal hingga saat ini.

5. Nur Syamsi Dhuha, S.Farm., M.Si. selaku Pembimbing II yang telah memberikan waktu dan bimbingan dalam penyusunan Skripsi ini.
6. Nursalam Hamzah, S.Si., M.Si., Apt. selaku penguji kompetensi yang telah memberikan bimbingan selama penyusunan Skripsi ini.
7. Drs. H. M. Kurdi, M.HI. selaku penguji Agama yang telah memberikan bimbingan keagamaan selama penulis menyusun Skripsi ini.
8. Dosen-Dosen serta pegawai dalam lingkungan Fakultas Kedokteran dan Ilmu Kesehatan UIN Alauddin Makassar yang telah memberikan bantuan, bimbingan dan ilmu pengetahuan selama penulis menempuh pendidikan.
9. Seluruh Laboran Laboratorium jurusan Farmasi Fakultas Kedokteran dan Ilmu Kesehatan, Laboran Laboratorium Kimia Riset Fakultas Sains dan Teknologi UIN Alauddin Makassar serta Laboran dan Tekhnisi Laboratorium Mikrostruktur, Jurusan pendidikan Fisika Universitas Negeri Makassar yang telah memberikan bimbingan dan bantuan dalam pengerjaan penelitian.
10. Seluruh rekan-rekan mahasiswa Jurusan Farmasi Angkatan 2013. yang senantiasa ikut membantu dan memotivasi penulis serta membagi ilmunya dalam menyelesaikan skripsi ini.
11. Semua pihak yang tidak dapat penulis sebutkan satu persatu yang telah banyak memberikan sumbangsih kepada penulis selama kuliah hingga penulisan skripsi ini.

Akhirnya, harapan penulis semoga tulisan ini bermanfaat bagi pengajaran farmasi dan semoga bantuan yang telah diberikan bernilai ibadah di sisi Allah SWT, dan mendapat pahala yang setimpal.Amin.

Penulis,

NURJANNAH
NIM: 70100113088

DAFTAR ISI

HALAMAN JUDUL.....	i
PERNYATAAN KEASLIAN SKRIPSI.....	ii
PERSETUJUAN PEMBIMBING.....	iii
PENGESAHAN	iv
KATA PENGANTAR	v
DAFTAR ISI.....	vii
DAFTAR TABEL	ix
DAFTAR GAMBAR	x
DAFTAR LAMPIRAN.....	xi
ABSTRAK	xii
ABSTRACT.....	xiii
BAB I PENDAHULUAN.....	1-6
A. Latar Belakang	1
B. Rumusan Masalah	3
C. Defenisi Operasional dan Ruang Lingkup Penelitian	3
D. Kajian Pustaka.....	4
E. Tujuan Penelitian	6
F. Manfaat penelitian.....	6
BAB II KAJIAN PUSTAKA.....	
A. Piroksikam	7
B. Asam Malat	8
C. Kelarutan	9
D. Kokristal.....	13
E. Koformer	17

	F. Disolusi	19
	G. Metode Pembentukan Kokristal.....	22
	H. Karakterisasi.....	24
	I. Tinjauan Islam.....	29
BAB II	METODE PENELITIAN	
	A. Jenis dan Lokasi Penelitian	33
	B. Pendekatan Penelitian	33
	C. Instrumen Penelitian.....	33
	D. Cara Kerja	34
	E. Validasi dan Relibialitas Instrumen	37
	F. Tekhnik Pengolahan dan Analisis Data	37
BAB IV	HASIL DAN PEMBAHASAN	
	A. Hasil Penelitian	38
	B. Pembahasan.....	50
BAB V	PENUTUP	
	A. Kesimpulan.....	60
	B. Implikasi Penelitian.....	60
	DAFTAR PUSTAKA	61
	LAMPIRAN	66

DAFTAR TABEL

Tabel	Halaman
1. Istilah Perkiraan Kelarutan.....	9
2. Gugus Hidrofilik dan lipofilik	11
3. Interaksi Intermolekuler dalam Pembentukan Kimia Supramolekuler dengan berbagai jenis ikatan	15
4. Perbandingan Jumlah piroksikam dan Asam Malat.....	34
5. Perbandingan Mol Piroksikam : Asam Malat	38
6. Absorbansi deret konsentrasi	38
7. Hasil Disolusi Piroksikam baku.....	39
8. Hasil Disolusi Kokristal 1:1.....	39
9. Hasil Disolusi Kokristal 1:2.....	40
10. Hasil Disolusi Kokristal 2:1.....	41
11. Kadar Piroksikam terdisolusi.....	41
12. Pengamatan Makroskopik.....	42

DAFTAR GAMBAR

Gambar	Halaman
1. Rumus Struktur Piroksikam	7
2. Rumus Struktur asam Malat.....	8
3. Ikatan Hidrogen dalam Pembentukan Supramolekuler kokristal	16
4. Kurva Baku Piroksikam.....	38
5. Kurva Disolusi Piroksikam, Kokristal 1:1, 1:2 dan 2:1	42
6. Hasil Pemeriksaan SEM	43
7. Termogram Piroksikam Standar	44
8. Termogram AsamMalat.....	44
9. Termogram Kokristal 1:2.....	45
10. Difraktogram Piroksikam Standar	45
11. Difraktogram Asam Malat	46
12. Difraktogram Kokristal 1:2.....	46
13. Penumpukan Difraktogram Piroksikam standar dan Kokristal 1:2	47
14. Spektrum Serapan <i>Fourier Transform Infrared</i>	48
15. <i>Overlay</i> Spektrum <i>FT-IR</i> Piroksikam, Asam malat dan Kokristal 1:2	49

DAFTAR LAMPIRAN

Lampiran	Halaman
1. Skema pembuatan Kokristal	66
2. Skema Uji Disolusi	67
3. Karakterisasi Piroksikam Standar dan Kokristal	70
4. Pengamatan Organoleptik.....	71
5. Pengukuran Panjang Gelombang Maksimum Piroksikam	72
6. Data Absorbansi Larutan Baku.....	73
7. Kurva Baku Piroksikam.....	74
8. Data Uji Disolusi	75
9. Kurva Disolui.....	79
10. Daftar Peak Difraktogram Piroksikam Standar	82
11. Daftar Peak Difraktogram Asam Malat	84
12. Daftar Peak Difraktogram Kokristal 1:2.....	86
13. Pemeriksaan Bentuk Kisi Kristal.....	88
14. Tabel Persamaan Bravais.....	89
15. Perhitungan Larutan Baku	90
16. Perhitungan perbandingan equimolar Piroksikam-Asam Malat....	92
17. Perhitungan Bobot penimbangan sampel Uji Disolusi.....	93
18. Perhitungan konsentrasi terlarut pada uji disolusi	94
19. Perhitungan Faktor Koreksi.....	97
20. Perhitungan Jumlah Kumulatif Zat Terlarut.....	100
21. Perhitungan Persentase Terlarut	102
22. Sertifikat Analisis Piroksikam	104
23. Sertifikat Analisis Asam Malat.....	105

ABSTRAK

Nama : Nurjannah

NIM : 70100113088

Judul : Karakterisasi dan Penentuan Laju Disolusi Kokristal Piroksikam Asam Malat

Beberapa metode dapat dilakukan untuk meningkatkan kelarutan dari bahan aktif farmasetik yang memiliki permasalahan kelarutan. Tujuan dari penelitian ini adalah untuk mengetahui terjadinya peningkatan kelarutan dari Piroksikam dengan metode kokristalisasi. Pendekatan kokristalisasi dilakukan dengan menggunakan Asam Malat sebagai koformer. Pembentukan kokristal piroksikam-asam malat dilakukan menggunakan metode solvent drop grinding dengan metanol p.a sebagai pelarut. Kokristal dibuat dengan perbandingan equimolar 1:1, 1:2, 2:1 dan piroksikam standar sebagai pembanding. Pengujian disolusi terhadap masing-masing kokristal dan piroksikam standar dilakukan dengan menggunakan *apparatus* disolusi tipe I (metode keranjang) dalam media cairan lambung buatan pH 1,2. Karakteristik fisik kemudian dianalisis dengan menggunakan X-Ray Difraktometri, Bentuk Ukuran Partikel dianalisis dengan menggunakan SEM, Analisis termal dilakukan menggunakan DSC dan Analisis ikatan kimia dengan menggunakan FTIR. Hasil penelitian menunjukkan terjadinya peningkatan disolusi pada semua kokristal, kokristal 1:2 menunjukkan peningkatan laju disolusi paling tinggi mencapai 1,405 kali lebih besar dibandingkan piroksikam standar. Karakterisasi menunjukkan terbentuknya fase kristalin baru pada pengamatan SEM, selain itu terjadinya pergeseran titik leleh menjadi lebih rendah mengonfirmasi terjadinya peningkatan kelarutan akibat terbentuknya fase kokristal. Data difraksi sinar-X menunjukkan terjadinya pergeseran peak dan munculnya peak baru yang mengindikasikan terbentuknya kisi kristal pada permukaan. Hal ini juga dikonfirmasi dengan pemeriksaan gugus fungsi menggunakan FTIR yang menunjukkan terbentuknya ikatan Hidrogen supramolekuler dengan terjadinya pergeseran puncak spektrum.

Kata kunci : Kokristal, Disolusi, Piroksikam, Asam Malat

ABSTRACT

Name : Nurjannah
No. Registration : 70100113088
Title : Characterization and Determination of Dissolution Rate
Piroxicam-Malic Acid Co-Crystals

Several method can be approach to increase the solubility of active pharmaceutical ingredients which has poor water soluble. The aim of this research to find out the increase in solubility of Piroxicam by co-crystalization method. Co-crystalization approach was preparation with malic acid as Co-crystal former (coformer). Preparation of Co-crystals piroxicam-malic acid was prepared by solvent drop grinding method with metanol p.a as solvents. Cocrystal prepared with equimolar ratio 1:1, 1:2, 2:1 and Piroxicam standard as comparison. Dissolution test te each co-crystals and Piroxicam standard was performed with dissolution apparatus type I (basket method) in artificial medium-gastric fluid acid pH 1,2. Physical characteristic than analyze with X-Ray Diffractometry, particle size analyzed use Scanning Electron Microscope (SEM), thermal analyzer using Differential Scanning Calorimetry (DSC) and chemical interaction analyzed by Fourier Transform Infrared (FTIR) method. The result of this research show the increase dissolution of all co-crystal, Co-crystal 1:2 has highest dissolution enhance until 1,405 more than piroxicam standard. Characterization show the formation of new crystalin phase with SEM analyzer, furthermore the shift of melting point be lower confirm the increase of dissolution as a result of formation co-crystals phase. X-Ray diffraction list show the peak shift and the new peak which indicates the formation of crystals lattice on the morphology surface. This also confirmed by functional groups test using FTIR which show the formation of supramolecular hydrogen synthon with the spektrum peak shift.

Key Words : Co-crystals, Dissolution, Piroxicam, Malic acid.

BAB I

PENDAHULUAN

A. Latar Belakang

Permasalahan utama dalam bidang farmasi adalah stabilitas, kelarutan, bioavailabilitas, dan sifat mekanik API (*Active Pharmaceutical Ingredients*) (Dhumal, 2010). Kelarutan merupakan salah satu sifat fisika kimia senyawa obat yang penting dalam meramalkan derajat absorpsi obat. Obat yang mempunyai kelarutan kecil didalam air (*poorly soluble drugs*) seringkali menunjukkan ketersediaan hayati rendah dan kecepatan disolusi merupakan tahap penentu (*rate limiting step*) pada proses absorpsi obat (Leuner, 2000).

Laju pelarutan obat adalah tahapan yang membatasi atau tahap yang mengontrol laju absorpsi obat-obat yang mempunyai kelarutan rendah, karena seringkali merupakan tahapan yang paling lambat dari berbagai tahapan yang ada dalam pelepasan obat dari bentuk sediaannya dan perjalanannya ke dalam sirkulasi sistemik (Martin, 1990).

Piroksikam merupakan satu dari sekian banyak obat antiinflamasi non-steroid yang berpotensi dalam pengobatan muskuloskeletal, dan cedera tulang dan sendi termasuk spondilitis ankylosing, osteoarthritis, dan rheumatoid arthritis Piroksikam merupakan bahan aktif farmasetik yang berdasarkan klasifikasi BCS (*Biofarmaceutical Classification System*) merupakan kelas II, yang memiliki kelarutan buruk dan permeabilitas baik. Karena kelarutannya buruk, ketersediannya dalam tubuh untuk diabsorpsi pun akan rendah dan onset kerjanya akan lebih lambat (Jalali, Barzegar, 2014).

Untuk meningkatkan mula kerjanya, maka perlu dilakukan upaya peningkatan kelarutan dari bahan obat. Kelarutan dan absorpsi obat dapat ditingkatkan dengan berbagai metode yang telah banyak dilaporkan, seperti pembuatan dispersi padat,

pembuatan prodrug, kompleks inklusi obat dengan pembawa dan modifikasi senyawa menjadi bentuk garam dan solvat, serta pembentukan kokristal (Zaini, 2011).

Salah satu metode yang umum digunakan untuk meningkatkan kelarutan obat adalah dengan menggunakan metode kokristalisasi. Kokristalisasi merupakan modifikasi kristal bahan obat dengan penambahan koformer. Kristal diprioritaskan dalam industri farmasi karena memiliki stabilitas yang lebih tinggi, reproduktivitas perbandingannya dengan amorf dan dispersi padatan lainnya seperti bentuk kristalisasi, pendinginan cairan, dan berbagai jenis bentuk kristal yang memiliki laju disolusi dan variabel kelarutan intrinsik sangat berpengaruh pada bioavailabilitas (Pritam K, Desale et.al., 2013).

Salah satu koformer yang biasa digunakan adalah asam malat. Asam malat memiliki kelarutan yang tinggi dalam air. Asam malat memiliki gugus dikarboksilat (-COOH) dengan satu gugus alkohol (-OH) yang terikat padanya sehingga memungkinkan asam malat berikatan hidrogen dengan piroksikam membentuk kokristal. Asam malat digunakan secara luas sebagai bahan tambahan dalam sediaan farmasi dan dalam makanan. Asam malat tidak toksik dan tidak mengiritasi (Rowe, 2009).

Kokristal terbentuk dari campuran antara bahan aktif farmasetik dengan koformer yang tetap berbentuk padat dalam suhu kamar. Untuk membentuk kokristal, menurut (Chandramouli. 2012) selisih dari nilai pKa antara kedua komponen tidak lebih dari 2,7. Piroksikam memiliki nilai pKa 6,3 dan asam malat 5,05 (selisih 1,25), sehingga dapat diprediksikan bahwa dengan mereaksikan antara piroksikam dan asam malat, akan membentuk kokristal, bukan garam.

Oleh karena piroksikam merupakan obat golongan NSAID yang memiliki kelarutan buruk namun diperlukan onset kerja yang cepat, maka senyawa aktif

piroksikam perlu ditingkatkan kelarutannya dengan membentuk kokristal piroksikam dengan asam malat sebagai koformer.

B. Rumusan Masalah

Berdasarkan uraian diatas, maka permasalahan yang timbul yaitu:

1. Bagaimana pembentukan kokristal dari piroksikam dan asam malat?
2. Bagaimana pengaruh pembentukan kokristal piroksikam-asam malat, melalui metode *solvent drop grinding* terhadap laju disolusi piroksikam?
3. Bagaimana karakteristik kokristal berdasarkan metode karakterisasi dari kokristal piroksikam-asam malat?

C. Defenisi Operasional dan Ruang Lingkup Penelitian

1. Defenisi Operasional
 - a. Kokristal adalah multi komponen Kristal dari piroksikam dengan asam malat sebagai koformer menggunakan metode *solvent drop grinding*, yang terbentuk berdasarkan interaksi ikatan hidrogen secara *heterosynthon* antara gugus amida dan gugus karboksilat yang memadat.
 - b. Karakterisasi kokristal dilakukan dengan menggunakan SEM (*Scanning Electron Microscopy*), spektroskopi FTIR (*Fourier Transform Infrared*), PXRD (*Powder X-Ray Diffractometry*), dan DSC (*Differential Scanning Calorimetry*).
 - c. Uji disolusi adalah penentuan laju pelarutan dari kokristal piroksikam-asam malat dengan menggunakan metode keranjang (*basket*) pada media cairan lambung.

2. Ruang Lingkup Penelitian

Ruang lingkup penelitian ini adalah terbatas pada pembentukan kokristal dalam upaya peningkatan laju pelarutan *Active Pharmaceutical Ingredient* dan karakterisasi kokristal piroksikam-asam malat. Pembatasan ini dilakukan agar penelitian lebih fokus sebagai dasar pengembangan penelitian kokristal.

D. Kajian Pustaka

1. Horstman, Elizabeth. M. et.al, 2016, *Crystal structure of a 2:1 piroxicam-genisteic acid co-crystal featuring neutral and zwitterionic piroxicam molecules*. Piroksikam merupakan salah satu obat antiinflamasi non-steroid yang diklasifikasikan sebagai BCS (*Biopharmaceutical Classification System*) kelas II yang memiliki kelarutan rendah. Metode kokristal bahan aktif farmasetik dengan persetujuan analisis dari FDA merupakan tehnik yang biasa digunakan untuk meningkatkan kelarutan bahan aktif farmasetik. Dalam penelitian dilakukan pembentukan kokristal piroksikam dan asam genistein, kemudian tiga kokristal piroksikam dan asam genistein yang terbentuk diidentifikasi dengan spektrofotometri Raman dan hasilnya dilaporkan tidak ada struktur kokristal yang teramati (Childs & Hardcastle, 2007). Selanjutnya dilakukan penelitian lanjutan dan hasilnya menunjukkan dua struktur kokristal piroksikam-asam genistein yang terbentuk, satu yaitu perbandingan 1:1 dan yang kedua adalah kokristal solvat yang telah dilarutkan dengan acetone dalam kristal dengan perbandingan molaritas 1 : 1 : 1. Sehingga disimpulkan bahwa struktur kristal dari piroksikam-asam genistein 2 : 1 merupakan kokristal.

2. Jalali, Barzegar Mohammad. et.al, 2014, *Development and characterization of solid dispersion of piroxicam for improvement of dissolution rate using hydrophilic carrier*. Tujuan utama dari penelitian ini adalah untuk penyiapan dan karakterisasi dispersi padat piroksikam untuk meningkatkan laju disolusinya. Formulasi dispersi padat dilakukan dengan menggunakan pembawa yang berbeda, termasuk crosspovidone, microcrystalline cellulose, serbuk buah *Eleagnus aungustifolia*, serta berbagai perbandingan obat dan pembawa, preparasi dilakukan dengan metode *co-grinding*. Uji disolusi serbuk piroksikam, campuran fisik, dan dispersi padat dilakukan dengan simulasi dengan cairan lambung tiruan, dan cairan usus buatan

preparat USP tipe II. Karakteristik fisik dari formulasi dianalisis dengan menggunakan *Powder X-Ray Diffraction* (PXRD), Analisis ukuran partikel, *Differential Scanning Calorimetry* (DSC). Interaksi antara obat dan pembawa dianalisis dievaluasi dengan menggunakan metode spektrofotometri *Fourier transform infrared* (FT-IR). Hasil penelitian menunjukkan bahwa ketiga pembawa yang digunakan dapat meningkatkan disolusi piroksikam. laju disolusi dipengaruhi oleh jenis dan perbandingan obat dan pembawa, serta pH medium disolusi.

3. Chandramouli, Yerram. et.al. 2012. *Review on Cocrystal as An Approach With Newer Implications In Pharmaceutical Field*. Kokristal secara farmasetik merupakan suatu kristal tunggal yang mengandung dua molekul netral, salah satunya merupakan bahan aktif, dan yang lainnya merupakan koformer. Koformer atau pembentuk kristal dapat berupa bahan tambahan atau bahan obat lainnya.

4. Ghadi, Rohan et.al, 2014, *Co-Crystals: Emerging Approach in Pharmaceutical design*. Bentuk kristal menjadi sangat penting dalam penentuan bentuk dan dosis obat, terutama untuk komponen yang memiliki hambatan dalam penghantaran obat, seperti kelarutan yang buruk, disolusi dalam media gastrointestinal yang lambat, permeabilitas yang rendah, dan *first-pass* metabolisme. Bentuk, sifat fisik, serta tujuan formulasi menunjukkan pengaruh yang besar terhadap parameter bioavailabilitas dari komponen yang tidak larut dalam air sehingga dibutuhkan pemberian dosis oral yang tinggi. Suatu pendekatan mungkin dilakukan untuk meningkatkan kelarutan obat, disolusi, dan bioavailabilitas melalui pembentukan kristal atau kokristalisasi.

E. Tujuan Penelitian

Tujuan dari penelitian ini adalah:

1. untuk mengetahui pembentukan kokristal dari piroksikam dan asam malat.

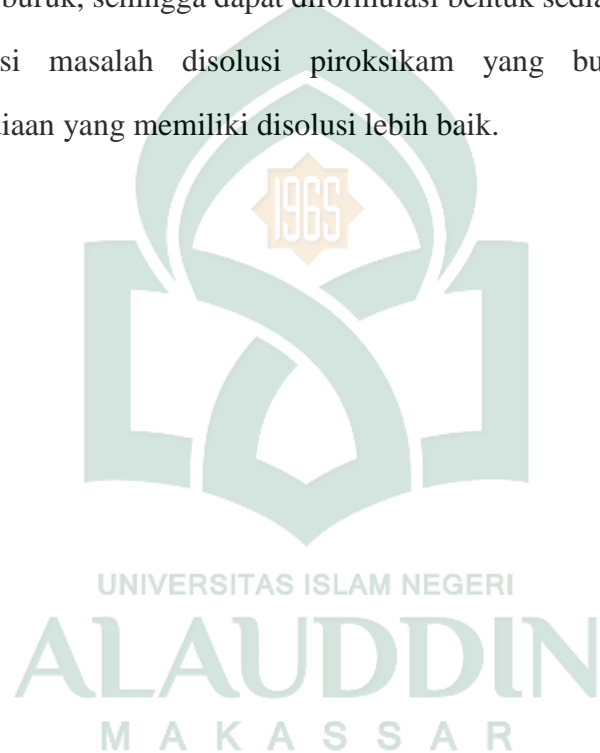
2. Untuk mengetahui karakteristik kokristal berdasarkan metode karakterisasi dari kokristal piroksikam-asam malat.

3. Untuk mengetahui pengaruh pembentukan kokristal piroksikam-asam malat melalui metode *solvent drop grinding* terhadap laju disolusi piroksikam.

F. Manfaat Penelitian

1. Mengembangkan metode perbaikan kelarutan obat yang memiliki kelarutan dalam air yang buruk, sehingga dapat diformulasi bentuk sediaan yang lebih baik.

2. Mengatasi masalah disolusi piroksikam yang buruk, sehingga dapat diformulasi sediaan yang memiliki disolusi lebih baik.

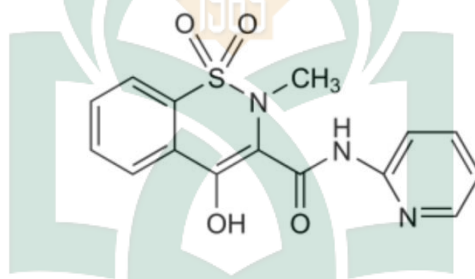


BAB II

TINJAUAN PUSTAKA

A. Piroksikam

Piroksikam memiliki nama kimia *4-Hydroxy-2-methyl-N-2-pyridinyl-2H-1,2-benzothiazine-3-carboxamide 1,1-dioxide*, Piroxicam, Artroxicam; Baxo; Bruxicam; Caliment; Erazon; Flogobene; Geldene; Improntal; Larapam; Pirkam; Piroflex; Reudene; Riacen; Roxicam; Roxiden; Sasulen; Solocalm; Zunden; CHF 1251; NSC 666076; Piroftal. Piroksikam memiliki rumus kimia $C_{15}H_{13}N_3O_4S$ dan bobot molekul 331.3 (Clarke's. 2005; Sweetman, 2009).



Gambar 1 : Rumus struktur piroksikam (Sweetman, 2009).

Piroksikam berbentuk serbuk kristal putih atau putih kekuningan. Menunjukkan struktur polimorfisme. Praktis tidak larut dalam air, sedikit larut dalam alkohol terdehidrasi, larut dalam diklorometana. Piroksikam merupakan asam lemah dengan nilai pKa 6,3. Senyawa ini akan berada dalam bentuk molekul tak terion bila dilarutkan dalam pH asam (Sweetman, 2009).

Piroksikam merupakan salah satu obat antiinflamasi non-steroid yang diklasifikasikan sebagai BCS (*Biopharmaceutical Classification System*) kelas II yang memiliki kelarutan rendah. Metode kokristalisasi bahan aktif farmasetik dengan persetujuan analisis dari FDA merupakan teknik yang biasa digunakan untuk meningkatkan kelarutan bahan aktif farmasetik (Horstman, Elizabeth. M. et.al, 2016).

Piroksikam merupakan satu dari sekian banyak obat antiinflamasi non-steroid yang berpotensi dalam pengobatan muskuloskeletal, dan cedera tulang dan sendi termasuk *spondylitis ankylosing*, *osteoarthritis*, dan *rheumatoid arthritis*. Berdasarkan pada *Biofarmaceutical Classification System*, Piroksikam termasuk dalam kelas II, yang memiliki karakterisasi kelarutan yang rendah atau buruk (Jalali, Barzegar Mohammad, 2014).

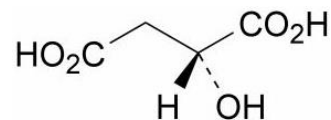
B. Asam Malat

Asam malat atau dengan nama kimia *hydroxybutanedioic acid* memiliki rumus molekul $C_4H_6O_5$ dan berat molekul 134,09 memiliki titik leleh 131-132°C, pH = 2,35 (dalam larutan 1 %), dan pKa (konstanta disosiasi) = 3,40; 5,05 (Rowe dkk, 2009).

Tiga kristal itrakonazol (asam suksinat, L-malic acid, dan L-tartaric acid) dibandingkan dengan kristal itraconazol (partikel kurang dari 10 μ m) dan semua kokristal memiliki kelarutan yang lebih tinggi daripada kristal itrakonazol (Schulteiss, 2009).

L-asam malat diklasifikasikan oleh *Food and Drug Administration* (FDA) termasuk bahan yang *generally recognized as safe* (GRAS) dan memiliki kelarutan 36 g per 100 g air pada suhu 20°C. Secara alami terdapat pada buah-buahan dan sayur-sayuran dan terutama digunakan sebagai pemanis pada minuman, permen karet kunyah, permen keras, dan gelatin (Ober dkk, 2013).

Asam malat adalah asam dikarboksilat C_4 dan terutama digunakan sebagai perisa asam pada makanan dan minuman (Knuf, 2014).



Gambar 2: Asam Malat (Knuf, 2014).

Asam malat berwarna putih atau mendekati putih, serbuk kristal atau granul yang mempunyai bau yang lemah dan rasa asam yang kuat, higroskopik. Mudah larut dalam etanol (95%) dan air tetapi praktis tidak larut dalam benzena (Rowe, 2009).

C. Kelarutan

Kelarutan merupakan salah satu sifat fisikokimia senyawa obat yang penting dalam meramalkan derajat absorpsi obat dalam saluran cerna. Obat-obat yang mempunyai kelarutan kecil dalam air (*poorly soluble drugs*) seringkali menunjukkan bioavailabilitas yang rendah dan kecepatan disolusi bertindak sebagai tahap penentu (*rate limiting step*) pada proses absorpsi obat (Gozali doli, 2012).

Kelarutan didefinisikan sebagai kesetimbangan termodinamik bahan terlarut antara dua fase. Tingkat kelarutan dan disolusi adalah faktor kunci dalam menentukan efektifitas dan aktivitas obat yang baik (Thakuria dkk, 2013).

Kelarutan dapat pula didefenisikan dengan jumlah 1 bagian bobot zat padat atau 1 bagian volume zat cair larut dalam bagian volume tertentu pelarut, dimana akan larut 1 gram zat padat atau 1 ml zat cair dalam sejumlah pelarut. Jika kelarutan suatu zat tidak diketahui dengan pasti, kelarutannya dapat ditunjukkan dengan istilah berikut (Dirjen POM, 2014):

Tabel 1 : Istilah perkiraan kelarutan (Dirjen POM, 2014).

Istilah Kelarutan	Jumlah bagian pelarut yang diperlukan untuk melarutkan 1 bagian zat
Sangat mudah larut	Kurang dari 1 bagian
Mudah larut	1 sampai 10 bagian
Larut	10 sampai 30 bagian
Agak sukar larut	30 sampai 100 bagian
Sukar larut	100 sampai 1000 bagian
Sangat sukar larut	1000 sampai 10000 bagian
Praktis tidak larut	Lebih dari 10000 bagian

Kelarutan merupakan hal yang sangat penting dalam penemuan obat. Bahan yang tidak larut dapat menjadi suatu masalah baru, dan menyebabkan hal berikut (Kerns H Li, 2008):

- a. Absorpsi dan bioavailabilitas yang kurang setelah pemberian oral
- b. Daya larut yang rendah dibandingkan dosis IV
- c. Aktivitas yang rendah
- d. Formulasi yang mahal
- e. Beban terhadap pasien, karena dosis harus ditinggikan secara berulang

Sifat kelarutan pada umumnya berhubungan dengan kelarutan senyawa dalam media yang berbeda dan bervariasi diantara dua hal yang ekstrem, yaitu pelarut polar seperti air, dan pelarut nonpolar seperti lemak. Sifat kelarutan pada umumnya berhubungan dengan aktivitas biologi dari senyawa, dan juga berhubungan erat dengan proses absorpsi obat. Hal ini penting karena intensitas aktivitas biologis obat tergantung pada derajat absorpsinya (Purwanto, Siswandono, 1998).

Kelarutan zat didalam pelarut dipengaruhi oleh beberapa hal, yaitu (Martin.1990):

- a. Pelarut

Bila suatu zat melarut, kekuatan tarik-menarik antar molekul dari zat terlarut harus diatasi oleh kekuatan tarik-menarik antara zat terlarut dengan pelarut. Hal ini menyebabkan pemecahan kekuatan ikatan antara zat terlarut dan pelarut. Dalam hal interaksi antara pelarut dan zat terlarut, kelarutan disebabkan adanya gaya antar-molekul. Ahli farmasi mengatakan bahwa air adalah pelarut yang baik untuk garam, gula, dan senyawa sejenis, sedangkan minyak mineral dan benzena biasanya merupakan pelarut untuk zat yang hanya sedikit larut dalam air. Penemuan empiris ini disimpulkan dalam pernyataan: *like dissolves like*.

b. Interaksi solut dan solvent

Pada kondisi tertentu, zat mempunyai kelarutan tertentu pula. Kemampuan berinteraksi antara solute dan solvent sangat bergantung pada struktur molekulnya seperti perbandingan gugus polar, dan gugus nonpolar dari molekul. Semakin panjang rantai nonpolar dari alkohol alifatis, semakin kecil kelarutannya dalam air.

Kelarutan zat terlarut dalam pelarut juga dipengaruhi oleh polaritas atau momen dipol pelarut. Pelarut-pelarut polar dapat melarutkan senyawa-senyawa ionik serta senyawa-senyawa polar lainnya. Gugus-gugus yang dapat meningkatkan kelarutan molekul dalam air disebut gugus hidrofilik (lipofobik atau polar), sedang gugus yang dapat meningkatkan kelarutan molekul dalam lemak disebut gugus lipofilik (hidrofobik atau nonpolar) (Siswandono, 1998).

Tabel 2: Gugus hidrofilik dan lipofilik (Siswandono, 1998).

Sifat		Gugus
Hidrofilik (makin ke kanan makin lemah)	Kuat	-OSO ₂ ONa, -COONa, -SONa, -OSO ₂ H, SO ₂ H
	Sedang	-OH, -SH, -O, -C-O, -CHO, -NO ₂ , -NH ₂ , -NHR, -NR ₂ , -CN, -CNS, -COOH, -COOR, -OPO ₃ H ₂ , -OS ₂ O ₂ H
Lipofilik		Hidrokarbon alifatik dan polisiklik, alkil, dan aril.

c. Pengaruh pH

Bentuk terion suatu zat lebih mudah larut dalam pelarut air dari pada bentuk tak terion. Kelarutan asam dan basa lemah akan turun dengan naiknya pH sedangkan asam lemah akan meningkat kelarutannya dengan naiknya pH.

d. Suhu

Kelarutan dalam air biasanya menurun jika suhu larutan dinaikkan. Gelembung-gelembung kecil yang dibentuk bila air dipanaskan adalah kenyataan bahwa udara yang terlarut menjadi kurang larut pada suhu-suhu yang lebih kecil. Hal

yang serupa, tidak ada aturan yang umum untuk perubahan suhu terhadap kelarutan cairan-cairan dan padatan-padatan.

e. Laju disolusi

Laju pelarutan dari obat padat merupakan tahapan yang membatasi atau tahap yang mengontrol laju absorpsi obat-obat yang mempunyai kelarutan rendah, karena tahapan ini seringkali merupakan tahapan yang paling lambat dari berbagai tahapan yang ada dalam pelepasan obat dari bentuk sediaannya dan perjalanannya ke dalam sirkulasi sistemik.

D. Kokristal

1. Defenisi kokristal

Bahan aktif farmasi, API (*Active Pharmaceutical Ingredient*) berasal dari berbagai bentuk padat yang berbeda, termasuk polimorf, solvat, hidrat, garam, kokristal dan padatan amorf. Setiap bentuk menampilkan sifat fisikokimia unik yang sangat dapat mempengaruhi bioavailabilitas, kemurnian manufakturabilitas, stabilitas, dan karakter kerja dari obat tersebut (Byrn SR, Pfeiffer RR, Stowel JG, 1999).

Disolusi (pelarutan) adalah proses dimana suatu zat padat menjadi terlarut dalam suatu pelarut atau medium. Laju disolusi merupakan tahapan yang menentukan laju absorpsi, maka apapun faktor yang mempengaruhi laju disolusi dapat pula mempengaruhi laju absorpsi. Akibatnya laju disolusi dapat mempengaruhi onset, intensitas, lama respon, serta merupakan kontrol bioavailabilitas obat (Ansel, 1985).

Uji disolusi digunakan untuk menentukan kesesuaian antara persyaratan disolusi yang tertera dalam masing-masing monografi untuk sediaan tablet dan kapsul, kecuali pada etiket dinyatakan bahwa tablet harus dikunyah. Persyaratan disolusi tidak berlaku untuk kapsul gelatin lunak kecuali bila dinyatakan dalam masing-masing monografi, uji disolusi atau uji waktu hancur tidak secara khusus

dinyatakan untuk sediaan bersalut enterik, maka digunakan cara pengujian untuk sediaan lepas lambat, kecuali dinyatakan lain pada masing-masing monografi (Ditjen POM, 1995).

Kokristal adalah material kristal yang mengandung dua atau lebih molekul yang berbeda, jenis obat tertentu dan pembentuk kokristal (koformer) pada pola kristal yang sama. Kokristal farmasetik telah dikembangkan untuk tujuan teknis terhadap bahan padat diluar bentuk padat biasanya dari bahan aktif farmasetik seperti garam, dan polimorfisme. Kokristal dapat dikhususkan untuk meningkatkan bioavailabilitas dan stabilitas produk obat, dan untuk meningkatkan kemampuan bahan aktif farmasetik selama proses manufaktur produk obat. Manfaat lain dari kokristal adalah menghasilkan susunan yang berbeda-beda dari bentuk padat terhadap bahan aktif farmasetik yang kekurangan gugus fungsi ionisasi yang merupakan prasyarat dari senyawa garam (Schultheiss, N and A Newman, 2009).

Kokristal dapat dengan mudah dibedakan dengan garam karena tidak sama dengan garam, komponennya berada dalam keadaan netral dan berinteraksi secara nonionik. Selain itu, kokristal berbeda dari polimorf yang digambarkan termasuk sebagai bentuk komponen kristal tunggal yang memiliki susunan atau konformasi molekul pada bentuk kristal, bentuk amorf, dan fase multikomponen termasuk bentuk solvat dan hidrat. Sebaliknya kokristal lebih serupa dengan solvate, terkandung lebih dari satu komponen yang bertumpuk. Dari perspektif fisika-kimia, kokristal dapat dilihat sebagai kondisi khusus dari solvate dan hidrat, dimana pada komponen kedua, koformernya harus bersifat *nonvolatile* (tidak mudah menguap). Oleh karena itu, kokristal merupakan keadaan khusus dari solvate, dimana kedua komponennya harus bersifat *nonvolatile* (Schultheiss, N and A Newman, 2009).

Kokristal dapat didefinisikan sebagai kompleks kristal dari dua atau lebih konstituen molekul yang terikat bersama-sama dalam kisi kristal melalui interaksi *nonkovalen* terutama ikatan hidrogen. Pembentukan kokristal melibatkan penggabungan zat aktif obat dengan molekul lain yang dapat diterima secara farmasi dalam sebuah kisi kristal. Agen kokristalisasi dalam upaya peningkatan laju kelarutan harus memiliki sifat sebagai berikut; tidak toksik, dan inert secara farmakologi, dapat mudah larut dalam air, mampu berikatan secara *nonkovalen* contohnya ikatan hidrogen dengan obat, mampu meningkatkan kelarutan obat dalam air, kompatibel secara kimia dengan obat dan tidak membentuk ikatan kompleks dengan obat. Begitu pula dengan bahan aktif obat yang digunakan dalam kokristalisasi agar dapat membentuk suatu kokristal harus memiliki gugusan yang mampu berikatan secara *nonkovalen* dengan koformer. Fase multikristal yang dihasilkan akan mempertahankan aktivitas intrinsik zat aktif obat namun disisi lain memiliki profit properti yang berbeda secara fisikokimia (Mirza, Miroshnyk, 2008).

Kokristalisasi memiliki keuntungan dalam memperbaiki beberapa profil yang dimiliki oleh suatu zat seperti kelarutan, bioavailabilitas dan stabilitas fisik. Ikatan hidrogen yang merupakan interaksi *nonkovalen* adalah suatu kunci dalam pembentukan kokristal (Sekhon BS, 2009).

Kokristal dapat didefinisikan sebagai kompleks kristal yang terdiri dari dua atau lebih konstituen molekul yang terikat bersama-sama dalam kisi kristal melalui interaksi *nonkovalen* terutama ikatan hidrogen (Trask, Motherwell dan Jones, 2006).

Kokristal didefinisikan sebagai kompleks kristal dari dua atau lebih molekul netral yang terikat bersama dalam fase kristal dengan interaksi *nonkovalen*. Kokristalisasi adalah hasil kompetisi molekuler antara molekul atau homomers yang sama dan molekul atau heteromomers yang berbeda (Ghadi Rohan, et.al, 2014).

Komponen dalam kokristal harus memiliki perbandingan stoikiometri yang jelas, dan bergabung dengan interaksi *nonkovalen* seperti ikatan hidrogen, ikatan ion, dan ikatan π - π atau ikatan *van der Waals* daripada interaksi ion. Umumnya kokristal dalam keadaan murninya adalah padat pada suhu ruang dan sesuai ketentuan, normalnya tidak termasuk garam. Kokristal dapat memiliki perbedaan dari kristal yang memiliki komponen tunggal. Lebih lanjut, kokristal memiliki struktur kristal yang berbeda dari komponen murninya (Ghadi Rohan, et.al, 2014).

2. Supramolekuler

Kimia supramolekuler atau kimia dalam ikatan intermolekuler telah didefinisikan oleh Jean Marie lehn sebagai “*chemistry beyond the molecule*” atau kimia diluar molekul. Oleh sebab itu, kimia supramolekuler tidak dapat dipisahkan dari sifat dasar molekul sejak diketahui pada tahap molekuler (Cheney, Miranda, 2009).

Dalam kristal, ikatan hidrogen antara bahan aktif farmasetik dan koformer dari unit *hexameric* yang menyebar sepanjang petunjuk *a-axis* (Horstman, Elizabeth, 2016).

Tabel 3: Interaksi intermolekuler dalam pembentukan kimia supra-molekuler dengan berbagai jenis ikatan (Cheney, 2009).

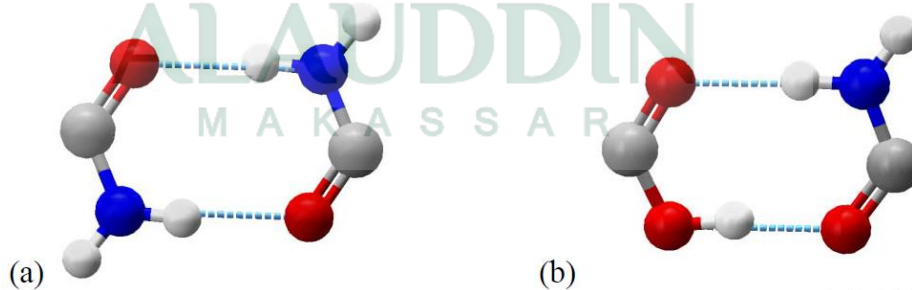
Interaction	Strength (kJ/mol)	Example
Covalent	150-450	O-O to C-C bond
Non Covalent	2-300	Dispersion to ion-ion
Hydrogen Bond	4-120	CH \cdots π to HF
Dipole-Dipole	5-50	Acetone
π - π Stacking	<50	Benzene
van der Waals	<5	Inert gas

E. Koformer

Kokristal didefinisikan sebagai kompleks kristal dari dua atau lebih konstituen molekul yang terikat bersama dalam kisi kristal molekul dengan ikatan *nonkovalen* terutama ikatan hidrogen. Pembentukan kokristal melibatkan pengembangan zat aktif obat dengan molekul lain yang dapat diterima secara manufaktur dalam sebuah kisi kristal. Agen kokristalisasi disebut juga koformer CCF (*Co-Crystal Former*) untuk kokristalisasi dalam upaya peningkatan kelerutan obat harus memiliki sifat sebagai berikut (Mirza, Miroshyak. 2008):

- Tidak toksik dan inert secara farmakologi
- Dapat mudah larut dalam air
- Mampu berikatan secara non-kovalen, contohnya ikatan hidrogen dengan obat
- Mampu meningkatkan kelarutan obat dalam air
- Kompatibel secara kimia dengan obat
- Tidak membentuk ikatan kompleks dengan obat

Ikatan hidrogen yang merupakan interaksi *nonkovalen* adalah suatu kunci dalam pembentukan kokristal (Sekhon BS, 2009).



Gambar 3: Ikatan hidrogen dalam pembentukan supramolekuler kokristal, (a) ikatan homosynthon supramolekuler (b) ikatan heterosynthon supramolekuler (Cheney, Miranda, 2009).

Dalam gambar (a) terlihat adanya gugus akseptor proton yang berasal dari asam karboksilat membentuk formasi *homosynthon*. gambar (b) terjadi suatu ikatan

hidrogen antara gugus amida yang membentuk formasi *heterosynthon* (Cheney, Miranda, 2009).

Ada beberapa cara atau alat untuk menemukan bentuk kokristal antara API dan koformer melalui pendekatan kelarutan (Frisic T, 2009), parameter kelarutan Hansen (Mohammad, 2013), pendekatan interaksi molekul *Synthon-based* (Shattock, 2008). Pendekatan *supramolekuler synthon-based* merupakan metode yang sangat sederhana untuk menentukan formasi kokristal. *Supramolekul synthon* didefinisikan sebagai unit struktural dalam supramolekuler yang dapat dibentuk atau dirakit dengan mengenali interaksi antar molekul yang terjadi. *Supramolekul synthon* diklasifikasikan menjadi dua jenis yaitu: (a) interaksi *supramolekul homosynthon* yaitu interaksi antara bahan yang sama dengan gugus fungsi yang sama, misalnya asam karboksilat dengan asam karboksilat atau antara amida dengan amida; (b) *supramolekuler heterosynthon* yaitu interaksi antara bahan yang berbeda namun secara fungsional memiliki gugus fungsi yang sama misalnya asam karboksilat dengan amida, atau antara asam karboksilat dan piridin (Vishweswar P, 2006).

Pemilihan koformer juga terbatas, hanya yang ditetapkan oleh FDA, mempunyai fleksibilitas yang terbatas, dan hanya yang mengandung karbon, hidrogen, oksigen atau nitrogen dalam gugus fungsionalnya (Alatas at.al, 2013).

F. Disolusi

Disolusi (pelarutan) adalah proses dimana suatu zat padat menjadi terlarut dalam suatu pelarut atau medium. Laju disolusi merupakan tahapan yang menentukan laju absorpsi, maka apapun faktor yang mempengaruhi laju disolusi dapat pula mempengaruhi laju absorpsi. Akibatnya laju disolusi dapat mempengaruhi onset, intensitas, lama respon, serta merupakan kontrol bioavailabilitas obat (Ansel, 1985).

Uji disolusi digunakan untuk menentukan kesesuaian antara persyaratan disolusi yang tertera dalam masing-masing monografi untuk sediaan tablet dan kapsul, kecuali pada etiket dinyatakan bahwa tablet harus dikunyah. Persyaratan disolusi tidak berlaku untuk kapsul gelatin lunak kecuali bila dinyatakan dalam masing-masing monografi, uji disolusi atau uji waktu hancur tidak secara khusus dinyatakan untuk sediaan bersalut enterik, maka digunakan cara pengujian untuk sediaan lepas lambat, kecuali dinyatakan lain pada masing-masing monografi (Dirjen POM, 1995).

Alat uji disolusi yang digunakan dalam percobaan adalah *dissolution tester* metode “pengaduk bentuk dayung”. Alat terbuat dari sebuah wadah tertutup yang terbuat dari kaca atau bahan transparan lain yang *inert*, suatu motor dan alat dayung yang terdiri dari daun dan batang sebagai pengaduk. Batang berada pada posisi sedemikian rupa sehingga sumbunya tidak lebih dari 2 mm pada setiap titik dari sumbu vertikal wadah dan berputar dengan halus tanpa goyangan yang berarti. Dayung melewati diameter batang sehingga dasar dayung dan batang rata. Dayung memenuhi spesifikasi dengan jarak 25 mm lebih kurang 2 mm antara dayung dan bagian dalam dasar wadah dipertahankan selama pengujian berlangsung. Dayung dan batang-batang logam yang merupakan satu kesatuan dapat disalut dengan suatu penyalut yang *inert*. Sediaan dibiarkan tenggelam didasar wadah sebelum dayung mulai diputar (Dirjen POM, 1995).

Wadah tercelup sebagian di dalam suatu tangas air yang sesuai berukuran sedemikian rupa sehingga dapat mempertahankan suhu dalam wadah pada 37 °C selama pengujian berlangsung dan menjaga agar gerakan air dalam tangas halus dan tepat. Pada bagian atas wadah ujungnya melebar, untuk mencegah penguapan dapat digunakan suatu penutup yang pas. Batang logam berada pada posisi sedemikian

sehingga sumpunya tidak lebih dari 2 mm dengan halus dan tanpa goyangan yang berarti. Suatu alat pengatur kecepatan digunakan sehingga memungkinkan untuk memilih kecepatan putar yang dikehendaki dan mempertahankan kecepatan seperti yang tertera dalam masing-masing monografi dalam batas lebih kurang sekitar 4% (Ditjen, POM, 1995).

Setelah terjadi pelepasan yang bersifat lokal, maka tahap kedua adalah pelarutan zat aktif yang terjadi secara *progresif*, yaitu pembentukan dispersi molekuler. Tahap kedua ini merupakan keharusan agar selanjutnya terjadi penyerapan (Aiache, JM. 1993).

Ada beberapa metode resmi untuk melakukan uji disolusi tablet atau kapsul yaitu (Shargel, 1988) :

1. Metode *Rotating Basket* (Alat 1)

Metode rotating basket (alat 1) terdiri dari keranjang silindrik yang ditahan oleh tangkai motor. Keranjang menahan cuplikan dan berputar dalam suatu labu bulat yang berisi media pelarutan. Keseluruhan labu tercelup dalam suatu bak yang bersuhu 37°C. Kecepatan berputar dan posisi keranjang harus memenuhi rangkaian persyaratan yang ada. Metode basket kurang peka terhadap kemiringan, tetapi lebih peka terhadap penyumbatan yang disebabkan oleh bahan yang bersifat gom. Potongan-potongan partikel kecil juga dapat menyumbat saringan keranjang, selain itu gelembung-gelembung udara pada permukaan sediaan obat dapat juga mempengaruhi pelarutan.

2. Metode *Paddle* (Alat 2)

Metode *paddle* (alat 2) terdiri dari suatu dayung yang dilapisi khusus, yang berfungsi memperkecil *turbulensi* yang disebabkan pengadukan. Dayung diikat secara vertikal ke suatu motor yang berputar dengan kecepatan yang terkendali.

Tablet atau kapsul diletakkan dalam tabung pelarutan yang beralas bulat untuk memperkecil turbulensi dari media pelarutan. Alat ditempatkan dalam suatu bak air bersuhu konstan 37°C. Posisi dan kesejajaran letak dayung ditetapkan dalam USP.

3. Metode Disintegrasi Yang Dimodifikasi (Alat 3)

Pada dasarnya metode ini menggunakan alat disintegrasi sesuai dengan yang ditetapkan dalam USP yaitu *basket and rack* yang dirakit untuk menguji pelarutan. Bila alat ini dipakai untuk pelarutan maka cakram dihilangkan. Diameter keranjang juga diubah dari 21,5 mm menjadi 0,254 mm (mes 40x40) sehingga selama pelarutan partikelnya tidak akan jatuh melalui saringan. Jumlah pengadukan dan getaran membuat metode ini kurang sesuai untuk uji pelarutan yang tepat.

Perbedaan aktivitas biologi dari suatu obat mungkin disebabkan oleh laju disolusi dimana obat menjadi tersedia untuk organisme tersebut. Dalam banyak hal, laju disolusi merupakan tahap yang menentukan dalam proses absorpsi. Hal ini terlihat pada obat-obat yang diberikan secara oral dalam bentuk dispersi padat seperti: tablet, kapsul atau suspensi. Bila laju disolusi merupakan tahap yang menentukan laju absorpsi. Akibatnya laju disolusi dapat mempengaruhi onset, intensitas, dan lama respons, serta kontrol bioavailabilitas obat tersebut keseluruhan dari bentuk sediaannya (Ansel, 1985).

G. Metode Pembentukan Kokristal

Beberapa metode yang umum digunakan dalam pembentukan kokristal adalah sebagai berikut (Qiao, Li, Schlindwein, Malek, Davies dan Trappit, 2011)

1. Metode pelarutan

Metode pelarutan terbagi menjadi dua tahap pelarutan masing-masing komponen dalam pelarut yang sesuai dengan kelarutannya, kemudian dilakukan

pencampuran dan pembentukan kristal, sehingga didapatkan kokristal. Metode pembentukan kristal dapat dilakukan dengan berbagai cara:

a. Metode penguapan pelarut

Metode ini merupakan metode yang paling sering digunakan dalam pembentukan kokristal. Dua komponen yang ekuivalen terdiri zat aktif obat dan koformer di larutkan obat dan koformer di larutkan ddalam pelarut atau campuran pelarut, kemudian dilakukan penguapan pelarut untuk mencapai keadaa lewat jenuh sehingga dihasilkan kokristal.

b. Metode reaksi kristalisasi

Metode ini dilakukan dengan menambahkan sejumlah komponen zat kedalam larutan zat lain yang sudah jenuh atau mendekati jenuh sehingga larutan akan menjadi lewat jenuh dan terjadi proses kristalisasi yang menghasilkan kokristal. Metode ini efektif untuk larutan dengan konsentrasi komponen ysng tidak ekivalen dan ketika satu komponen larutan menjadi lewat jenuh dengan penambahan komponen lainnya

c. Metode pendinginan

Metode ini melibatkan suhu dalam proses kokristalisasi. Dimana sejumlah besar komponen yang merupakan zat aktif dan koformer dilarutkan dengan pelarut atau campuran pelarut yang kemudian dipanaskan untuk memastikan kedua komponen tersebut benar-benar larut. Kemudian larutan didinginkan untuk memperoleh keadaan lewat jenuh. Kokristal akan mengendap saat larutan mencapai keadaan lewat jenuh. Metode ini cocok untuk membuat kokristal dalam skala besar.

2. Metode *grinding*

Metode *grinding* dapat digunakan dalam pembentukan kokristal. Pada metode ini menggunakan aspek mekanik untuk membentuk kokristal antara zat aktif dan kooformer.

a. *Dry grinding*

Metode ini dilakukan dengan menyampurkan kedua komponen penyusun kokristal yang ekuivalen secara bersama-sama lalu menggerusnya secara manual menggunakan lumpang dan alu secara mekanik dengan *ball-mill* atau *vibratoru mill*.

b. *Solvent drop grinding*

Metode ini mirip dengan metode *dry grinding*, perbedaannya adalah penambahan sejumlah kecil pelarut dalam proses pencampurannya. Dengan penambahan sedikit pelarut dapat meningkatkan laju pembentukan kokristal. Pelarut yang digunakan dalam metode ini harus dapat melarutkan minimal salah satu komponen dalam kokristal.

H. Karakterisasi

1. Spektrofotometri Ultraviolet

Spektrofotometri serapan merupakan pengukuran interaksi antara radiasi elektromagnetik dan molekul atau atom dari suatu zat kimia. Metode yang sering digunakan dalam analisis farmasi meliputi spektrofotometri ultraviolet, sinar tampak, infra merah dan serapan atom. Rentang panjang gelombang untuk daerah ultraviolet adalah 190-380 nm, daerah cahaya tampak 380-780 nm, daerah infra merah 2,5-4,0 nm atau 4000-250 cm^{-1} (Ditjen POM, 1995).

Dalam analisis spektrofotometer digunakan suatu sumber radiasi yang menjorok kedalam daerah spektrum ultraviolet. Instrumen yang digunakan adalah spektrofotometer. Keuntungan utama spektrofotometer adalah bahwa metode ini memberikan cara sederhana untuk menetapkan kuantitas zat yang sangat kecil (Basset, 1994).

Spektrofotometri adalah suatu instrumen untuk mengukur transmittan atau absorpsi pada sampel sebagai fungsi panjang gelombang, pengukuran terhadap

sederetan sampel pada suatu panjang gelombang tunggal dapat pula dilakukan. Instrument semacam ini dapat dikelompokkan secara manual atau merekam sebagai berkas tunggal atau berkas rangkap dengan perekam *automatic* terhadap *spectra absorpsi* (Underwood, 1981).

Komponen-komponen pokok dari spektrofotometer meliputi: sumber energi cahaya yang berkesinambungan, monokromator, tempat cuplikan, suatu wadah untuk sampel, detector radiasi yang dihubungkan dengan sistem meter atau pencatat dan alat perekam (Underwood, 1981).

Tahap-tahap yang dilakukan dalam analisis kuantitatif dengan metode spektrofotometer (Higuchi, 1991):

- a. Penetapan panjang gelombang
- b. Penetapan kurva operating time serapan
- c. Pembuatan kurva kalibrasi
- d. Penetapan kadar sampel

2. Spektrofotometri Inframerah

Spektrofotometri inframerah sangat penting dalam kimia modern, terutama dalam bidang organik. Spektrofotometri inframerah merupakan alat rutin dalam penemuan gugus fungsional, pengenalan senyawa, dan analisa campuran. Alat yang mencatat spektrum inframerah diperdagangkan dan mudah digunakan pada dasar rutin (Underwood, 1981).

Kebanyakan gugus seperti C-H, O-H, C=O, dan C=N, menyebabkan pita absorpsi inframerah, yang berbeda hanya sedikit dari satu molekul ke yang lain tergantung pada substituent yang lain. Selain frekuensi gugus-gugus ini, yang biasanya dapat ditetapkan secara pasti pita absorpsi, yang asal pastinya sukar untuk

dipastikan, tetapi yang luar biasa berguna untuk identifikasi secara kualitatif (Underwood, 1981).

Biasanya dalam spektrum inframerah terdapat banyak puncak, artinya puncak yang ada jauh lebih banyak daripada jumlah yang diharapkan dari vibrasi pokok, sehingga perlu diperhatikannya letak (frekuensi), bentuk melebur atau tajam, dan intensitasnya (kuat atau lemah). Dengan demikian dapat dibedakan spektrum serapan dari zat yang satu dengan zat yang lainnya. Fourier transform infrared (FTIR) sudah sering digunakan untuk mengkarakterisasi interaksi obat. Polimer didalam dispersi padat. Struktur penggunaan secara kualitatif ini adalah penerapan yang utama dari spektrokopis inframerah dibidang farmasi (Agoes Goeswin, 2008).

Spektrofotometer FTIR didasarkan pada ide adanya interferensi radiasi antara dua berkas sinar untuk menghasilkan suatu interferogram. Interferogram merupakan sinyal yang dihasilkan sebagai fungsi perubahan *pathlength* antara dua berkas sinar. Dua domain (jarak dan frekuensi) dapat ditukarbalikkan dengan metode matematik yang disebut dengan transformasi Fourier (Gandjar dan Rohman, 2013).

3. Difraksi Sinar X

Sinar X mempunyai panjang gelombang 10-12 - 10-18 meter (10-2-102 A) dan dapat didifraksi oleh kristal serta menghasilkan pola difraksi yang dapat difoto pada plat peka yang diletakkan dibelakang kristal. Dengan metode ini bangun kristal dapat diamati (Martin, 1993).

Dalam metode ini suatu sinar X monokratis difokuskan pada suatu lempengan berisi zat yang ditumbukkan halus yang akan diamati. Karena di dalam serbuk tersebut bidang-bidang kristal diorientasikan pada semua sudut yang mungkin, maka akan selalu ada beberapa kristal yang mempunyai orientasi pada sudut yang tepat sehingga dapat memberikan gambaran difraksi maksimum yang saling menguatkan

dari semua bidang-bidangnya secara simultan. Difraksi-difraksi maksimum tersebut dipotret pada suatu film yang ditempatkan di belakang sampel dalam bentuk seperti busur setengah lingkaran. Sinar terdifraksi yang diperoleh dengan cara ini membentuk kerucut-kerucut konsentrasi yang berasal dari serbuk yang diamati. Apabila kerucut-kerucut ini difoto pada suatu film kecil yang berukuran sempit, maka akan tampak garis-garis hampir vertikal yang tersusun pada kedua sisi noktah pusat, merupakan suatu pusat maksimum tunggal, dimana jumlah pusat maksimum semacam itu ditentukan dengan hukum Bragg ($m=2d \sin \theta$). Pola-pola difraksi yang diperoleh dari berbagai macam zat padat merupakan karakteristik dari zat yang bersangkutan. Sesuai dengan hal ini, maka metode difraksi sinar X sering digunakan dalam analisa kimia kualitatif dan kuantitatif untuk mengidentifikasi dan mengestimasi zat murni dan campuran zat (Moechtar, 1990).

4. Metode kristalografi

Metode kristalografi melibatkan difraksi sinar-X kristal tunggal serta difraksi serbuk sinar-X. Difraksi sinar-X kristal tunggal dapat memberikan posisi atom yang tidak ambigu dan informasi struktural yang lengkap, tetapi kristal tunggal yang cocok untuk ini sulit didapatkan. Dalam kasus tersebut, studi difraksi serbuk sinar-X menggunakan sampel mikrokristal menjadi kunci utama. Dalam perlakuannya, bubuk difraktogram digunakan untuk memastikan kepa-datan dan kemurnian obat sintetik. Suatu serbuk difraktometer sinar-X bekerja dengan prinsip mempertahankan panjang gelombang agar tetap konstan dan ber-bagai macam sudut datang (Kotak dkk, 2015).

5. *Differential Scanning Calorimetry (DSC)*

DSC mempelajari perubahan aliran panas antara sampel dan blanko. Panci yang digunakan dalam DSC adalah aluminium dan hanya menggunakan beberapa mg

sampel. Data tersebut diletakkan di sebidang suhu (*x-axis*) terhadap aliran panas (*W / g*) (*y-axis*). Plot muncul sebagai garis kontinu dengan puncak yang sesuai dengan proses endotermik dan proses eksotermik yang terjadi di arah yang berlawanan. DSC dapat digunakan untuk mendapatkan informasi tentang titik leleh senyawa setiap kali kaca transisi mencair, pemanasan fusi dan level kristalinitas (Kotak dkk, 2015).

6. Analisis termal

Metode penting selanjutnya yang digunakan untuk karakterisasi polimorfisme, kemurnian, salvasi, degradasi dan kompatibilitas obat adalah analisis termal, yang meliputi Termografimetri, *Differential Thermal Analysis* (DTA) (Kotak dkk, 2015).

I. Tinjauan Islam Tentang Pengobatan

Allah telah menciptakan segala sesuatu dimuka bumi ini dengan kemanfaatannya masing-masing, maka manusia tidak boleh sekali-kali lari daripadanya, selain itu manusia harus senantiasa membuka mata dan fikirannya untuk melihat tanda-tanda kebesaran Allah swt. Allah berfirman dalam surah Al-An'am (6) ayat 99 yang berbunyi:

وَهُوَ الَّذِي أَنْزَلَ مِنَ السَّمَاءِ مَاءً فَأَخْرَجْنَا بِهِ نَبَاتَ كُلِّ شَيْءٍ فَأَخْرَجْنَا مِنْهُ خَضِرًا مَخْرُجًا مِنْهُ حَبًّا مُتَرَاكِبًا وَمِنَ النَّخْلِ مِن طَلْعِهَا قِنْوَانٌ دَانِيَةٌ وَجَنَّاتٍ مِّنْ أَعْنَابٍ وَالزَّيْتُونَ وَالرُّمَّانَ مُشْتَبِهًا وَغَيْرَ مُتَشَبِهٍ أَنْظُرُوا إِلَى ثَمَرِهِ إِذَا أَثْمَرَ وَيَنْعِهِ إِنَّ فِي ذَٰلِكُمْ لَآيَاتٍ لِّقَوْمٍ يُؤْمِنُونَ ﴿٩٩﴾

Terjemahnya:

Dan Dialah yang menurunkan air hujan dari langit, lalu Kami tumbuhkan dengan air itu segala macam tumbuh-tumbuhan maka Kami keluarkan dari tumbuh-tumbuhan itu tanaman yang menghijau. Kami keluarkan dari tanaman yang menghijau itu butir yang banyak; dan dari mayang korma mengurai tangkai-tangkai yang menjulai, dan kebun-kebun anggur, dan (Kami keluarkan pula) zaitun dan delima yang serupa dan yang tidak serupa. Perhatikanlah buahnya di waktu pohonnya berbuah dan (perhatikan pulalah)

kematangannya. Sesungguhnya pada yang demikian itu ada tanda-tanda (kekuasaan Allah) bagi orang-orang yang beriman.

Dalam kitab Tafsir Ibnu Katsir, dijelaskan bahwa ayat ini menjelaskan tuntunan Allah untuk mencapai kesadaran tauhid dan iman. Allah menyatakan: Dialah (Allah) yang menurunkan hujan, dan Dia pula yang mengeluarkan berbagai macam tumbuh-tumbuhan. Dia pula yang mewarnainya hijau dan lain-lainnya, lalu Dia pula yang menyusun butir-butir buahnya yang tersusun rapi. Juga Dia pula yang mengeluarkan mayang pohon kurma sehingga tersusun buahnya yang mudah dipetik, Dia pula yang menumbuhkan semua tumbuh-tumbuhan dalam kebun anggur, zaitun dan delima dan lain-lainnya baik yang serupa bentuk, warna dan cita rasanya atau yang jauh berbeda antara yang satu dengan yang lain, warnanya, bentuknya dan rasanya. Kemudian Allah menyuruh untuk mengamati buah sejak ia mulai berbuah hingga matang dan diketamnya untuk dirasakan nikmat, rahmat dan nikmat Tuhan yang menjadikan semua itu untuk kepentingan manusia (Katsir, 2004).

Lebih dari itu, ayat ini menjelaskan bahwa air hujan adalah sumber air bersih satu-satunya bagi tanah. Sedangkan matahari adalah sumber semua kehidupan. Tetapi, hanya tumbuh-tumbuhan yang dapat menyimpan daya matahari itu dengan perantaraan klorofil untuk kemudian menyerahkannya kepada manusia dan hewan dalam bentuk bahan makanan organik yang dibentuknya (Shihab, 2002).

Islam memandang ilmu pengetahuan dan teknologi pengobatan sebagai cabang dari ilmu pengetahuan, untuk memahami secara ilmiah dari cara pengobatan dengan memperhatikan bagaimana cara seseorang untuk merancang suatu obat yang lebih baik digunakan bagi manusia dengan meminimalkan keraguan yang ditimbulkan. Pengetahuan semacam ini merupakan karunia yang sangat besar dari Allah SWT, sehingga kita harus terus berusaha untuk menggali ilmu-ilmu pengetahuan.

Allah SWT berfirman dalam surah Ali-imran/3: 190-191.

إِنَّ فِي خَلْقِ السَّمَوَاتِ وَالْأَرْضِ وَأَخْتِلَافِ اللَّيْلِ وَالنَّهَارِ لَآيَاتٍ لِأُولِي الْأَلْبَابِ ﴿١٩٠﴾
 الَّذِينَ يَذْكُرُونَ اللَّهَ قِيَمًا وَقُعُودًا وَعَلَىٰ جُنُوبِهِمْ وَيَتَفَكَّرُونَ فِي خَلْقِ السَّمَوَاتِ
 وَالْأَرْضِ رَبَّنَا مَا خَلَقْتَ هَذَا بَطْلًا سُبْحَانَكَ فَقِنَا عَذَابَ النَّارِ ﴿١٩١﴾

Terjemahnya:

190. *Sesungguhnya dalam penciptaan langit dan bumi, dan pergantian malam dan siang, terdapat tanda-tanda (kebesaran Allah) bagi orang-orang yang berakal,*
 191. *(yaitu) orang-orang yang senantiasa mengingat Allah dalam keadaan berdiri, duduk, dan berbaring, dan memikirkan penciptaan langit dan bumi (seraya berkata), “Ya Tuhan kami, tidaklah Engkau ciptakan semua ini dengan sia-sia, Maha Suci Engkau, lindungilah kami dari siksa api neraka.*

Asbabun Nuzul:

Dari Ibnu Abbas bahwa orang Quraisy datang kepada Ahli Kitab dan berkata, “Apa yang dibawa nabi Musa kepada kalian?”. Ahli kitab menjawab “Tongkat dan tangannya menjadi putih bersinar bagi yang melihat”. Mereka mendatangi nasrani dan berkata “Bagaimana dengan Nabi Isa?”. Orang Nasrani berkata “Dia menyembuhkan penyakit buta dan lepra serta menghidupkan orang mati”. Kemudian Orang Quraisy mendatangi Rasulullah saw. dan berkata, “Berdoalah kepada Allah agar bukit shafa menjadi emas bagi kita” Maka Rasulullah berdoa, dan turunlah ayat ini (Kementerian Agama, 2014).

Tafsir:

Hukum-hukum alam yang melahirkan kebiasaan-kebiasaan, pada hakikatnya ditetapkan dan diatur oleh Allah yang Maha Hidup lagi Maha Qayyum, kembali ditegaskan pada ayat ini dan salah satu bukti kebenaran hal tersebut adalah mengajak manusia untuk berfikir, karena sesungguhnya dalam penciptaan, yakni matahari, bulan dan jutaan gugusan bintang yang terdapat di langit atau dalam pengaturan sistem kerja langit yang sangat teliti serta kejadian dan perputaran bumi dan porosnya, yang melahirkan silih bergantinya malam dan siang, baik dalam masa

maupun dalam panjang dan pendeknya terdapat tanda-tanda kekuasaan Allah bagi ulul albab, yakni orang-orang yang memiliki akal yang murni. Yang merenungkan tentang fenomena alam raya akan dapat sampai pada bukti yang sangat nyata tentang keesaan Allah swt. Ulul albab yang disebutkan pada ayat adalah orang-orang, baik laki-laki maupun perempuan yang terus-menerus mengingat Allah, dengan ucapan dan atau hati dalam seluruh situasi dan kondisi saat bekerja atau istirahat, sambil berdiri atau duduk atau dalam keadaan berbaring, atau bagaimanapun dan mereka memikirkan tentang penciptaan, yakni kejadian dan sistem kerja langit dan bumi, dan setelah itu berkata sebagai kesimpulan: “Tuhan kami, tiadalah Engkau menciptakan alam raya dan segala isinya ini dengan sia-sia”, tanpa tujuan yang hak. Apa yang kami alami atau lihat atau dengar dari keburukan atau kekurangan. Maha suci Engkau dari semua itu. Itu adalah ulah atau dosa dan kekurangan kami yang dapat menjerumuskan kami kedalam siksa neraka, maka peliharalah kami dari siksa neraka (Katsir, 2014).

Ayat diatas memaparkan bagaimana Allah menyuruh manusia untuk berfikir, salah satunya dalam penelitian ini. Dimana akan dilakukan suatu upaya peningkatan disolusi piroksikam yang diharapkan dapat meningkatkan aktivitas obatnya.

Dari sahabat Abu Hurairah Rasulullah saw bersabda :

مَا أَنْزَلَ اللَّهُ دَاءً إِلَّا أَنْزَلَ لَهُ شِفَاءً.

Artinya:

Allah tidak menurunkan penyakit kecuali dia juga menurunkan obatnya (Shahih Bukhari, 2011).

Dalam hadist lain, dari sahabat Jabir bin Abdillah ra, Nabi saw bersabda :

لِكُلِّ دَاءٍ دَوَاءٌ، فَإِذَا أُصِيبَ دَوَاءُ الدَّاءِ بَرَأَ بِإِذْنِ اللَّهِ.

Artinya:

Setiap penyakit ada obatnya, maka apabila didapati suatu obat yang cocok untuk menyembuhkan, sesuatu penyakit itu akan hilang dengan seizin Allah 'Azza wajallah (Shahih Muslim, 2011).

Islam sangat menghargai bentuk-bentuk pengobatan yang didasari oleh ilmu pengetahuan, penelitian dan eksperimen ilmiah. Oleh karena itu, setiap pengobatan hendaklah ditangani oleh ahlinya (Qardhawi. 2001: 159).

Jadi setiap penyakit yang diturunkan oleh Allah swt ada obatnya, dan setiap pengobatan harus sesuai dengan penyakitnya. Kesembuhan seseorang dari penyakit yang diderita, sesungguhnya hanyalah semata-mata karena pertolongan Allah, akan tetapi Allah menghendaki agar pengobatan itu dipelajari oleh ahlinya agar sesuai dengan penyakit yang akan diobati sehingga akan mendorong kesembuhannya. Obat-obat yang digunakan dalam pengobatan dapat berasal dari bahan sintetik maupun bahan alami.

Diriwayatkan pula dari musnad Imam Ahmad dari shahabat Usamah bin Suraik , bahwasanya Nabi bersabda,

كُنْتُ عِنْدَ النَّبِيِّ صَلَّى اللَّهُ عَلَيْهِ وَسَلَّمَ، وَجَاءَتِ الْأَعْرَابُ، فَقَالَ: يَا رَسُولَ اللَّهِ، أَنْتَدَاوَى؟ فَقَالَ: نَعَمْ يَا عِبَادَ اللَّهِ، تَدَاوَوْا، فَإِنَّ اللَّهَ عَزَّ وَجَلَّ لَمْ يَضَعْ دَاءً إِلَّا وَضَعَ لَهُ شِفَاءً غَيْرَ دَاءٍ وَاحِدٍ. قَالُوا: مَا هُوَ؟ قَالَ: الْهَرَمُ

Artinya:

Aku pernah berada di samping Rasulullah saw. Lalu datanglah serombongan Arab dusun. Mereka bertanya, "Wahai Rasulullah, bolehkah kami berobat?" Beliau menjawab: "Iya, wahai para hamba Allah, berobatlah. Sebab Allah Azza Wa Jalla tidaklah meletakkan sebuah penyakit melainkan meletakkan pula obatnya, kecuali satu penyakit." Mereka bertanya: "Penyakit apa itu?" Beliau menjawab: "Penyakit tua." (HR. Ahmad, Al-Bukhari dalam Al-Adabul Mufrad, Abu Dawud, Ibnu Majah, dan At-Tirmidzi, beliau berkata bahwa hadits ini hasan shahih. Syaikhuna Muqbil bin Hadi Al-Wadi'i menshahihkan hadits ini dalam kitabnya Al-Jami' Ash-Shahih mimma Laisa fish Shahihain, 4/486).

Hadist tersebut diatas menjelaskan bahwasanya Rasulullah saw. mengajarkan kepada hamba Allah untuk berupaya dalam mencari kesembuhan terhadap penyakit yang diderita, karena sesungguhnya terhadap setiap penyakit telah diturunkan pula obatnya, kecuali penyakit karena bertambahnya usia sehingga fungsi tubuh semakin menurun pula.

Dari Ibnu Mas'ud , bahwa Rasulullah bersabda:

إِنَّ اللَّهَ لَمْ يَنْزِلْ دَاءً إِلَّا أَنْزَلَ لَهُ شِفَاءً، عِلْمُهُ مَنْ عِلْمَهُ وَجَهْلُهُ مَنْ جَهْلُهُ

Artinya:

Sesungguhnya Allah tidaklah menurunkan sebuah penyakit melainkan menurunkan pula obatnya. Obat itu diketahui oleh orang yang bisa mengetahuinya dan tidak diketahui oleh orang yang tidak bisa mengetahuinya. (HR. Ahmad, Ibnu Majah, dan Al-Hakim, beliau menshahihkannya dan disepakati oleh Adz-Dzahabi. Al-Bushiri menshahihkan hadits ini dalam Zawa'id-nya. Lihat takhrij Al-Arnauth atas Zadul Ma'ad, 4/12-13)

Hadits-hadits di atas memberikan pengertian kepada kita bahwa semua penyakit yang menimpa manusia maka Allah turunkan pula obatnya, artinya setiap penyakit bisa disembuhkan dengan izin dan pertolongan Allah swt. Dan (apabila didapati suatu obat yang cocok untuk menyembuhkan suatu penyakit), Hal ini menjadi suatu perintah kepada kita untuk mempelajari tentang pengobatan agar dapat ditemukan suatu pengobatan yang paling sesuai untuk penyakit yang diderita sehingga meningkatkan efektivitas dari pengobatan yang diberikan. Obat untuk setiap penyakit yang diturunkan tersebut diketahui oleh orang yang bisa mengetahui dan tidak diketahui oleh yang tidak bisa mengetahuinya, dalam artian bahwa pengobatan suatu penyakit hanya bisa diketahui oleh para ahlinya, maka hendaklah kita senantiasa melakukan pencarian/pengkajian atau penelitian terhadap penyakit dan pengobatannya.

Sebagai Farmasis, salah satu langkah yang dapat dilakukan untuk mempelajari dan mengkaji tentang ilmu pengobatan adalah dengan melakukan penelitian ilmiah. Dalam penelitian ini dilakukan upaya perbaikan kelarutan dari obat piroksikam yang memiliki permasalahan kelarutan dalam air, sehingga dapat meningkatkan aktivitasnya, dan diharapkan dapat meningkatkan efektivitas pengobatan.



BAB III

METODOLOGI PENELITIAN

A. Jenis dan Lokasi Penelitian

Jenis penelitian ini adalah penelitian kualitatif dan kuantitatif. Lokasi penelitian bertempat di Laboratorium Kimia Farmasi Analisis dan Farmaseutika Jurusan Farmasi Fakultas Kedokteran dan Ilmu Kesehatan Universitas Islam Negeri Alauddin Makassar, Laboratorium Kimia Riset Jurusan Kimia Fakultas Sains dan Teknologi Universitas Islam Negeri Alauddin Makassar, dan Laboratorium Mikrostruktur Jurusan Fisika Fakultas Matematika dan Ilmu Pengetahuan Alam Universitas Negeri Makassar.

B. Pendekatan Penelitian

Pendekatan penelitian yang digunakan adalah pendekatan eksperimental. Penelitian dengan pendekatan eksperimental adalah suatu penelitian yang berusaha mencari pengaruh variabel tertentu terhadap variabel yang lain dalam kondisi yang terkontrol secara ketat.

C. Instrumen Penelitian

1. Alat

Alat yang digunakan dalam penelitian ini antara lain alat-alat gelas (*pyrex*[®]), apparatus disolusi (*Sotax*[®]), cawan porselin, instrumentasi *Differential Scanning Calorimetry/DSC*, instrumentasi *Scanning Electron Microscope/SEM* (*Bruker*[®]), instrumentasi *X-Ray Diffractometry* (*Rigaku*[®]), kuvet kuarsa (*Varian*[®]), pipet mikro (*Nesco*[®]), pipet volum (*Pyrex*[®]), spektrofotometer *Fourier Transform Infrared/FT-IR* (*Thermo fisher*[®]), spektrofotometer *Ultraviolet-visible/UV-Vis* (*Varian*[®]), *stamper* dan *mortar*, mikro *stamper* dan *mortar* (*Thermo fisher*[®]) dan timbangan analitik (*Sartorius*[®])

2. Bahan

Bahan-bahan yang digunakan dalam penelitian ini antara lain air suling, asam klorida, asam malat, metanol p.a (*pro analyze*), kalium bromida (KBr), kertas saring *Whattman*, piroksikam, dan *tissue*.

D. Cara Kerja

1. Pembuatan Kokristal

Kokristal dibuat menggunakan metode *solvent drop grinding*. *Solvent drop grinding* dilakukan dengan mengombinasikan rasio equimolar piroksikam dengan asam malat. Perbandingan molar yang digunakan antara lain 1:1, 1:2, 2:1 dan piroksikam tanpa asam malat (1:0). Piroksikam dan asam malat dimasukkan ke dalam *mortar*, dan ditambahkan sebanyak 50 μL metanol p.a kemudian digerus selama 10 menit dengan kecepatan konstan. Setelah digerus, serbuk dikeringkan dan disimpan pada suhu kamar (Alatas, et.al. 2013). Perbandingan jumlah piroksikam dan asam malat dapat dilihat pada tabel 4 berikut:

Tabel 4: Perbandingan jumlah piroksikam dan asam malat

Bahan	(1:1)	(1:2)	(2:1)	(1:0)
Piroksikam (mg)	662 mg (2 mmol)	662 mg (2 mmol)	662 mg (2 mmol)	662 mg (2 mmol)
Asam malat (mg)	268 (2 mmol)	536 (4 mmol)	134 mg (1 mmol)	-

2. Uji Disolusi

a. Pembuatan Media Disolusi

Media disolusi yang digunakan adalah media asam lambung buatan yaitu asam klorida pH 1,2. Dibuat dengan metode pengenceran HCl P 37% sebanyak 5,80 mL dalam 1000 mL aquadest (Dirjen POM, 2014).

b. Pembuatan Larutan Stok

Dibuat larutan stok piroksikam 100 bpj dengan cara yaitu ditimbang sebanyak 10 mg piroksikam, dimasukkan ke dalam labu tentukur 100 mL, kemudian dilarutkan dengan media disolusi hingga garis tanda dan dihomogenkan (Naveed, 2012).

c. Penentuan λ Maksimum

Diukur serapan larutan stok piroksikam pada spektrofotometri UV-Vis dengan *range* panjang gelombang 200-400 nm hingga diperoleh panjang gelombang pada absorbansi maksimum (Naveed, 2012).

d. Pembuatan Kurva Baku

Dibuat seri pengenceran larutan piroksikam dalam media disolusi dengan konsentrasi 2,5 bpj, 5 bpj, 7,5 bpj, 10 bpj, dan 12,5 bpj, dengan mengencerkan larutan stok baku piroksikam kemudian masing-masing diukur serapannya pada panjang gelombang maksimum. Sebagai uji blanko digunakan media disolusi, selanjutnya dibuat kurva baku antara serapan dengan konsentrasi (Naveed, 2012).

e. Pelaksanaan Uji Disolusi

Dilakukan uji disolusi dengan metode keranjang terhadap piroksikam dan kokristal dengan cara sebagai berikut: ditimbang 50 mg piroksikam ke dalam keranjang disolusi lalu dicelupkan ke dalam labu disolusi yang berisi media disolusi 900 mL dengan suhu $37 \pm 0,5^\circ\text{C}$. Selanjutnya, keranjang diputar dengan kecepatan 50 rpm. Diambil larutan contoh pada menit 15, 30, 45, 60, dan 75 masing-masing sebanyak 5 mL, dilakukan triplo tiap waktu. Setiap pengambilan larutan contoh, segera ditambahkan kembali media disolusi ke dalam labu disolusi dengan volume yang sama. Pengambilan coplikan dilakukan pada posisi yang sama yaitu pada pertengahan antara permukaan media disolusi dan bagian atas dari keranjang tidak kurang 1 cm dari dinding wadah menggunakan pipet khusus disolusi. Dilakukan perlakuan yang sama terhadap kokristal dengan berat setara 20 mg piroksikam.

3. Penetapan Kadar Piroksikam Terdisolusi

Penetapan kadar Piroksikam terdisolusi tiap satuan waktu ditentukan dengan mengukur serapan pada panjang gelombang maksimum dan dihitung kadarnya dengan menggunakan persamaan kurva baku. Persamaan kurva baku diperoleh dari deret konsentrasi larutan piroksikam standar yang memenuhi hukum *Lambert-Beer*.

4. Karakterisasi Piroksikam baku dan Kokristal Piroksikam : Asam Malat

a. Analisis Mikroskopik

Analisis ini dilakukan terhadap kokristal menggunakan alat *Scanning Electron Microscope* (SEM). Mikroskop Elektron memiliki pembesaran 100 ribu kali dengan menggunakan elektron sebagai pengganti cahaya pada mikroskop optik. Sejumlah sampel diletakkan pada *sample holder* aluminium, kemudian dilapisi dengan partikel emas *palladium* (Au) dengan ketebalan ± 10 nm menggunakan vakum, sampel kemudian diamati pada berbagai perbesaran alat SEM (BRUKER®).

b. Uji Termal

Uji termal dilakukan terhadap piroksikam, asam malat, dan kokristal menggunakan alat *Differential Scanning Calorimetry* (Perkin Elmer®). Disiapkan sampel 3-5 mg pada *crimped sample pan* dimana sampel dilapisi dengan *pan crucible* 10 μ L yang dipress, dipanaskan pada suhu 26-400 °C. Kecepatan pemanasan 20°C per menit. Sebagai purge gas, digunakan gas nitrogen dengan kecepatan alir 20 ml/menit (Laszlo fabian, 2006).

c. Uji Difraksi Sinar-X

Uji difraksi sinar-X dilakukan terhadap kokristal menggunakan alat *X-Ray Diffractometry* (Rigaku®). Sampel diletakkan pada sampel holder (wadah kaca) berukuran 2 cm persegi, dan diratakan untuk mencegah perubahan volume partikel selama penyiapan sampel. Analisis difraksi sinar-X dilakukan pada suhu ruang

dengan kondisi pengukuran terkontrol sebagai berikut: target logam Cu, filter $K\alpha$, voltase 40 kV, arus 20-40 mA, kelembaban relatif 50%, temperatur 23°C, analisis dilakukan pada rentang 2 theta 5-35 °C.

d. Analisis Gugus Fungsi

Analisis ini dilakukan terhadap piroksikam, asam malat, dan kokristal menggunakan alat *Fourier Transform Infra-Red* (FTIR). Penyiapan sampel dilakukan dengan membentuk pelat KBr dengan perbandingan sampel : KBr (1:10). Spektrum serapan dari sampel direkam menggunakan FTIR (*Thermo fisher Scintific*[®]) pada bilangan gelombang 4000-400 cm^{-1} (Alatas, Fikri, et.al. 2013).

E. Validasi dan Relibialitas Instrumen

Validitas dijaga dengan menggunakan instrumen yang telah tervalidasi sesuai standar, menggunakan kondisi yang disesuaikan dengan masing-masing metode penentuan pada tiap instrumen. Serta menggunakan bahan-bahan yang tersertifikasi.

Reliabilitas data dijaga dengan melakukan tiga kali replikasi pada tiap pengujian untuk menghindari data yang bias.

F. Teknik Pengolahan dan Analisis Data

Pengolahan data dilakukan dengan membandingkan Termogram (DSC), Difraktogram (XRD), Spektrum (FT-IR), grafik dan kurva (uji disolusi) dari piroksikam dan Asam Malat tunggal dengan Kokristal yang dihasilkan.

BAB IV
HASIL DAN PEMBAHASAN

A. Hasil Penelitian

1. Pembuatan kokristal

Tabel 5 : Perbandingan Mol Piroksikam:Asam Malat

Bahan	(1:1)	(1:2)	(2:1)	(1:0)
Piroksikam (mg)	662 mg (2 mmol)	662 mg (2 mmol)	662 mg (2 mmol)	662 mg (2 mmol)
Asam malat (mg)	268 (2 mmol)	536 (4 mmol)	134 mg (1 mmol)	-

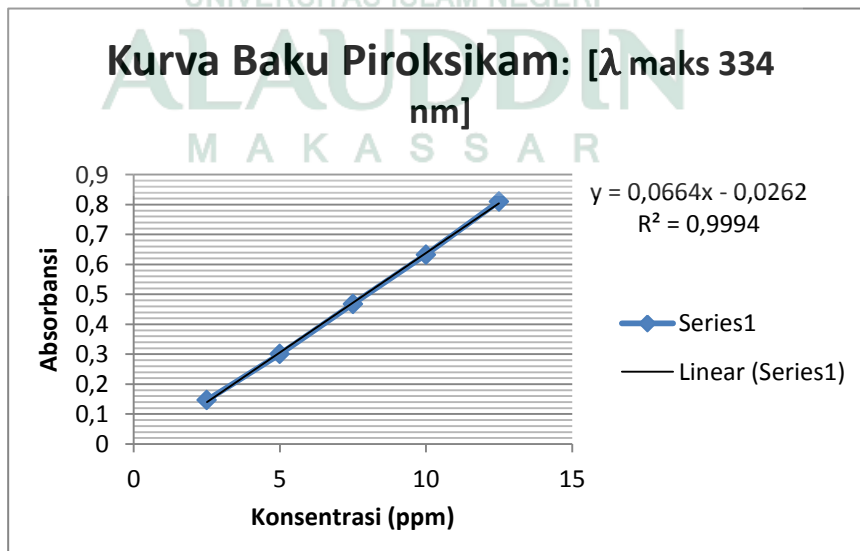
2. Pembuatan Kurva Baku Piroksikam

a. Pembuatan deret konsentrasi

Tabel 6 : Absorbansi Deret konsentrasi

Konsentrasi (bpj)	Absorbansi
2,5	0,1467
5	0,3006
7,5	0,4684
10	0,6328
12,5	0,8106

b. Kurva baku Piroksikam



Gambar 4 : Kurva Baku piroksikam

3. Uji Disolusi Secara *In Vitro*

a. Baku Piroksikam (ditimbang 20 mg)

Tabel 7 : Hasil Uji Disolusi Piroksikam baku

Waktu (Menit)	Absorbansi	Kadar terlarut dalam 900 mL (mg)	Faktor Koreksi (Fk)	Kadar Terdisolusi (mg)	% Terdisolusi
15	0,2818	4,170	0,0463	4,170	20,85 %
	0,2821				
	0,2805				
Rerata	0,2815				
30	0,3469	5,0472	0,1023	5,0935	25,46 %
	0,3458				
	0,3457				
Rerata	0,3462				
45	0,4738	6,803	0,1778	6,9053	34,52 %
	0,4741				
	0,4747				
Rerata	0,4742				
60	0,5297	7,5195	0,2613	7,6973	38,48 %
	0,5278				
	0,5284				
Rerata	0,5286				
75	0,5997	8,494	0,3556	8,7553	43,77 %
	0,5999				
	0,6018				
Rerata	0,6005				

b. Kokristal Piroksikam: Asam malat 1:1 (ditimbang 28,09 mg)

Tabel 8 : Hasil Uji Disolusi Kokristal 1:1

Waktu (Menit)	Absorbansi	Kadar terlarut dalam 900 mL (mg)	Faktor Koreksi (Fk)	Kadar Terdisolusi (mg)	% Terdisolusi
15	0,4314	6,195	0,0688	6,195	30,97 %
	0,4300				
	0,4312				
Rerata	0,4309				
30	0,5567				
	0,5530				
	0,5570				

		7,885	0,1564	7,953	39,76 %
Rerata	0,5556				
45	0,6777	9,54	0,2624	9,6964	48,48 %
	0,6788				
	0,6766				
Rerata	0,6777				
60	0,7386	10,364	0,3775	10,6264	53,13 %
	0,7376				
	0,7392				
Rerata	0,7385				
75	0,7818	10,936	0,4990	11,3135	56,56 %
	0,7801				
	0,7803				
Rerata	0,7807				

c. Kokristal 1:2 (ditimbang 36,19 mg)

Tabel 9 : Hasil Uji Disolusi Kokristal1:2

Waktu (Menit)	Absorbansi	Kadar terlarut dalam 900 mL	Faktor Koreksi (Fk)	Kadar Terdisolusi (mg)	% Terdisolusi
15	0,3801	5,498	0,061	5,498	27,49 %
	0,3788				
	0,3797				
Rerata	0,3795				
30	0,5847	8,274	0,1529	8,335	41,67 %
	0,5849				
	0,5833				
Rerata	0,5843				
45	0,7246	10,181	0,266	10,334	51,67%
	0,7248				
	0,7256				
Rerata	0,7250				
60	0,8189	11,4606	0,393	11,726	58,63 %
	0,8202				
	0,8190				
Rerata	0,8194				
75	0,8512	11,907	0,525	12,30	61,50 %
	0,8522				
	0,8550				
Rerata	0,8528				

d. Kokristal 2:1 (ditimbang 24,04 mg)

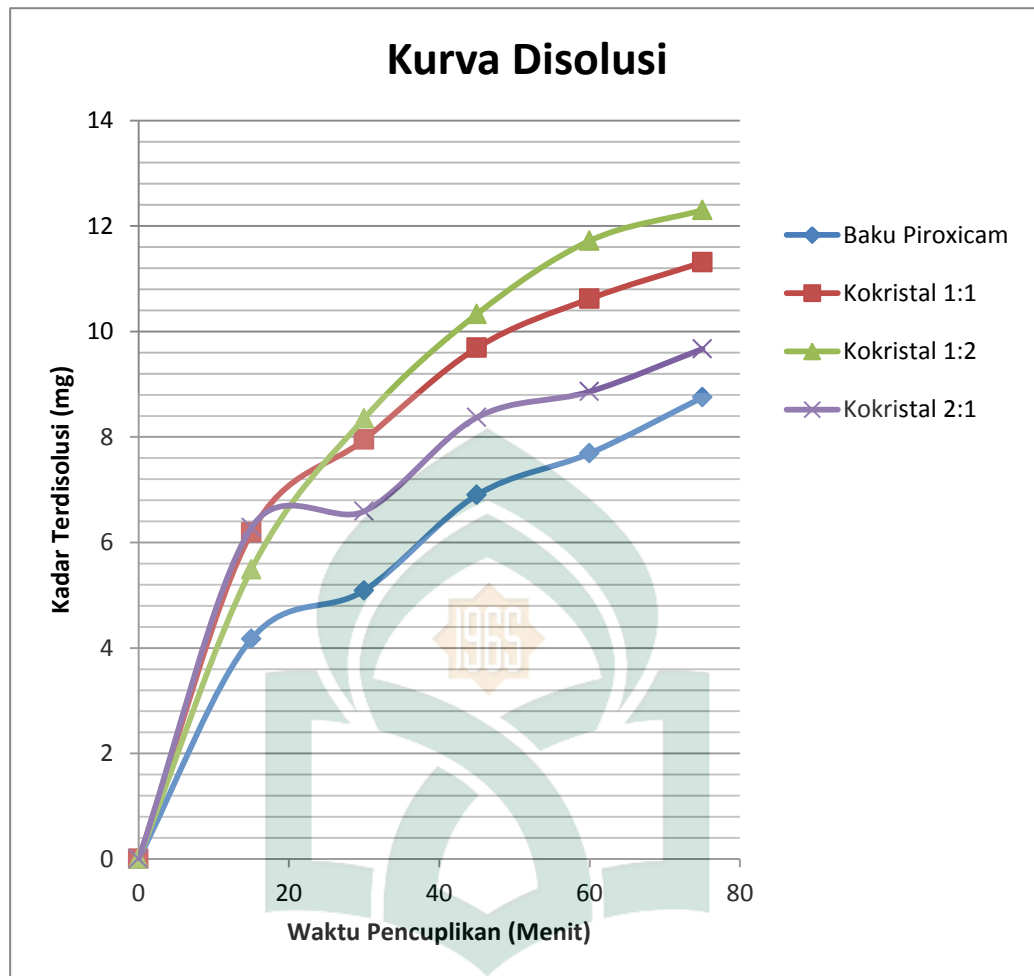
Tabel 10 : Hasil Uji Disolusi Piroksikam 2:1

Waktu (Menit)	Absorbansi	Kadar terlarut dalam 900 mL	Faktor Koreksi (Fk)	Kadar Terdisolusi (mg)	% Terdisolusi
15	0,4379	6,2847	0,0689	6,2847	31,42 %
	0,4364				
	0,4383				
Rerata	0,4375				
30	0,4552	6,521	0,1422	6,590	32,95 %
	0,4552				
	0,4544				
Rerata	0,4550				
45	0,5817	8,236	0,2337	8,379	41,89 %
	0,5799				
	0,5829				
Rerata	0,5815				
60	0,6110	8,631	0,3296	8,864	44,32 %
	0,6115				
	0,6100				
Rerata	0,6108				
75	0,6633	9,345	0,433	9,674	48,37 %
	0,6630				
	0,6635				
Rerata	0,6633				

e. Pembuatan kurva Disolusi

Tabel 11 : Kadar Piroksikam terdisolusi (mg)

Waktu (menit)	Kadar Terdisolusi (mg)			
	Piroksikam	Kokristal 1:1	Kokristal 1:2	Kokristal 2:1
0	0	0	0	0
15	4,17	6,19	5,49	6,28
30	5,09	7,95	8,35	6,59
45	6,90	9,69	10,33	8,37
60	7,69	10,62	11,72	8,86
75	8,75	11,31	12,30	9,67



Gambar 5: Kurva Disolusi Piroksikam, Kokristal 1:1; 1:2; dan 2:1

4. Karakterisasi Kokristal Piroksikam-Asam Malat (1:2)

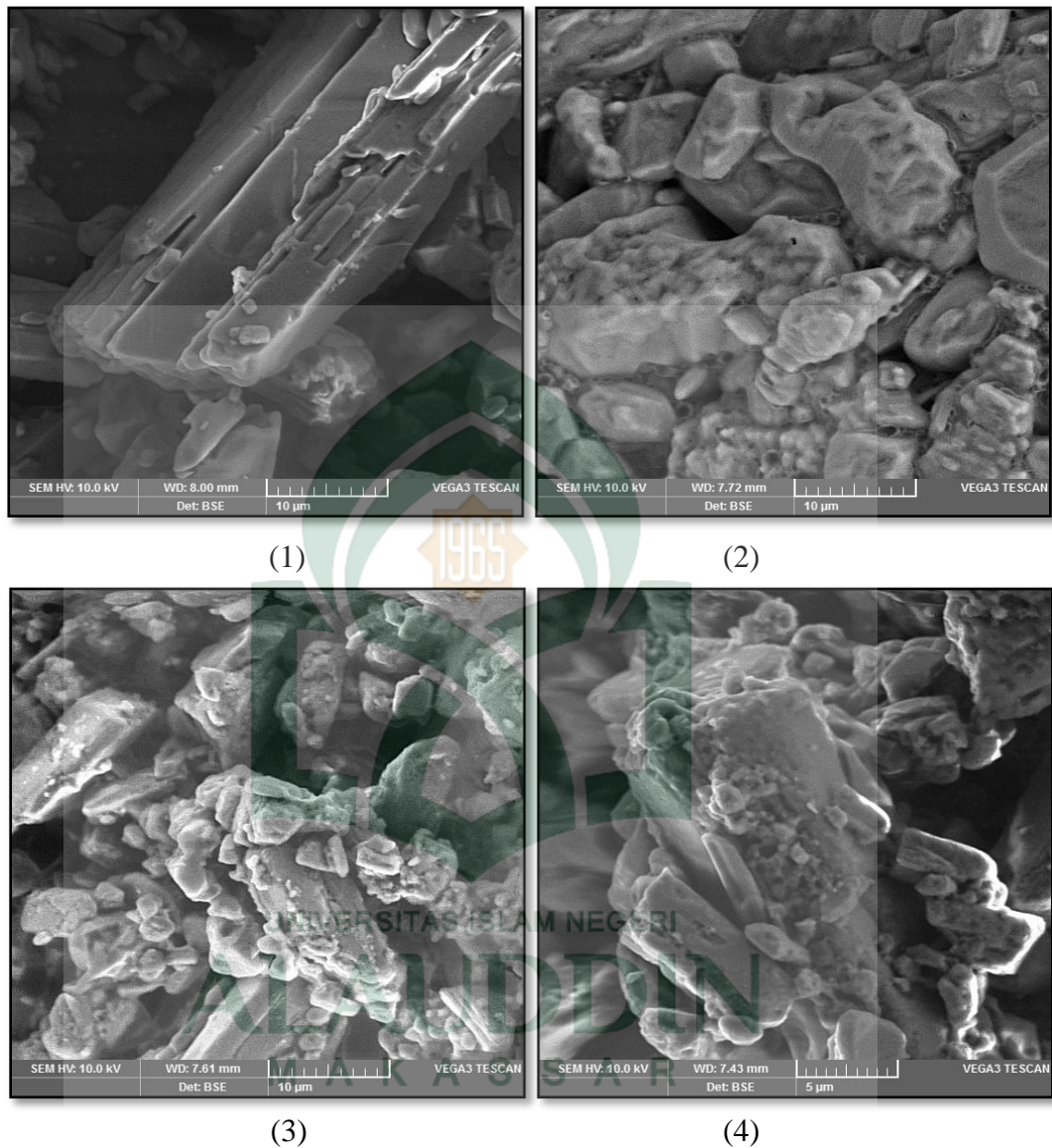
a. Pengamatan Makroskopik

Tabel 12 : Pengamatan Makroskopik Piroksikam baku, Asam Malat dan

Kokristal 1:2

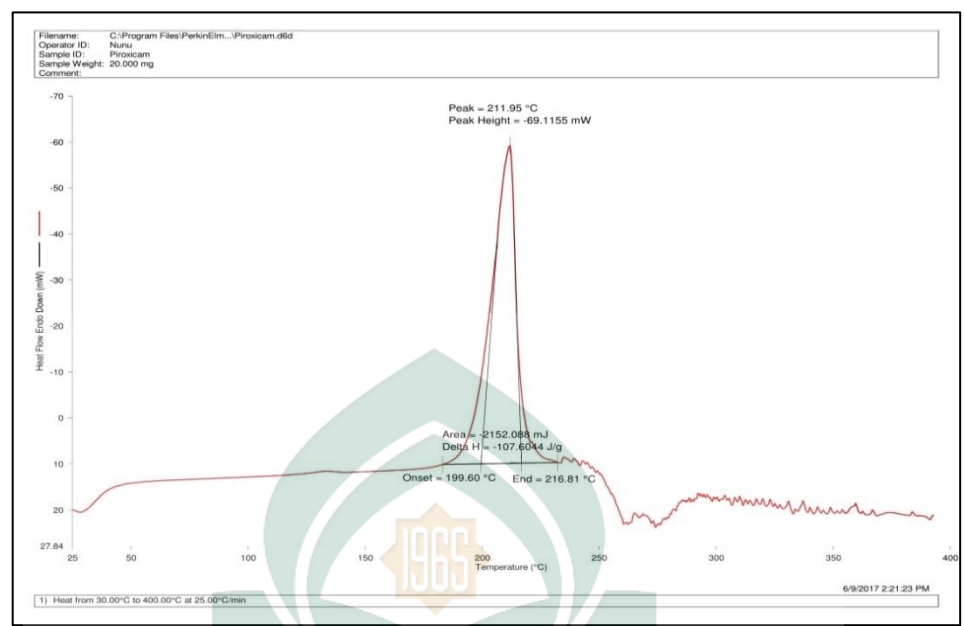
Karakterisasi Pengamatan	Bahan		
	Piroksikam	Asam Malat	Kokristal 1:2
Warna	Kuning	Putih	Kuning Pucat
Bau	Tidak berbau	Asam	Sedikit asam
Bentuk	Serbuk Halus	Granul	Serbuk Kristal

b. Hasil pemeriksaan dengan *Scanning Electron Microscope (SEM)*

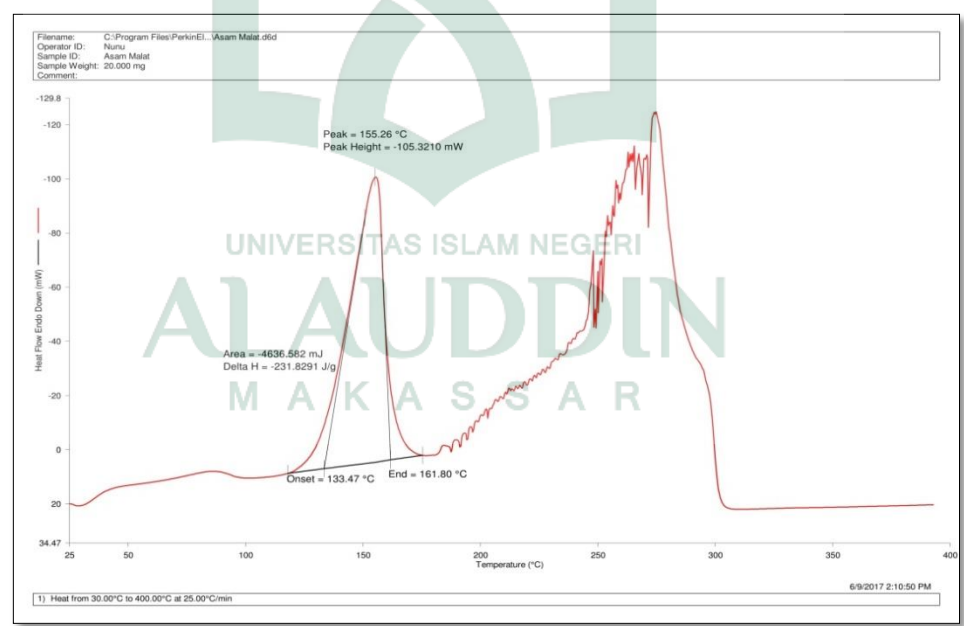


Gambar 6. Karakterisasi Kokristal menggunakan *SEM (Scanning Electron Microscope)* (1) Piroksikam berukuran 10 µm; (2) Asam Malat berukuran 10µm; (3) Kokristal ukuran 10 µm; dan (4) Kokristal berukuran 5µm

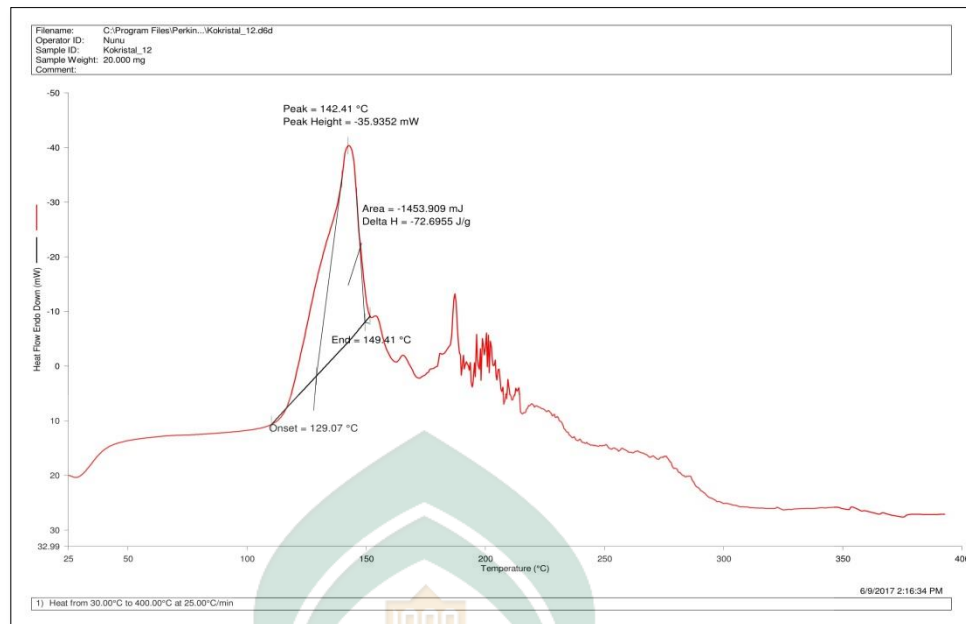
c. Hasil pemeriksaan dengan *Differential Scanning Calorimetry*



Gambar 7: Termogram Piroksikam standar

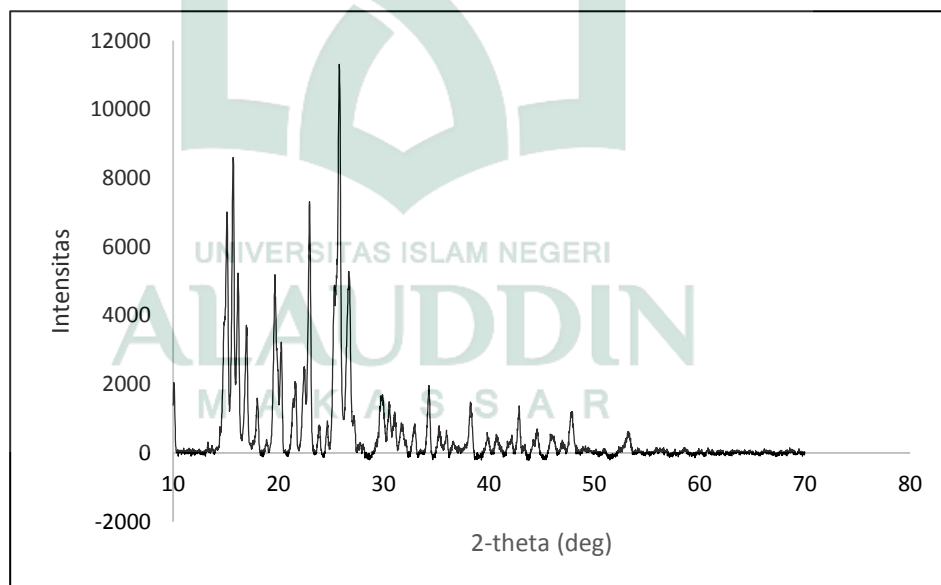


Gambar 8: Termogram Asam Malat

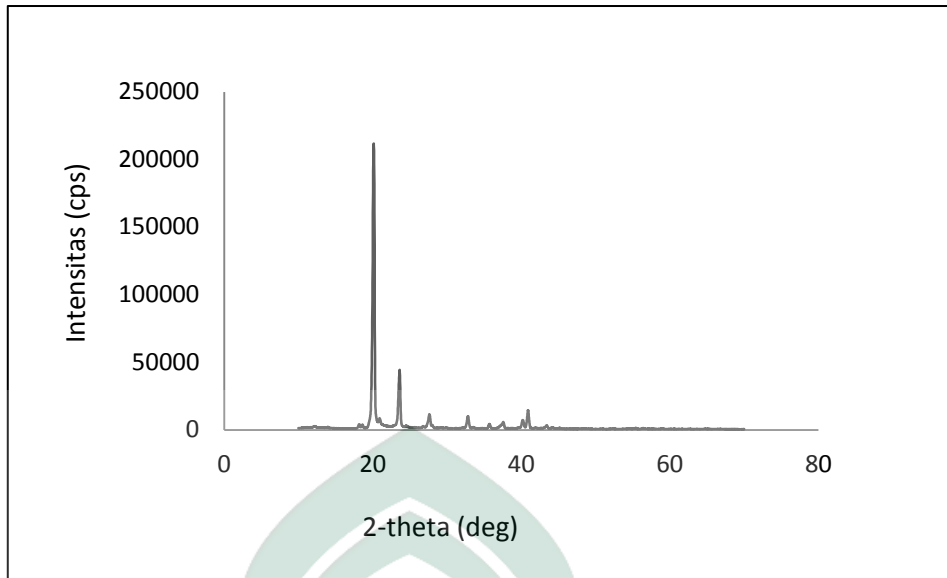


Gambar 9: Termogram Kokristal Piroksikam : Asam Malat (1:2)

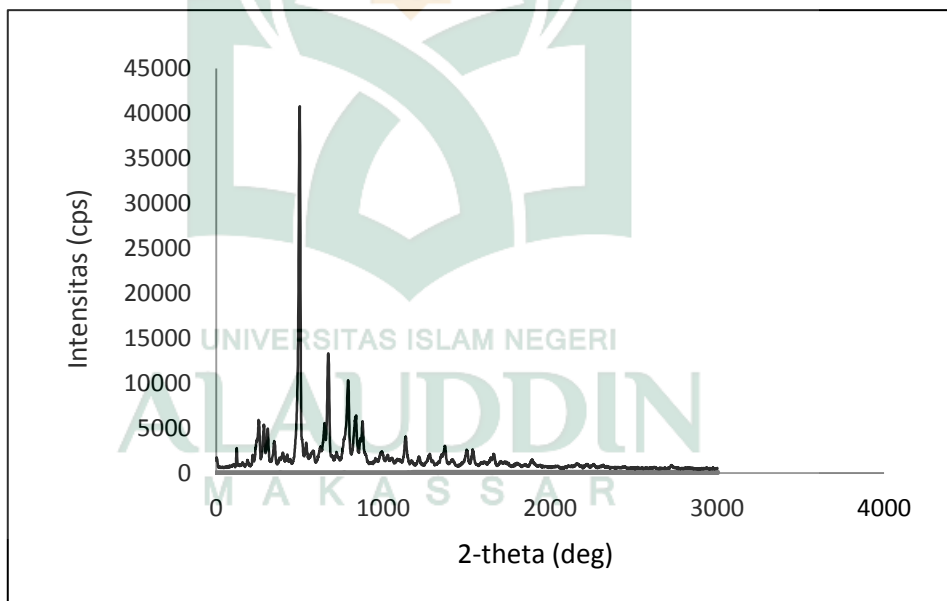
d. Hasil pemeriksaan dengan *X-Ray Diffractometry*



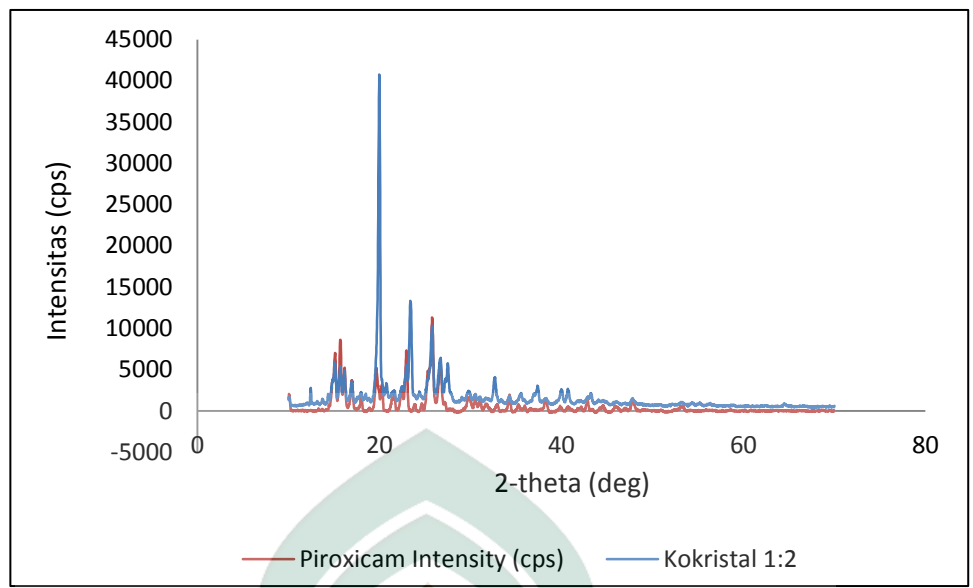
Gambar 10 : Difraktogram Piroksikam Standar



Gambar 11: Difraktogram Asam Malat

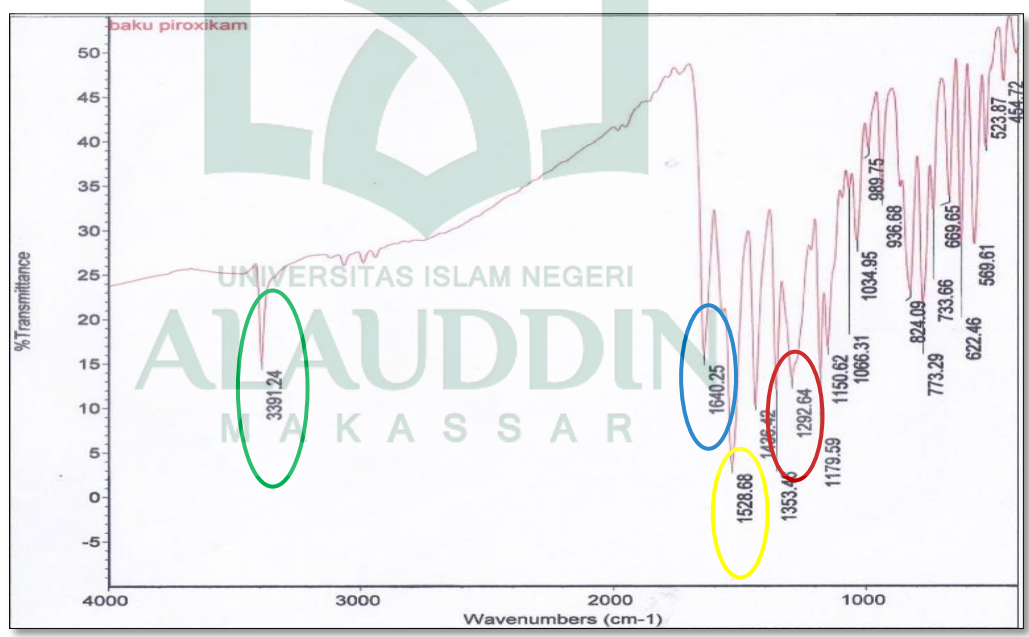


Gambar 12: Difraktogram Kokristal piroksikam : Asam Malat 1:2

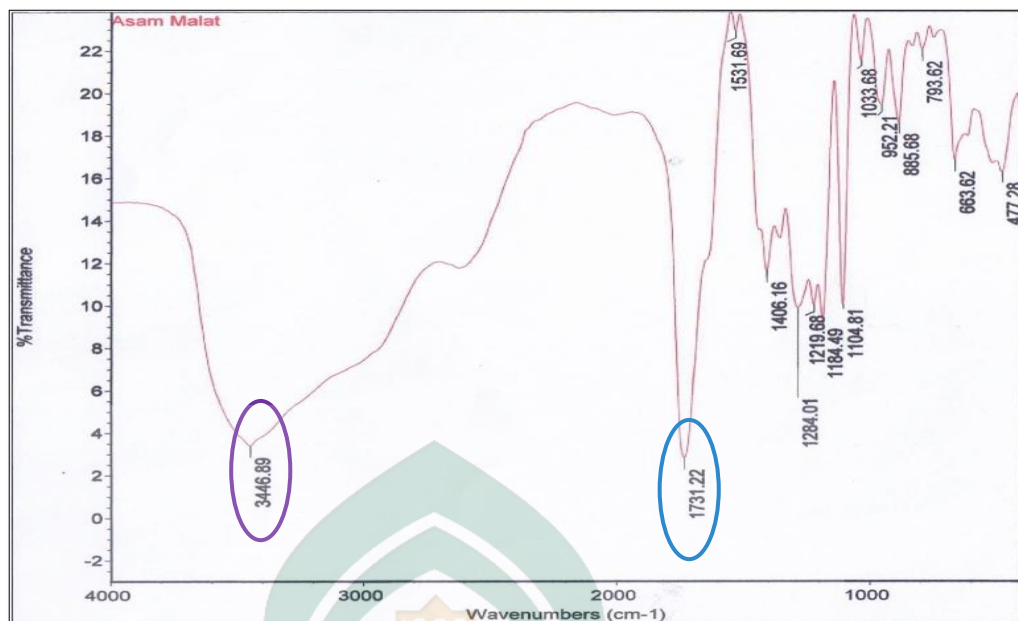


Gambar 13: Penumpukan Difraktogram Piroksikam Standar dan Kokristal piroksikam : Asam Malat 1:2

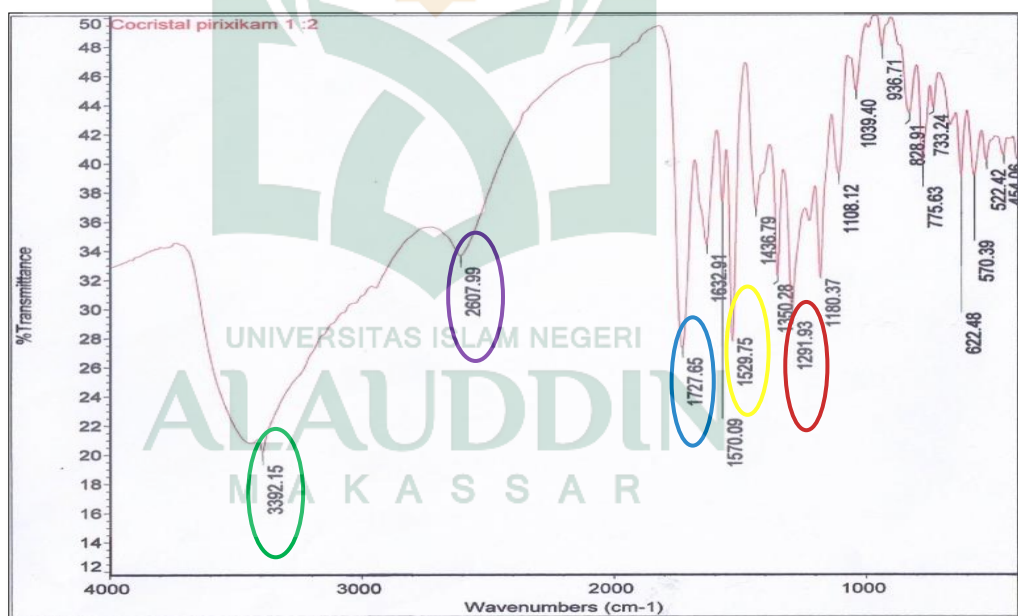
e. Hasil pemeriksaan dengan *Fourier Transform Infra-Red (FT-IR)*



(1)



(2)



(3)

Keterangan:

Hijau : Gugus NH *stretching*

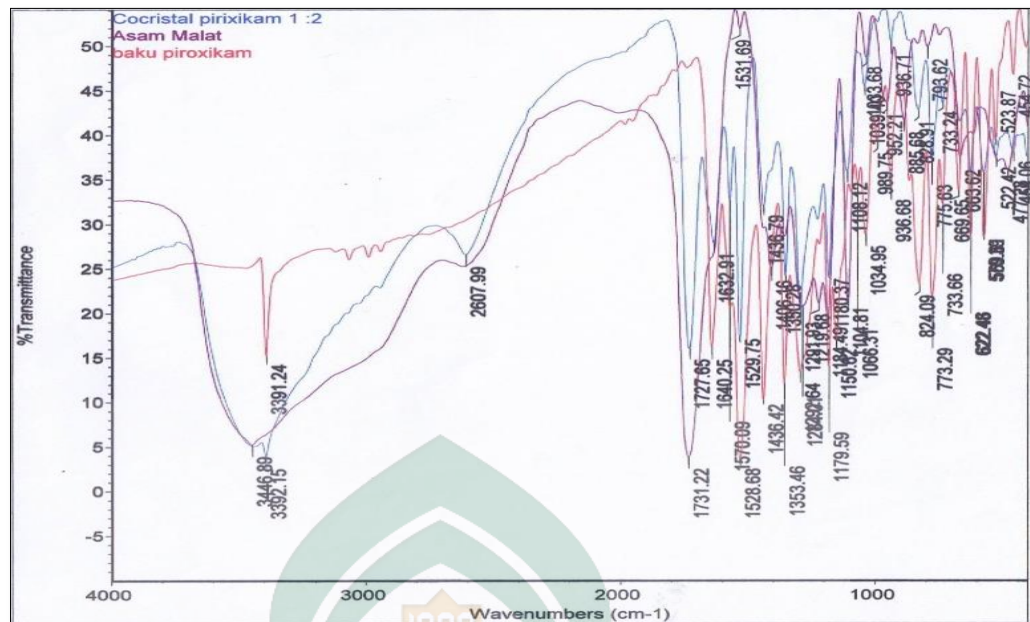
Biru : Gugus C = O

Kuning : Gugus NH *bending*

Merah : Gugus piridin

Ungu : Gugus OH

Gambar 14: Spektrum serapan inframerah (1) piroksikam, (2) asam malat, dan (3) kokristal 1:2



Gambar 15: Overlay Spektrum FT-IR Piroksikam standar, Asam Malat dan Kokristal 1:2

B. Pembahasan

Kokristal dapat didefinisikan sebagai kompleks kristal dari dua atau lebih konstituen molekul yang terikat bersama-sama dalam kisi kristal melalui interaksi *nonkovalen* terutama ikatan hidrogen. Pembentukan kokristal melibatkan penggabungan zat aktif obat dengan molekul lain yang dapat diterima secara farmasi dalam sebuah kisi kristal. Agen kokristalisasi dalam upaya peningkatan laju kelarutan harus memiliki sifat sebagai berikut; tidak toksik, dan inert secara farmakologi, dapat mudah larut dalam air, mampu berikatan secara *nonkovalen* contohnya ikatan hidrogen dengan obat, mampu meningkatkan kelarutan obat dalam air, kompatibel secara kimia dengan obat dan tidak membentuk ikatan kompleks dengan obat. Begitu pula dengan bahan aktif obat yang digunakan dalam kokristalisasi agar dapat membentuk suatu kokristal harus memiliki gugusan yang mampu berikatan secara *nonkovalen* dengan koformer. Fase multikristal yang dihasilkan akan

mempertahankan aktivitas intrinsik zat aktif obat namun disisi lain memiliki profit properti yang berbeda secara fisikokimia (Mirza, Miroshnyk, 2008).

Komponen dalam kokristal harus memiliki perbandingan stoikiometri yang jelas, dan bergabung dengan interaksi nonkovalen seperti ikatan hidrogen, ikatan ion, dan ikatan π - π atau ikatan *van der Waals* daripada interaksi ion. Umumnya kokristal dalam keadaan murninya adalah padat pada suhu ruang dan sesuai ketentuan, normalnya tidak termasuk garam. Kokristal dapat memiliki perbedaan dari kristal yang memiliki komponen tunggal. Lebih lanjut, kokristal memiliki struktur kristal yang berbeda dari komponen murninya (Ghadi Rohan, et.al, 2014).

Kokristal terbentuk dari campuran antara bahan aktif farmasetik dengan koformer yang tetap berbentuk padat dalam suhu kamar. Untuk membentuk kokristal, menurut (Chandramouli. 2012) selisih dari nilai pKa antara kedua komponen tidak lebih dari 2,7. Piroksikam memiliki nilai pKa 6,3 dan asam malat 5,05 (selisih 1,25), sehingga dapat diprediksikan bahwa dengan mereaksikan antara piroksikam dan asam malat, akan membentuk kokristal, bukan garam.

Piroksikam memiliki kelarutan yang praktis tidak larut dalam air (Sweetman: 2009); menurut *Biopharmaceutical Classification System*, Piroksikam digolongkan dalam kelas II yang memiliki kelarutan buruk dan permeabilitas membran yang baik sehingga memerlukan suatu upaya untuk meningkatkan kelarutannya. Berdasarkan struktur kimianya, piroksikam mengandung gugus amida dan piridin yang dapat berikatan hidrogen dengan gugus asam karboksilat pada asam malat membentuk supramolekular *heterosynthon*.

Metode yang digunakan dalam pembentukan kokristal adalah *solvent drop grinding*, dengan mencampurkan bahan aktif piroksikam dan asam malat dalam lumpang, kemudian penambahan sejumlah kecil pelarut dalam proses

pencampurannya. Penambahan sedikit pelarut dapat meningkatkan laju pembentukan kokristal (Qiao, Li, Schlindwein.2011) Pelarut yang digunakan dalam metode ini harus dapat melarutkan minimal salah satu komponen dalam kokristal.

Pada penelitian ini dilakukan pembentukan kokristal piroksikam-asam malat dengan perbandingan molar 1:1, 1:2, 2:1 dan 1:0. Perbandingan 1:0 dimaksudkan sebagai pembanding karena dibentuk tanpa penambahan koformer, yaitu tanpa adanya penambahan asam malat. Sebagai skrining awal, dilakukan uji disolusi terhadap ketiga kokristal yang dibentuk dengan piroksikam *Pharmaceutical Grade* sebagai pembandingnya.

Teknik kristalisasi melibatkan modifikasi kristal dari suatu bahan padat dengan perubahan interaksi intermolekuler yang mengatur pemecahan dan pembentukan ikatan non-kovalen, seperti ikatan hidrogen, interaksi van der Waals, tumpukan π , interaksi elektrostatik, dan ikatan halogen (Qiao dkk, 2011)

Setelah kokristal terbentuk, selanjutnya dilakukan penyiapan media disolusi. Media disolusi yang digunakan adalah media asam lambung buatan tanpa pepsin dengan pH 1,2 (Dirjen POM, 1979) yang dibuat dari HCl P 37% dengan mengencerkan 5,80 mL HCl P dalam 1000 mL pelarut (0,07 M) kemudian dilakukan pengukuran pH secara saksama dengan penambahan sedikit demi sedikit pelarut hingga mencapai pH 1,2.

Selanjutnya dilakukan pembuatan larutan stok piroksikam standar dengan melarutkan 10 mg bahan baku dalam 100 mL (100 bpj). Oleh karena piroksikam praktis tidak larut dalam air, maka untuk membantu kelarutannya digunakan magnetik stirer dengan kecepatan konstan 60 rpm pada suhu ruang. Setelah larut, dibuat deret konsentrasi piroksikam 2,5 bpj, 5 bpj, 7,5 bpj, 10 bpj dan 12,5 bpj. Kemudian diukur panjang gelombang maksimum larutan baku piroksikam 5 bpj pada

spektrofotometer UV-Vis dengan *range* 200-800 nm dan didapatkan panjang gelombang maksimum 333,9 atau 334 nm. Menurut Florey (1986), panjang gelombang maksimum yang terukur pada piroksikam dengan asam klorida sebagai blankonya adalah 339 nm dan 242 nm. Pada pengukuran, absorbansi pada panjang gelombang 333,9 nm sebesar 0,305 dan pada panjang gelombang 240 nm memiliki absorbansi 0,157.

Setelah didapatkan nilai panjang gelombang maksimum piroksikam, selanjutnya dilakukan pengukuran absorbansi deret konsentrasi 2,5 bpj, 5 bpj, 7,5 bpj, 10 bpj dan 12,5 bpj kemudian dibuat kurva baku piroksikam (gambar 4) dengan persamaan garis $y = 0,0664x - 0,0262$ dengan nilai koefisien korelasi ($r = 0,99969995$ (koefisien determinasi ($r^2 = 0,9994$), (Simbol y menunjukkan absorbansi dan x menunjukkan konsentrasi).

Selanjutnya dilakukan uji disolusi secara *in-vitro* pada Kokristal 1:1, 1:2 dan 2:1 serta baku piroksikam dengan mengukur kadar terlarut dari sampel pada menit ke 15, 30, 45, 60 dan menit ke 75. Pengujian dilakukan dengan tujuan untuk mengetahui kadar kokristal yang terlarut dibandingkan dengan baku piroksikam, apakah terjadi peningkatan kelarutan atau tidak.

Analisis disolusi dilakukan dengan menggunakan metode *Basket* (keranjang) dalam labu disolusi menggunakan 900 mL media disolusi dengan kecepatan dan waktu yang relatif konstan ($37^{\circ}\text{C} \pm 0,5^{\circ}\text{C}$ dan kecepatan 50 rpm). Sampel terdisolusi dicuplik pada menit ke 15, 30, 45, 60 dan 75, kemudian masing-masing hasil pencuplikan diukur absorbansinya dengan menggunakan spektrofotometri *UV-Vis* pada λ_{Max} 334 nm (panjang gelombang maksimum dari baku piroksikam sebagai pembanding). Setiap pengambilan larutan contoh, segera ditambahkan kembali media disolusi ke dalam labu disolusi dengan volume yang sama. Pengambilan

cuplikan dilakukan pada posisi yang sama yaitu pada pertengahan antara permukaan media disolusi dan bagian atas dari keranjang tidak kurang 1 cm dari dinding wadah menggunakan pipet khusus disolusi. Dilakukan perlakuan yang sama terhadap kokristal dengan berat setara 20 mg piroksikam.

Berdasarkan hasil uji disolusi pada Gambar 5 terlihat bahwa terjadi peningkatan kelarutan pada semua kokristal namun peningkatan laju disolusi paling tinggi ditunjukkan oleh kokristal dengan perbandingan 1:2. Baku piroksikam menunjukkan laju disolusi yang relatif linear ($R^2=0,9093$), Kokristal 1:1 menunjukkan nilai koefisien determinasi $R^2 = 0,8042$, Kokristal 1:1 dengan nilai koefisien determinasi ($R^2=0,8917$) dan Kokristal 2:1 dengan nilai koefisien determinasi ($R^2=0,7802$), dari ketiga kokristal yang dibuat, kokristal 1:2 memiliki laju disolusi linear dan menunjukkan terjadinya peningkatan kadar sampel terdisolusi dibandingkan dengan piroksikam standar. Perbedaan persentase terlarut dari kokristal disebabkan karena perbedaan rasio stoikiometri piroksikam dan asam malat yang digunakan. Kokristal dapat berada pada rasio stoikiometri komponen yang berbeda dalam kisi. Perbedaan rasio tersebut menyebabkan perbedaan sifat fisika-kimia kokristal yang spesifik (Thakuria, 2013).

Peningkatan laju disolusi merupakan salah satu tujuan utama dari pembentukan kokristal, namun untuk membuktikan terbentuknya kokristal dari bahan yang direaksikan, maka perlu dilakukan karakterisasi lebih lanjut terhadap kokristal yang menunjukkan laju disolusi paling baik. Karakterisasi yang dilakukan berupa analisis termal menggunakan *DSC (Differential Scanning Calorimetry)*, uji kristalografi menggunakan *XRD (X-Ray Diffractometry)*, uji morfologi partikel menggunakan *SEM (Scanning Electron Microscope)*, dan analisis gugus fungsi menggunakan Spektroskopi *FT-IR (Fourier Transform Infrared)*.

Sebagai langkah skrining awal dilakukan pengamatan dengan menggunakan mikroskop optik untuk mengamati materi kristal berukuran kecil, namun mikroskop optik dengan pembesaran 10x, dan 40x tidak menunjukkan permukaan kristal dengan jelas, sehingga perlu dilakukan karakterisasi permukaan lebih lanjut dengan menggunakan *SEM (Scanning Electron Microscope)*.

Hasil pemeriksaan dengan *SEM* terhadap piroksikam standar, asam malat dan kokristal terlihat pada (Gambar 6), gambar (1) merupakan bentuk kristal dari piroksikam, gambar (2) merupakan bentuk permukaan dari asam malat, gambar (3) dan (4) merupakan bentuk permukaan dari hasil kokristalisasi dari piroksikam dan asam malat, pada gambar permukaan kokristal terlihat adanya perubahan struktur permukaan dari kedua bahan pembentuknya. Menurut (Amelinchx, et.al. 1997) reaksi kokristalisasi menyebabkan terjadinya reduksi ukuran partikel, sebagai akibat dari rusaknya kisi kristal dan terbentuknya fase amorf. Fase amorf inilah yang kemudian membentuk fase kristalin baru. Terbentuknya fase kristalin baru mengindikasikan terjadinya ikatan fisika-kimia antara piroksikam dan asam malat dalam fase kokristal.

Analisis termal dilakukan pada piroksikam standar, asam malat, dan kokristal piroksikam:asam malat 1:2. Analisis termal digunakan untuk menentukan pembentukan kokristal dari informasi yang didapatkan berupa sifat peleburan serta fenomena polimorfisme.

Termogram piroksikam standar menunjukkan puncak eksotermik yang tajam pada suhu 211,95 °C dengan onset peak 199,60 °C dan puncak endotermik pada 216,81°C, termogram asam malat berada pada puncak eksotermik 155,26 °C dengan onset peak 133,47°C dan puncak endotermik pada 161,80°C dan termogram kokristal 2:1 menunjukkan puncak eksotermik 142,41 °C dengan onset peak 129,07°C dan puncak endotermik pada 149,41°C. Berdasarkan data tersebut diketahui bahwa pada

kokristal 1:2 terjadi pergeseran titik leleh menjadi lebih rendah dibandingkan dengan piroksikam standar, yaitu sebesar 142,41 °C. Menurut penelitian sebelumnya, bahan yang memiliki bentuk polimorfisme dapat meleleh pada suhu 162-175 °C (Syarifah, 2016), titik lebur kokristal berada diantara titik lebur bahan aktif atau koformer, atau berada di bawah bahan aktif dan koformer. Hal tersebut ditunjukkan oleh korelasi antara titik lebur dan kelarutan, di mana titik leleh yang besar menyebabkan kelarutan pada kokristal menjadi buruk dan adanya penurunan suhu lebur pada kokristal dipengaruhi oleh upaya peningkatan kelarutan bahan dengan kokristalisasi (Qiao, 2011).

Analisis termal menggunakan *DSC* juga dapat menunjukkan besar energi leburan untuk meleburkan sampel. Piroksikam standar membutuhkan energi peleburan sebesar 107,6044 J/g, asam malat sebesar 231,8291 J/g, dan kokristal 2:1 memiliki energi peleburan yang paling kecil, yaitu sebesar 72,6955 J/g.

Energi peleburan dan titik lebur senyawa berbanding terbalik dengan logaritma kelarutan (Qiao, 2011). Berdasarkan teori tersebut, menurunnya energi peleburan dan titik lebur pada kokristal 2:1 menunjukkan adanya peningkatan kelarutan.

Uji kristalografi dilakukan terhadap kokristal yang terbentuk, asam malat dan baku piroksikam sebagai pembandingan dengan menggunakan instrumentasi *XRD* (*X-Ray Diffractometry*). Pengukuran *XRD* dilakukan untuk *verifikasi* terbentuknya kokristal pada padatan antara kedua komponen kokristal, piroksikam dan asam malat. Uji dilakukan untuk mengidentifikasi suatu bentuk kristal, dengan membandingkan letak, dan intensitas garis pada difraktogram terhadap garis pada foto sampel yang diketahui (Qiao, et.al. 2011). Difraksi sinar-X merupakan metode yang handal untuk karakterisasi interaksi padatan antara dua komponen padat (*solid state interaction*),

apakah terbentuk fase kristalin baru atau tidak. Jika terbentuk fase kristalin baru dari hasil interaksi antara kedua komponennya, maka akan teramati secara nyata dari difraktogram sinar-X yang berbeda antara komponen tunggal dan komponen campurannya (Trask and Jones: 2005).

Pada difraksi kokristal piroksikam:asam malat, menunjukkan beberapa puncak yang khas yang dapat dilihat pada gambar 11, kemudian pada gambar 12 dapat dilihat terjadinya pergeseran posisi puncak dan intensitas puncak yang terbentuk. Pola difraksi antara piroksikam dan kokristal Piroksikam: Asam Malat 1:2, pada puncak $10, 2\theta ; 20.277$ (piroksikam) menunjukkan intensitas 20.29(82) cps. Pada daerah $2\theta 19.973$ (Kokristal) menunjukkan peningkatan intensitas puncak yang sangat drastis hingga 27.743 (304) cps. Selain pada puncak 10, pada kokristal 1:2 terjadi peningkatan intensitas puncak pada ke 15 ($2\theta; 23.407$), 18 ($2\theta; 27.247$) serta ditemukan pergeseran puncak yang berupa puncak baru pada 20 ($2\theta; 27.497$) dan pada 29 ($2\theta; 37.36$).

Difraktogram yang dihasilkan menunjukkan terbentuknya kokristal piroksikam : asam malat hasil kokristalisasi dengan menggunakan metode *solvent drop grinding* karena ditemukan adanya pergeseran intensitas puncak dan juga ditemukannya puncak baru.

Berdasarkan persamaan bravais, terdapat tujuh bentuk umum dari sistem kristal, yang didapatkan dengan membandingkan antara panjang sisi dan besaran sudut yang didapatkan melalui pemeriksaan *XRD* yaitu bentuk kubik, tetragonal, ortotrombik, trigonal, heksagonal, monoklinik dan triklinik (Waseda, 2011)

Hasil identifikasi kisi kristal permukaan piroksikam Standar menunjukkan dua kisi Ortotrombik dan dua kisi Heksagonal; kisi Ortotrombik menunjukkan adanya perbedaan pada panjang sisi a, b dan c dan sudut ruang alpha (α), beta (β), dan

gamma (γ) sebesar 90°C , sedangkan kisi heksagonal menunjukkan persamaan $a=b\neq c$ dan sudut alpha (α) dan beta (β) sebesar 90°C dan sudut gamma (γ) sebesar 120°C . Identifikasi kisi permukaan kokristal menunjukkan adanya kisi heksagonal, Ortotrombik dan triklinik, hasil pemeriksaan menunjukkan terbentuknya suatu kisi kristal yang baru yaitu kisi triklinik. Kisi triklinik ini menunjukkan adanya perbedaan pada sisi a, b dan c dan sudut alpha (α), beta (β) dan gamma (γ) pun berbeda.

Berdasarkan penelitian sebelumnya proses pembentukan kokristal menyebabkan perubahan pola *XRD* yang akan memperlihatkan beberapa puncak yang baru dan perubahan *peak* yang mengindikasikan terbentuknya formasi kokristal (Triani, 2012).

Intensitas relatif dari puncak difraktogram tidak menjadi batasan dari pola difraksi sinar-X karena intensitas puncak dapat bervariasi dari masing-masing sampel, terutama dalam hal kemurnian kristalin. Difraksi sinar X belum mampu memberikan informasi posisi ikatan hidrogen sebenarnya, sehingga perlu dilakukan teknik lain untuk mengetahui posisi dari ikatan hidrogen, misalnya dengan *FT-IR* atau NMR.

Spektroskopi inframerah sangat membantu dalam mendeteksi adanya pembentukan kokristal. Spektroskopi inframerah memberikan informasi adanya interaksi pembentukan ikatan hidrogen dari gugus-gugus donor dan akseptor ikatan hidrogen antara dua senyawa yang dikokristalkan. Hal ini dapat ditunjukkan dengan membandingkan puncak spektrum dari gugus donor dan akseptor ikatan hidrogen senyawa murni dengan puncak spektrum setelah terbentuk kokristal.

Hasil pemeriksaan *FT-IR* pada gambar 13 (1) menunjukkan adanya *peak* pada puncak 3321,4 berupa *peak* tunggal, *peak* ini menunjukkan adanya gugus NH pada baku piroksikam berupa amin sekunder, selanjutnya pada ($1750 - 1625\text{cm}^{-1}$) terdapat

puncak pada 1640,25. Munculnya peak ini menunjukkan adanya ikatan karbonil (C=O) pada baku piroksikam. Selanjutnya muncul peak pada 1528,68 menunjukkan gugus NH bending, dan peak pada 1262,64 yang menunjukkan adanya gugus piridin. Pada gambar 13 (2) yang merupakan hasil pemeriksaan *FT-IR* dari asam malat, menunjukkan adanya puncak lebar pada daerah 3500-2500 cm^{-1} yaitu pada 3446,89 cm^{-1} , peak ini menunjukkan adanya gugus OH dalam senyawa, juga ditemukan puncak pada daerah 1755-1691 cm^{-1} yaitu pada 1731,22 cm^{-1} yang menunjukkan adanya gugus karbonil (C=O). Pada gambar 13 (3), terlihat adanya interaksi antara piroksikam dan asam malat berupa ikatan hidrogen. Hal ini ditandai dengan adanya peak NH pada 3392,15 cm^{-1} dan OH pada 2607,99 cm^{-1} . Terjadinya pergeseran pita absorpsi C=O ke frekuensi yang lebih rendah dari 1731,22 menjadi 1727,65 cm^{-1} dan dari 1292,64 cm^{-1} menjadi 1291,93 cm^{-1} . Hal ini menandakan terbentuknya ikatan hidrogen yang diharapkan, gugus C=O dari Amida (pada piroksikam) menunjukkan pergeseran bilangan gelombang ke arah yang lebih besar karena terjadi ikatan hidrogen *supramolekular heterosynthon* antara gugus amida pada piroksikam dan gugus karboksilat pada asam malat sehingga senyawa yang dibentuk menjadi lebih stabil dan energi yang diperlukan untuk bervibrasi menjadi lebih besar.

Selain itu juga terjadi peningkatan intensitas puncak dari NH yaitu dari 3391,24 cm^{-1} menjadi 3392,15 cm^{-1} dan penurunan intensitas puncak OH dari 3446,89 cm^{-1} menjadi 2607,99 cm^{-1} .

Berdasarkan pengujian secara keseluruhan, dapat disimpulkan bahwa dengan pembentukan kokristal antara piroksikam dan Asam Malat, menyebabkan terbentuknya kokristal yang mampu meningkatkan laju disolusi piroksikam hingga mencapai persen terdisolusi 61,5%. Terbentuknya kokristal didukung oleh pengamatan *SEM* yang menunjukkan terbentuknya fase kristalin baru, selain itu

terjadinya pergeseran titik leleh menjadi lebih rendah mengonfirmasi terjadinya peningkatan kelarutan akibat terbentuknya fase kokristal. Data difraksi sinar-X menunjukkan terjadinya pergeseran puncak peak dan munculnya peak baru yang mengindikasikan terbentuknya kisi kristal pada permukaan. Hal ini juga dikonfirmasi dengan pemeriksaan gugus fungsi dengan *FTIR* yang menunjukkan terbentuknya ikatan Hidrogen *supramolekuler* dengan terjadinya pergeseran puncak ikatan.



BAB V

PENUTUP

A. Kesimpulan

Dari hasil penelitian yang telah dilakukan, dapat disimpulkan bahwa:

1. Kokristal piroksikam dapat terbentuk dengan menggunakan asam malat sebagai koformer melalui metode *solvent drop grinding*.
2. Karakteristik kokristal piroksikam dengan menggunakan asam malat sebagai koformer menunjukkan pembentukan fase kristal yang baru ditandai dengan penurunan titik lebur pada kokristal 1:2, terjadinya perubahan pola difraksi sinar-X oleh kisi kristal, serta teridentifikasi gugus yang menandai terjadinya ikatan hidrogen *supramolekuler heterosynthon*.
3. Pembentukan kokristal 1:2 menunjukkan kelarutan yang lebih besar dibandingkan kokristal yang lainnya dan piroksikam sebagai pembanding, dengan peningkatan kelarutan mencapai 1,405 kali lebih besar daripada piroksikam standar.

B. Implikasi Penelitian

1. Perlu dilakukan penelitian lebih lanjut mengenai perbandingan antar metode dalam pembentukan kokristal.
2. Perlu dilakukan penelitian lebih lanjut mengenai pembentukan kokristal piroksikam menggunakan koformer yang berbeda dan metode kerja yang berbeda.
3. Perlu dilakukan penelitian lebih lanjut mengenai potensi pengembangan kokristal menjadi bentuk sediaan tablet dan sediaan transdermal dengan mempertimbangkan permeabilitas membrane yang baik.

DAFTAR PUSTAKA

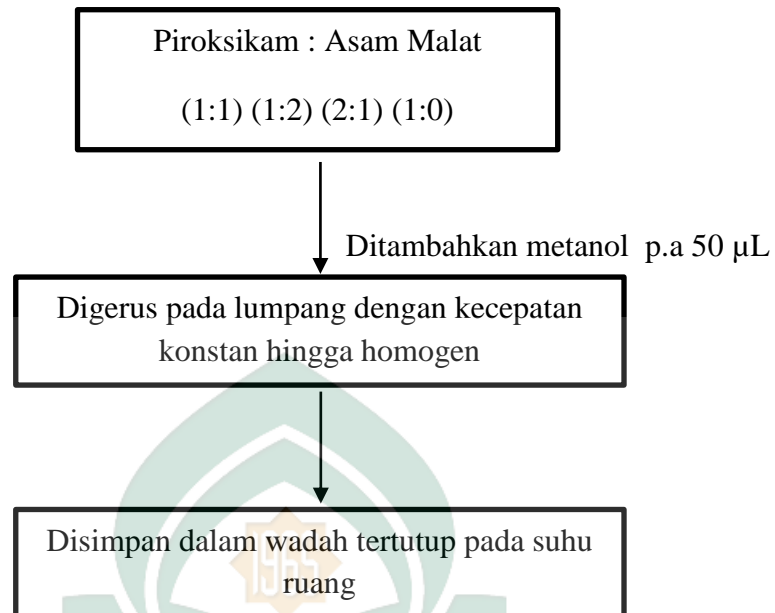
- Agoes, Goeswin. *Pengembangan Sediaan Farmasi. Edisi Revisi dan Perluasan*. Penerbit ITB : Bandung. 2008
- Aiache, J.M. *Farmasetika II Biofarmasi. Edisi ke-2*. Penerjemah: Dr. Widji Soeratri. Surabaya: Penerbit Airlangga University Press. 1993.
- Alatas, Fikri. et.al. *Co-crystal Formation between Didanosine and Two Aromatic Acid Vol. 5. Suppl 3*. Int J Pharm Pharm Sci. 2013.
- Al-Hafidz Ibnu Katsir Ad-dimasyqy. *Tafsir Ibnu Katsir*, Bairut; Darul Kutub Ilmiah. 2004.
- Amelinckx S, Dyck D. Van, Landuyt J. Van, and Tendeloo J. Van. *Electron Microscopy Principles and fundamentals*. Weinheim Germany: VCH verlegsgesellschaft mbH. 1977.
- Ansel, H. C. *Pengantar Bentuk Sediaan Farmasi, Edisi Keempat*, terjemahan Ibrahim dan Farida, Universitas Indonesia Press, Jakarta. 1989.
- Ansel, C Howard. *Pengantar bentuk sediaan farmasi*. Jakarta: UI Press. 1990.
- Archana R Jadhav, Yogesh Pore. *Physicochemical and Micromeritic Studies on Fenofibrate Co-Crystals*. Maharashtra: Department of Pharmaceutical Chemistry. 2016
- Basset, J., R. C. Denney, G.H Jeffrey, J. Mendhom. *Buku Ajar Vogel Kimia Analisa Kuantitatif Anorganik*. Jakarta : EGC. 1994.
- Billmayer, Fred. A. *Textbook of polymer science 3rd edition*. New York. John Willey & Sons Inc. 1984.
- BS, Sekhon. *Drug-drug Co-crystal. Journal of pharmaceutical science Vol. 20*. 2012.
- BS, Sekhon. *Pharmaceutical Co-crystal : a review*. Institute of pharmacy: India. Ars Pharm Vol. 50. 2009.
- Byrn S.R., Pfeiffer RR, and Stowell JG. *Solid state Chemistry of Drugs 2nd edition*. SSCI, West Lafayette IN. 1999.

- Chandramouli, Yerram, R. Gandhimathi, B. Rubia yasmeen, Amaravathi Vikram, B. Mahitha, S.M. Imroz. *Review On Cocrystal As An Approach With Newer Implications In Pharmaceutical Field*. IJMCA / Vol 2 / Issue 2. 2012.
- Cheney, Miranda L. *The Role of Cocrystals in Solid-State Synthesis of Imides and the Development of Novel Crystalline Forms of Active Pharmaceutical Ingredients*: University of South Florida. Scholar Commons. 2009.
- Clarke, Shirley. *Analisis of Drug poisons*: Pharmaceutical Press. London. 2005
- Departemen Agama RI. *Al-Qur'an dan Terjemahan*. Jakarta: Kementerian Agama. 2014.
- Direktorat Jenderal POM. *Farmakope indonesia edisi III*. Jakarta: Departemen Kesehatan RI. 1979.
- Direktorat Jenderal POM. *Farmakope indonesia edisi IV*. Jakarta: Departemen Kesehatan RI. 1995.
- Direktorat Jenderal POM. *Farmakope indonesia edisi V*. Jakarta: Departemen Kesehatan RI. 2015.
- Dessale, Pritam K. *A Novel Method: Co-crystallisation*. Medway School of Science, University of greenwich, Medway Campus, Chatam Maritime: Kent UK. 2013
- Dhumal, Ravindra, Kelly A.L, York Peter, Coates P.D, Paradkar, Anant. *Crystallisation and Stimultaneous Agglomeration Using Hot Melt Extrussion*. Journal Pharm Research 27. 2007.
- Gandjar, Galib.H., dan Rohman, Abdul. *Kimia Farmasi Analisis*. Pustaka Pelajar: Yogyakarta. 2013.
- Ghadi, Rohan. Aditya Ghuge, Suchita Ghumre, Nilkamal Waghmare, Dr. Vilasrao J Kadam. *Co-crystals: Emerging Approach In Pharmaceutical Design*. National Institute of Pharmaceutical Education and Research. 2014.
- Gozali, Dolih., Dewi Rusmiati & Priyanka Utama., 2012, *Formulasi dan Uji Stabilitas Mikroemulsi Ketokonazol sebagai Antijamur Candida albicans dan Tricophyton mentagrophytes*, Fakultas Farmasi, Universitas Padjadjaran, Jatinangor

- Higuchi, W.I, Mechanism of Sustained Action Medication: *Theoretical Analysis of Rate of Release of Solid Drugs Disperse in solid matrices*, J. Pharm. Sci. 1963.
- Hortsman, Elizabeth, Sachit Goyal, Ashtamurthy Pawate, Garam Lee, Geoff G. Z. Zhang, Yuchuan Gong, and Paul J. A. Kenis, *Crystal structure of a 2:1 piroxicam–gentisic acid co-crystal featuring neutral and zwitterionic piroxicam molecules*. Crystal Growth & Design. ACS Publication. 2015.
- Jalali, Barzegar, Saeed Ghanbarzadeh, Khosro Adibkia, Hadi Valizadeh, Siamak Bibak Ghobad Mohammadi, Mohammad Reza Siahi-Shadbad. *Development and characterization of solid dispersion of piroxicam for improvement of dissolution rate using hydrophilic carriers*. TOUMS Publishing Group. 2014.
- Kerns EH, Di L, Carter GT, *In Vitro Solubility Assays in Drug discovery*. Wyeth Research: NJ USA. 2008.
- Kotak, Ushma. Vipul Prajapati, Himanshu Solanki, Girish Jani and Pritesh Jha. *Co-Crystallization Technique Its Rationale and Recent Progress*. World Journal of Pharmacy and Pharmaceutical Sciences. 2015
- Knuf, Christoph. *Malic acid production by Aspergillus oryzae: Department of Chemical and Biological Engineering*. Gothenburg, Sweden. 2014
- Lachman, Leon. Herbert A, Leiberman, Joseph L. Kanigh. *The Theory and Practice of Industrial Pharmacy 2nd edition*. Lea and Fabriger: Philadelphia.1970
- Lidwa, Pusaka. *Ensiklopedi Hadist 9 Imam*. app.lidwa.com: 2011
- Leuner C, Dressman J. *Improving Drug Solubility for oral delivery using solid dispersion: Eur J Pharm Biopharm*. 2000
- Martin, A.J Swarbrick & A Cammarata. *Physical Pharmacy 1st and 2nd edition*. Lea and Fabriger: Philadelphia.1990.
- Martin, Alfred. *Farmasi fisik edisi ketiga*. Universitas Indonesia: Jakarta. 1993
- Mirza, S., Inna Miroshnyk, Jirky Heinamaki, Jouko Ylirussi. *Co-crystal: an emerging approach for Enhancing properties of pharmaceutical solid*. Vol 24. 2008
- Moechtar. *Farmasi Fisika Bagian Srtuktur Atom dan Molekul Zat Padat dan Mikromeretika*. Yogyakarta, Gajah Mada University Press. 1990

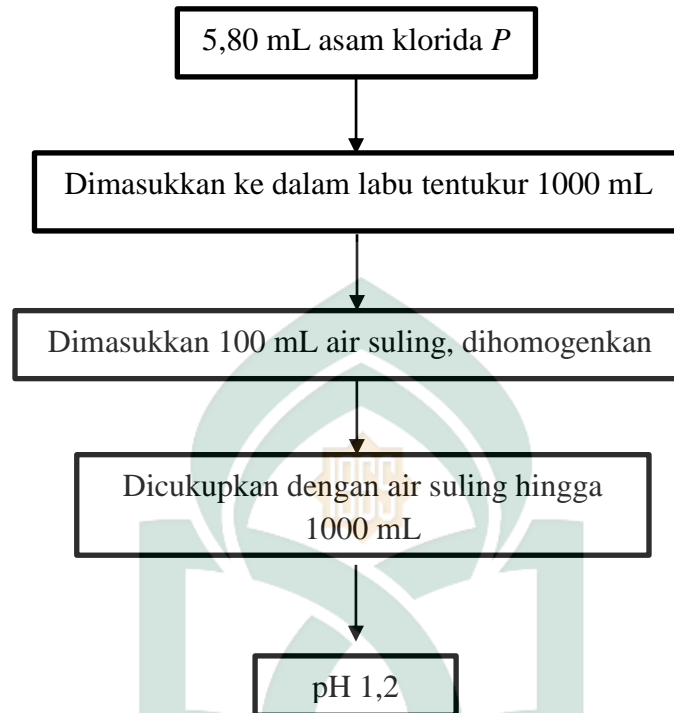
- Mohammad, Sharmarke, Derek A. Tocher, Martin Vickers, Panagiotis G. Karamertzanis, *Salt or Cocrystal? A New Series of Crystal Structures Formed from Simple Pyridines and Carboxylic Acids*. Crystal Growth and Design. 2013
- Naveed, Safila, Lailoona Jaweed, *UV spectrophotometric assay of Ketoconazole oral formulations*. Faculty of Pharmacy, Jinnah University for women, Karachi. 2014.
- Ober, Courtney A, Stephen E, Montgomery, Ram B. Gupta. *Formation of itraconazole/L-malic acid cocrystals by gas antisolvent cocrystallization*: Department of Chemical Engineering, Auburn University, Auburn, AL 36849, United States. 2013.
- Pritam, K Desale. *A Novel method: Co-crystallisation*. International Journal of Pharmaceutical invention: UK. 2013
- Qiao Ning, Mingsong Li, Walkaria Schlindwein, Nazneen Maleek, Angela Davies, Gray Trappit. *Pharmaceutical Cocrystal: An Overview International of Pharmaceutics*. 2011
- Rowe, R.C. et al. *Handbook Of Pharmaceutical Excipients, 6th Ed*, The Pharmaceutical Press, London. 2009.
- Schultheiss, Nate, and Ann Newman. *Pharmaceutical Cocrystals and Their Physicochemical Properties*: Crystal and Growth Design. SSCI, Inc., A Division of Aptuit, West Lafayette, Indiana, and Seventh Street Development Group. 2009
- Shargel, L & Andrew BCYU. *Applied Biopharmaceutics and Pharmaceutics 3rd Edition*. Connecticut: Appleton & Lange. 2005
- Shattock, Vishhweswar, Zaworotko. et.al. *Hierarchy of Supramolekul Synthons: persistent carboxylic Acid-Pyridine Hydrogen Bond in Cocrystal That also contain a Hydroxyl Moiety*: Cryst Growth. 2008.
- Shihab, Quraish. *Tafsir Al-Misbah*. Jakarta: Lentera Hati. 2012
- Siswandono, Soekardjo. *Prinsip-prinsip Rancangan Obat*. Surabaya: Airlangga University Press. 1998
- Steed, Jonathan W. *The Role of Co-crystal in Pharmaceutical Design, Trends in Pharmacological Science*. Durham University: United Kingdom. 2013.

- Sweetman, C. Sean. *Martindale the Complete Drug Reference 36th edition*. Pharmaceutical Press: London, 2009.
- Syarifah Abd Rahim, Chou Choang Ta, Noor Ashila Ramle. *Carbamazepine-Fumaric Acid Co-Crystal Screening Using Solution Based Method*. Pahang: Universiti Malaysia Pahang. 2016
- Thakuria, Ranjit, Amit Deloria, William Jonesa, Maya P. Lipertb, Lilly Royb, Naír Rodríguez-Hornedo. *Pharmaceutical cocrystals and poorly soluble drugs*: Elsevier: US. 2013
- Trask, Andrew V. Motherwell, Samuel, Jones, William. *Pharmaceutical Cocrystallization: Engineering a Remedy for Caffeine Hydration: Crystal Growth & Design*. 2005.
- Triani, Gerry; David J. Cassidy, Guilhem Arrachart. *Powder X-ray diffraction method for the quantification of cocrystals in the crystallization mixture*. NCBI. 2012.
- Underwood, A.L dan Day, R.A. *Analisa Kimia Kuantitatif*. Edisi keempat. Penerjemah : Soendoro, R. Penerbit Erlangga. Jakarta. 1981.
- Vishhweswar, Zaworotko. et.al. *Hierarchy of Supramolekul Synthons: persistent carboxylic Acid-Pyridine Hydrogen Bond in Cocrystal That also contain a Hydroxyl Moiety*: Cryst Growth. 2008.
- Vishweswar, Weyan, Shattock, Zawarotko. *Syntesis and Structral Characterisation of Cocrystal: Mechanochemistrys Slow Evaporation from solution*. *Crystal Growth & Design*. 2009
- Vishweswar P. McMahon. et.al. *Pharmaceutical Cocrystal*. *Journal Pharm Sci*. 2006.
- Zaini, Erizal. Auzal Halim, Sundani N Soewandhi, Dwi Setyawan. *Peningkatan Laju Pelarutan Trimetoprim Melalui Metode Ko-Kristalisasi Dengan Nikotinamida*. *Jurnal Farmasi Indonesia* Vol. 5 No. 4: Fakultas Farmasi Universitas Andalas. Padang. 2011
- Zaworotko, Jonathan Steed. *The Role Of Cocrystal in Pharmaceutical design*. 2008

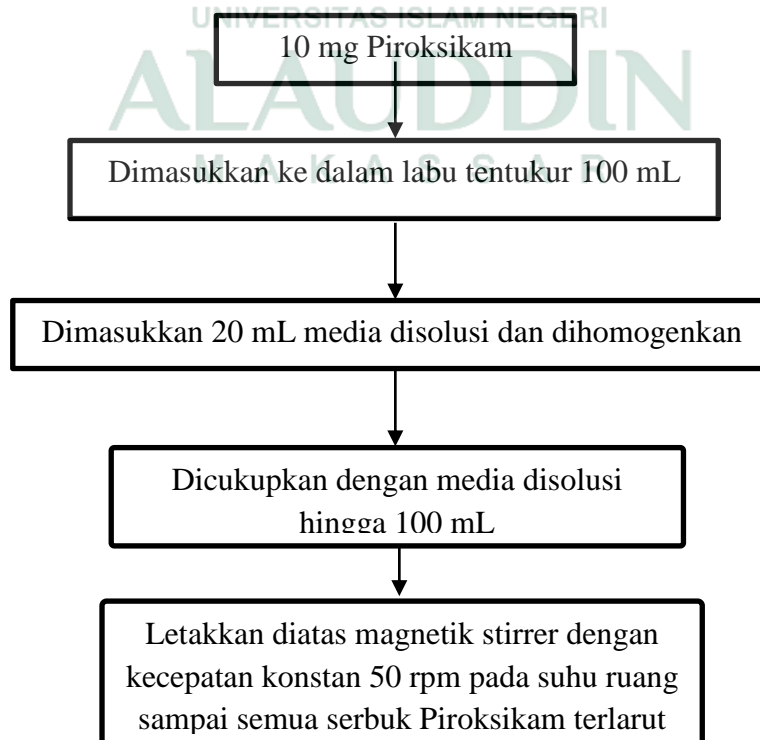
Lampiran 1. Skema Pembuatan Kokristal

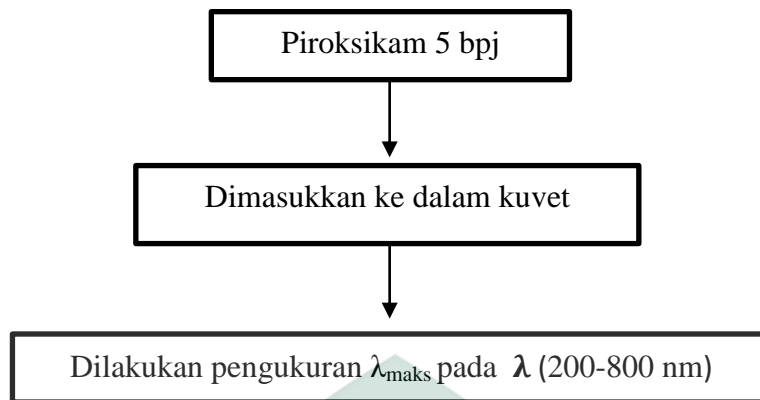
Lampiran 2. Skema Uji Disolusi

a. Pembuatan Media Disolusi HCl pH 1,2

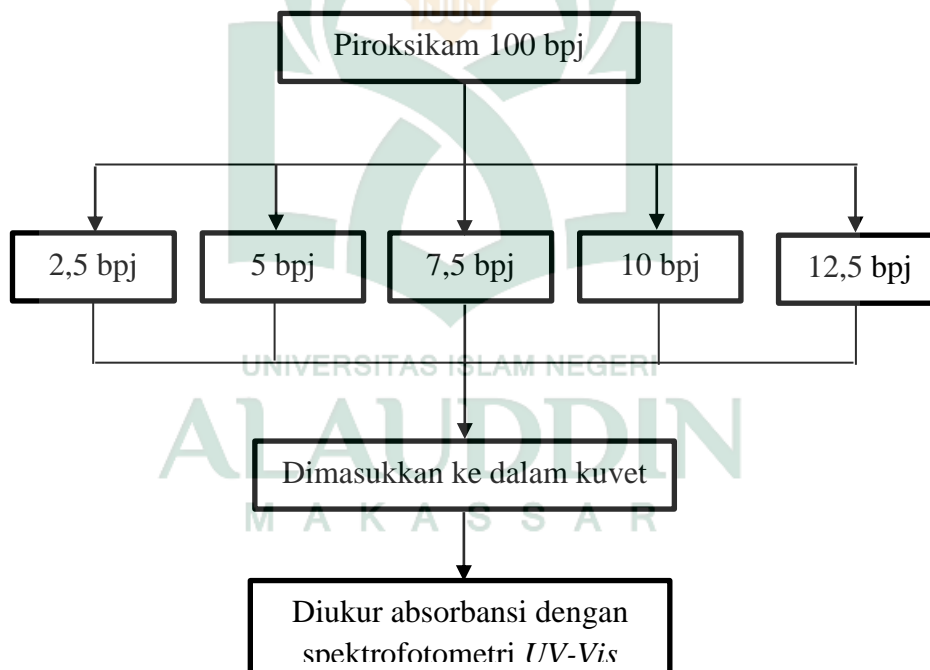


b. Penyiapan Larutan Stok Piroksikam (100 bpj)

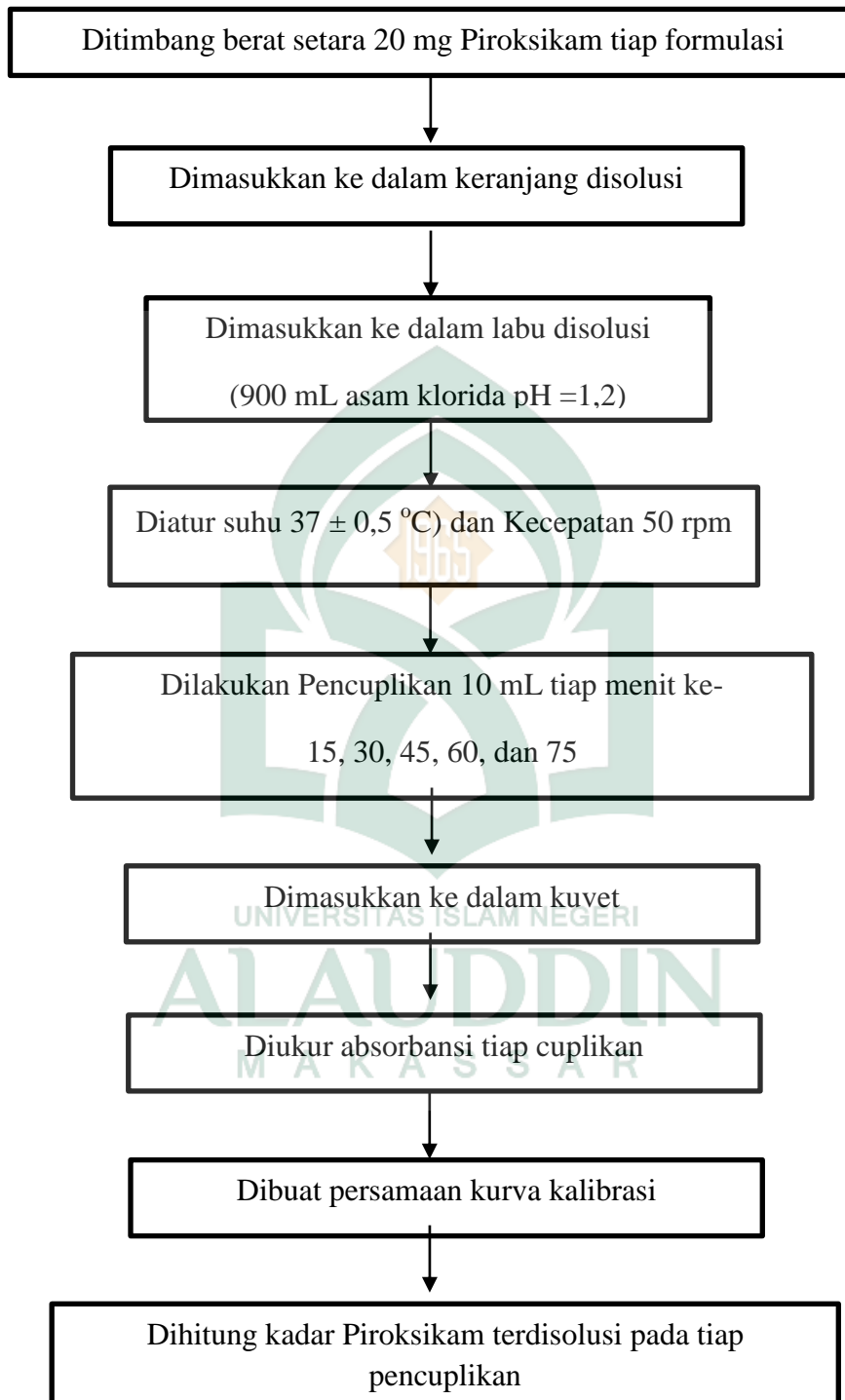


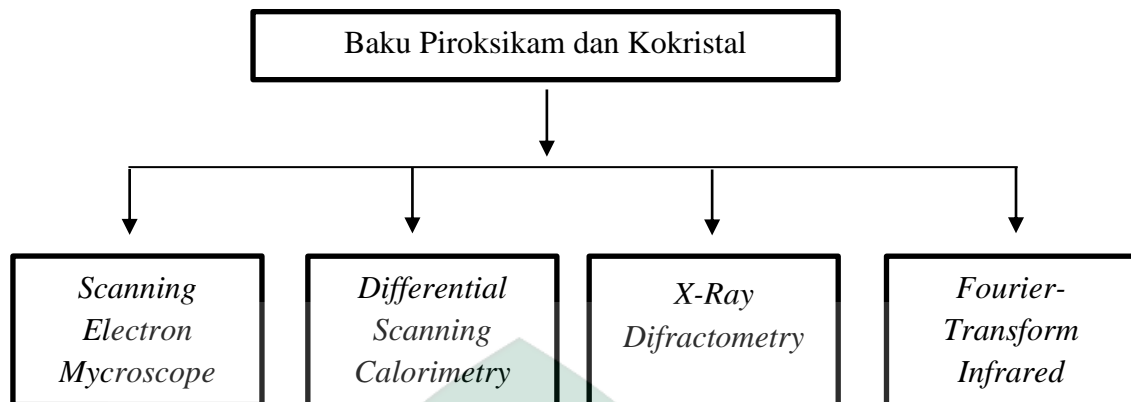
c. Penentuan λ_{maks} 

d. Pembuatan Kurva Kalibrasi



e. Uji Disolusi



Lampiran 3. Karakterisasi Piroksikam standar dan Kokristal

Lampiran 4. Pengamatan Organoleptik



(a)

(b)



(c) M A K A S S A R (d)

- Keterangan : (a) Piroksikam Standar
(b) Kokristal Piroksikam:Asam Malat perbandingan 1:1
(c) Kokristal Piroksikam:Asam Malat perbandingan 1:2
(d) Kokristal Piroksikam:Asam Malat perbandingan 2:1

Lampiran 5. Pengukuran Panjang Gelombang Maksimum Piroksikam

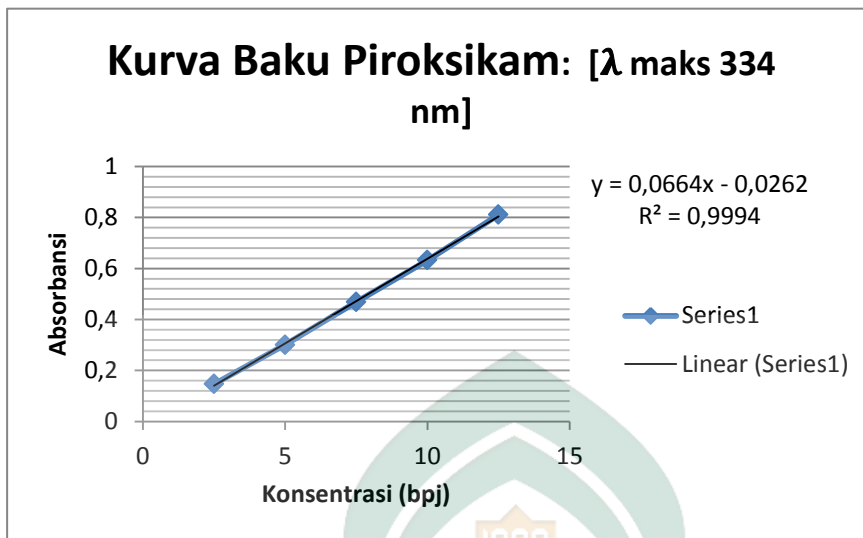
Collection Time	3/11/2010 12:09:59 AM	
Peak Table		
Peak Style	Peaks	
Peak Threshold	0.0100	
Range	800.0nm to 199.9nm	
Wavelength (nm)	Abs	
373.0	0.000	
333.9	0.305	
240.0	0.157	
205.0	0.335	

Absorbansi Piroksikam (5 bpj)

Lampiran 6. Data Absorbansi Larutan Baku

Konsentrasi (bpj)	λ Maksimum	Absorbansi			Rerata
		I	II	III	
2,5	334 nm	0,1463	0,1466	0,1471	0,1467
5		0,2998	0,3014	0,3006	0,3006
7,5		0,4675	0,4676	0,4701	0,4684
10		0,6356	0,6322	0,6305	0,6328
12,5		0,8107	0,8130	0,8079	0,8106



Lampiran 7. Kurva Baku Piroksikam

Lampiran 8. Data Uji Disolusi

a. Penimbangan berat setara 20 mg Piroksikam untuk uji disolusi

Formula	Berat Setara 20 Piroksikam (mg)
1:1	28,09
1:2	36,19
2:1	24,04
1:0	20

b. Hasil Uji Disolusi

1) Piroksikam Standar (ditimbang 20 mg)

Waktu (Menit)	Absorbansi	Kadar terlarut dalam 900 mL (mg)	Faktor Koreksi (Fk)	Kadar Terdisolusi (mg)	% Terdisolusi
15	0,2818	4,170	0,0463	4,170	20,85 %
	0,2821				
	0,2805				
Rerata	0,2815				
30	0,3469	5,0472	0,1023	5,0935	25,46 %
	0,3458				
	0,3457				
Rerata	0,3462				
45	0,4738	6,803	0,1778	6,9053	34,52 %
	0,4741				
	0,4747				
Rerata	0,4742				
60	0,5297	7,5195	0,2613	7,6973	38,48 %
	0,5278				
	0,5284				
Rerata	0,5286				
75	0,5997	8,494	0,3556	8,7553	43,77 %
	0,5999				
	0,6018				
Rerata	0,6005				

2) Kokristal 1:1 (ditimbang 28,09 mg)

Waktu (Menit)	Absorbansi	Kadar terlarut dalam 900 mL (mg)	Faktor Koreksi (Fk)	Kadar Terdisolusi (mg)	% Terdisolusi
15	0,4314	6,195	0,0688	6,195	30,97 %
	0,4300				
	0,4312				
Rerata	0,4309				
30	0,5567	7,885	0,1564	7,953	39,76 %
	0,5530				
	0,5570				
Rerata	0,5556				
45	0,6777	9,54	0,2624	9,6964	48,48 %
	0,6788				
	0,6766				
Rerata	0,6777				
60	0,7386	10,364	0,3775	10,6264	53,13 %
	0,7376				
	0,7392				
Rerata	0,7385				
75	0,7818	10,936	0,4990	11,3135	56,56 %
	0,7801				
	0,7803				
Rerata	0,7807				

3) Kokristal 1:2 (ditimbang 36,19 mg)

Waktu (Menit)	Absorbansi	Kadar terlarut dalam 900 mL	Faktor Koreksi (Fk)	Kadar Terdisolusi (mg)	% Terdisolusi
15	0,3801	5,498	0,061	5,498	27,49 %
	0,3788				
	0,3797				
Rerata	0,3795				
30	0,5847	8,274	0,1529	8,335	41,67 %
	0,5849				
	0,5833				
Rerata	0,5843				
45	0,7246	10,181	0,266	10,334	51,67%
	0,7248				
	0,7256				
Rerata	0,7250				

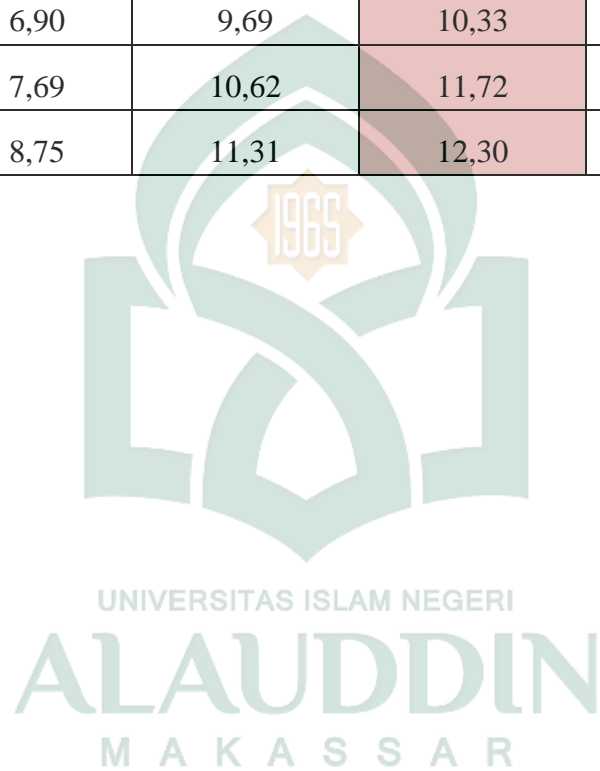
60	0,8189	11,4606	0,393	11,726	58,63 %
	0,8202				
	0,8190				
Rerata	0,8194				
75	0,8512	11,907	0,525	12,30	61,50 %
	0,8522				
	0,8550				
Rerata	0,8528				

4) Kokristal 2:1 (ditimbang 24,04 mg)

Waktu (Menit)	Absorbansi	Kadar terlarut dalam 900 mL	Faktor Koreksi (Fk)	Kadar Terdisolusi (mg)	% Terdisolusi
15	0,4379	6,2847	0,0689	6,2847	31,42 %
	0,4364				
	0,4383				
Rerata	0,4375				
30	0,4552	6,521	0,1422	6,590	32,95 %
	0,4552				
	0,4544				
Rerata	0,4550				
45	0,5817	8,236	0,2337	8,379	41,89 %
	0,5799				
	0,5829				
Rerata	0,5815				
60	0,6110	8,631	0,3296	8,864	44,32 %
	0,6115				
	0,6100				
Rerata	0,6108				
75	0,6633	9,345	0,433	9,674	48,37 %
	0,6630				
	0,6635				
Rerata	0,6633				

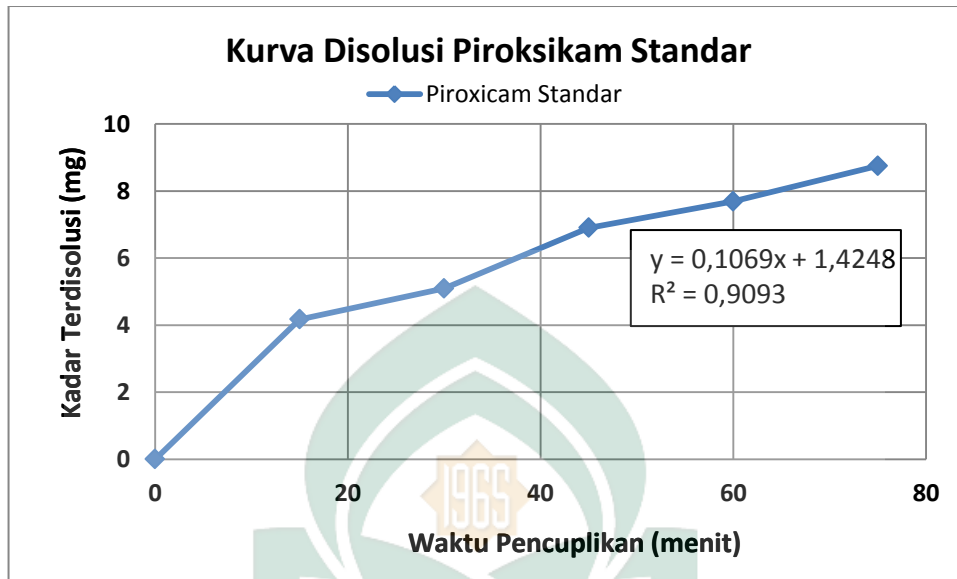
c. Kadar Terdisolusi (mg)

Waktu (menit)	Kadar Terdisolusi (mg)			
	Pioksikam	Kokristal 1:1	Kokristal 1:2	Kokristal 2:1
0	0	0	0	0
15	4,17	6,19	5,49	6,28
30	5,09	7,95	8,35	6,59
45	6,90	9,69	10,33	8,37
60	7,69	10,62	11,72	8,86
75	8,75	11,31	12,30	9,67

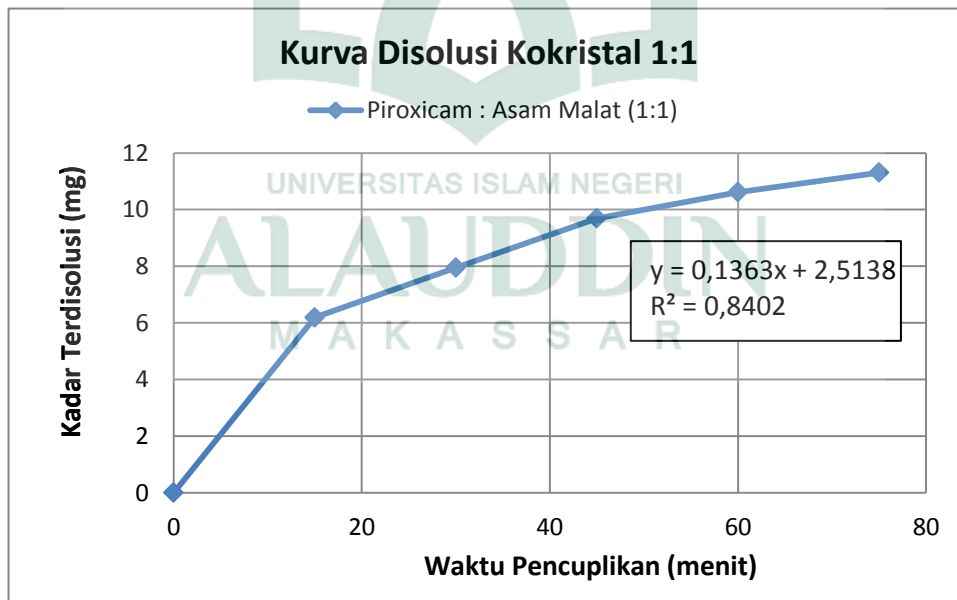


Lampiran 9. Kurva Disolusi

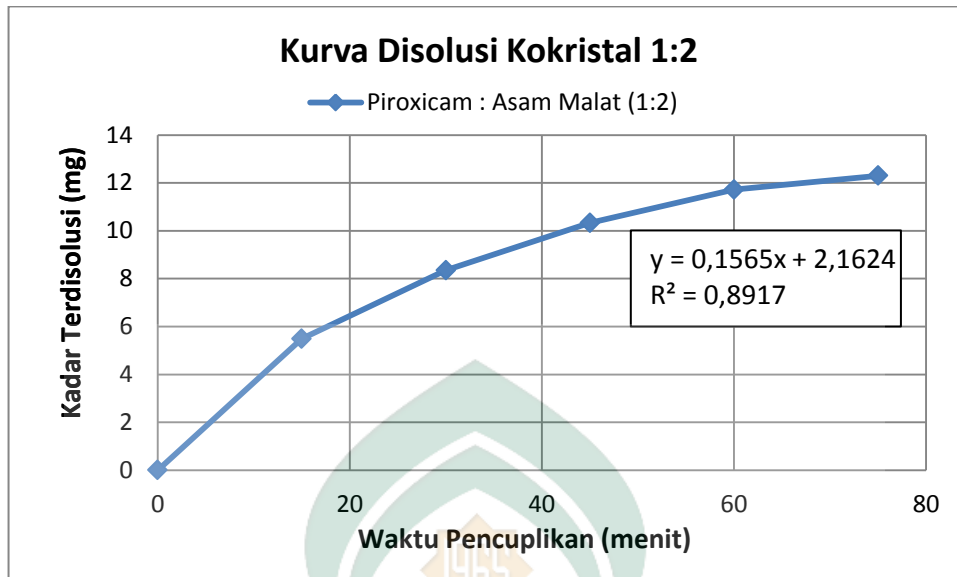
a. Kurva disolusi Piroksikam



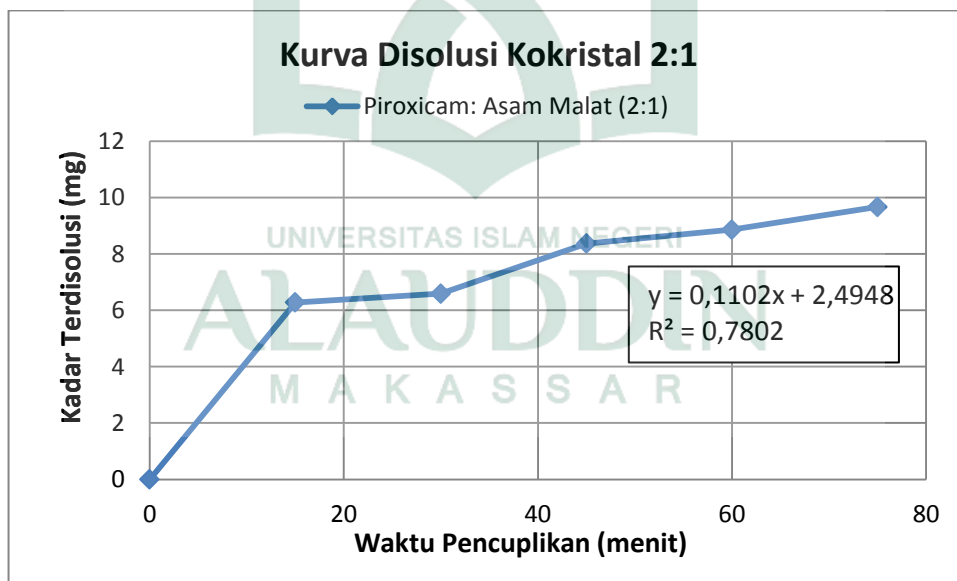
b. Kurva disolusi kokristal 1:1

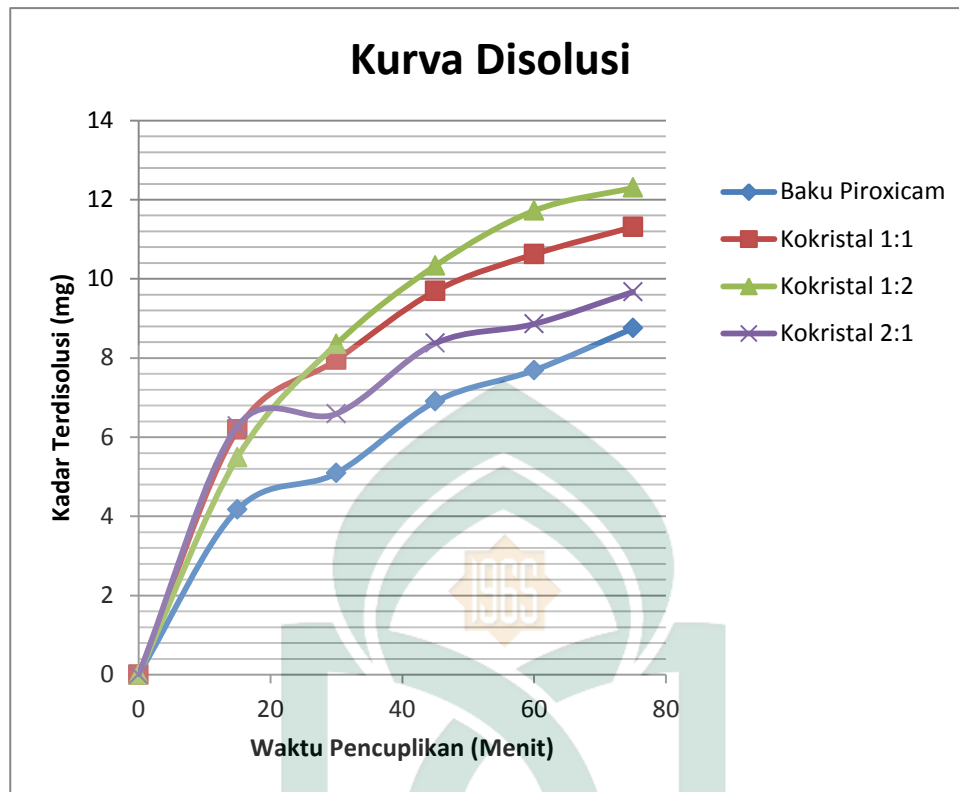


c. Kurva disolusi kokristal 1:2



d. Kurva disolusi kokristal 2:1



e. *Overlay Kurva Disolusi*

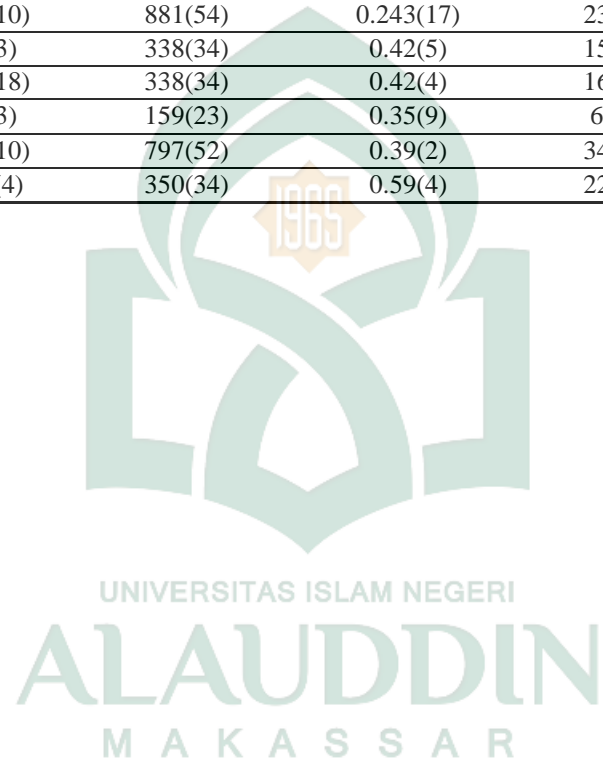
Nilai Koefisien Determinasi (R^2) Uji Disolusi Tiap Formula

Formula	Koefisien Determinasi
Piroksikam Standar	0,9093
Kokristal 1:1	0,8042
Kokristal 1:2	0,8917
Kokristal 2:1	0,7802

Lampiran 10. Daftar *Peak* Difraktogram Piroksikam Standar

No.	2-theta(deg)	d(ang.)	Height(cps)	FWHM(deg)	Int. I(cps deg)	Int. W(deg)	Asym. factor
1	10.079(7)	8.769(6)	1379(68)	0.210(16)	442(36)	0.32(4)	1.5(3)
2	14.859(16)	5.957(6)	2232(86)	0.38(6)	1081(180)	0.48(10)	0.9(2)
3	15.127(6)	5.852(2)	3916(114)	0.200(14)	986(154)	0.25(5)	1.24(17)
4	15.713(4)	5.6353(14)	5699(138)	0.233(4)	1661(27)	0.292(12)	1.93(14)
5	16.175(5)	5.4751(18)	3294(105)	0.262(7)	1078(21)	0.327(17)	1.90(15)
6	16.982(6)	5.2169(18)	2389(89)	0.280(6)	835(14)	0.350(19)	2.01(17)
7	17.993(7)	4.9258(19)	996(58)	0.236(11)	326(10)	0.33(3)	1.24(16)
8	18.85(6)	4.704(15)	181(25)	0.32(10)	101(22)	0.6(2)	0.5(6)
9	19.644(8)	4.5155(18)	2896(98)	0.438(9)	1349(25)	0.47(2)	0.57(4)
10	20.277(7)	4.3759(15)	2029(82)	0.217(8)	469(18)	0.231(18)	1.7(2)
11	21.39(2)	4.150(4)	966(57)	0.40(2)	412(27)	0.43(5)	0.67(10)
12	21.655(14)	4.101(3)	933(56)	0.146(16)	146(21)	0.16(3)	1.6(7)
13	22.451(10)	3.9568(18)	1588(73)	0.342(12)	582(17)	0.37(3)	1.5(2)
14	22.967(5)	3.8691(8)	4676(125)	0.282(5)	1408(30)	0.301(14)	1.84(13)
15	23.885(7)	3.7224(10)	797(52)	0.088(10)	149(10)	0.19(2)	2.0(5)
16	24.66(3)	3.608(4)	581(44)	0.16(2)	107(12)	0.18(3)	2.9(8)
17	25.318(11)	3.5149(16)	3173(103)	0.685(18)	2408(61)	0.76(4)	0.36(3)
18	25.796(5)	3.4508(7)	6007(142)	0.237(5)	1569(54)	0.261(15)	1.40(12)
19	26.57(7)	3.352(8)	2630(94)	0.38(7)	1115(464)	0.42(19)	0.9(17)
20	26.749(14)	3.3300(17)	1764(77)	0.20(6)	390(378)	0.2(2)	1.0(5)
21	27.21(3)	3.275(4)	598(45)	0.32(14)	212(85)	0.35(17)	3(3)
22	29.82(2)	2.9936(19)	1083(60)	0.523(18)	603(24)	0.56(5)	1.11(17)
23	30.50(2)	2.929(2)	880(54)	0.32(3)	295(24)	0.34(5)	0.9(3)
24	31.02(3)	2.880(2)	715(49)	0.32(4)	243(25)	0.34(6)	1.4(6)
25	31.69(3)	2.821(3)	492(40)	0.48(3)	249(11)	0.51(6)	0.76(19)
26	32.92(2)	2.719(2)	530(42)	0.29(2)	162(9)	0.31(4)	1.7(6)
27	34.282(13)	2.6136(9)	1297(66)	0.257(9)	356(13)	0.27(2)	1.7(3)
28	35.23(3)	2.545(2)	423(38)	0.33(3)	153(16)	0.36(7)	0.7(3)

29	35.975(10)	2.4944(6)	361(35)	0.23(3)	90(11)	0.25(6)	2.7(19)
30	36.59(5)	2.454(3)	204(26)	0.23(8)	72(10)	0.35(9)	1.0(10)
31	38.257(7)	2.3506(4)	955(56)	0.29(2)	344(19)	0.36(4)	1.4(5)
32	39.84(6)	2.261(3)	300(32)	0.28(5)	90(12)	0.30(7)	1.0(8)
33	40.71(6)	2.214(3)	274(30)	0.36(5)	105(13)	0.38(9)	0.8(6)
34	42.167(16)	2.1413(8)	261(30)	0.37(5)	103(9)	0.40(8)	5(4)
35	42.87(2)	2.1080(10)	881(54)	0.243(17)	231(14)	0.26(3)	2.4(10)
36	44.51(7)	2.034(3)	338(34)	0.42(5)	152(22)	0.45(11)	1.6(10)
37	45.90(5)	1.9756(18)	338(34)	0.42(4)	160(11)	0.47(8)	0.5(2)
38	46.93(9)	1.934(3)	159(23)	0.35(9)	63(12)	0.39(13)	0.7(2)
39	47.78(3)	1.9018(10)	797(52)	0.39(2)	343(20)	0.43(5)	0.8(2)
40	53.305(13)	1.7172(4)	350(34)	0.59(4)	227(16)	0.65(11)	4(2)



Lampiran 11. Daftar *Peak* Difraktogram Asam Malat

No.	2-theta(deg)	d(ang.)	Height(cps)	FWHM(deg)	Int. I(cps deg)	Int. W(deg)	Asym. Factor
1	12.173(12)	7.265(7)	596(45)	0.22(2)	218(13)	0.37(5)	0.67(14)
2	13.94(2)	6.349(11)	476(40)	0.17(4)	147(12)	0.31(5)	1.0(7)
3	18.14(3)	4.886(8)	1804(78)	0.25(3)	473(51)	0.26(4)	0.9(4)
4	18.58(3)	4.770(8)	1569(72)	0.20(3)	339(40)	0.22(4)	1.2(7)
5	20.151(3)	4.4031(6)	146832(700)	0.288(2)	49137(300)	0.335(4)	2.48(11)
6	20.88(3)	4.251(7)	2864(98)	0.51(4)	1753(108)	0.61(6)	0.7(2)
7	23.609(2)	3.7654(4)	29384(313)	0.2722(18)	9706(49)	0.330(5)	2.00(7)
8	24.51(6)	3.629(8)	509(41)	0.19(4)	106(28)	0.21(7)	1.1(3)
9	26.73(6)	3.332(7)	534(42)	0.9(4)	509(223)	1.0(5)	0.2(2)
10	27.637(13)	3.2250(15)	6258(144)	0.344(14)	2298(238)	0.37(5)	2.0(4)
11	28.00(3)	3.184(4)	1467(70)	0.22(5)	352(66)	0.24(6)	1.0(7)
12	29.57(9)	3.018(9)	292(31)	1.5(4)	472(113)	1.6(6)	2.6(16)
13	32.018(12)	2.7930(10)	238(28)	0.15(4)	42(9)	0.18(6)	0.3(3)
14	32.794(5)	2.7287(4)	6350(145)	0.285(3)	2093(22)	0.330(11)	1.35(9)
15	33.53(2)	2.6705(17)	556(43)	0.24(2)	154(10)	0.28(4)	1.2(4)
16	35.676(12)	2.5146(8)	2227(86)	0.271(9)	648(21)	0.29(2)	0.98(16)
17	37.525(10)	2.3948(6)	3767(112)	0.278(14)	1844(34)	0.49(2)	1.5(2)
18	40.169(6)	2.2431(3)	4247(119)	0.279(6)	1379(19)	0.325(13)	1.21(10)
19	40.873(4)	2.2061(2)	9762(180)	0.256(3)	2903(26)	0.297(8)	1.14(7)
20	41.88(6)	2.155(3)	291(31)	0.19(5)	58(13)	0.20(7)	0.8(9)
21	43.421(9)	2.0823(4)	1698(75)	0.277(11)	606(13)	0.36(2)	3.2(6)
22	44.155(6)	2.0494(3)	616(45)	0.26(2)	203(9)	0.33(4)	1.0(3)
23	45.09(4)	2.0092(19)	391(36)	0.27(4)	136(11)	0.35(6)	0.9(6)
24	48.31(16)	1.882(6)	132(21)	1.18(14)	165(27)	1.3(4)	1.0(5)
25	54.54(3)	1.6810(9)	294(31)	0.23(4)	82(8)	0.28(6)	1.8(13)
26	55.401(10)	1.6571(3)	418(37)	0.31(3)	148(10)	0.35(6)	3.4(16)

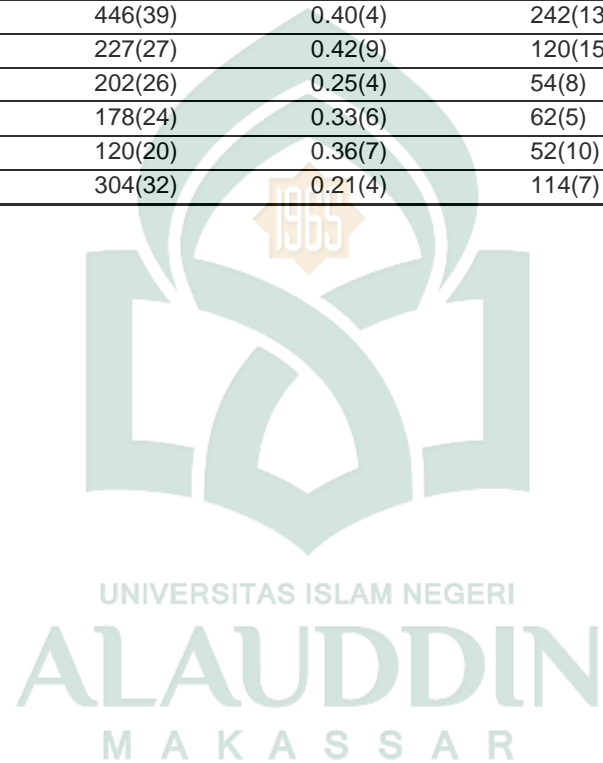
27	56.404(10)	1.6300(3)	466(39)	0.28(3)	161(10)	0.35(5)	1.3(7)
28	62.511(18)	1.4846(4)	192(25)	0.24(5)	49(9)	0.25(8)	0.7(6)
29	64.69(16)	1.440(3)	111(19)	0.58(14)	81(16)	0.7(3)	0.5(6)



Lampiran 12. Daftar *Peak* Difraktogram Kokristal 1:2

No.	2-theta(deg)	d(ang.)	Height(cps)	FWHM(deg)	Int. I(cps deg)	Int. W(deg)	Asym. Factor
1	12.445(13)	7.107(7)	1487(70)	0.094(11)	185(12)	0.124(14)	1.4(10)
2	13.729(14)	6.445(7)	408(37)	0.08(4)	46(11)	0.11(4)	2.2(15)
3	14.362(16)	6.162(7)	637(46)	0.093(15)	71(9)	0.11(2)	1.6(12)
4	15.136(9)	5.849(3)	2760(96)	0.431(9)	1337(23)	0.48(3)	4.5(6)
5	15.713(8)	5.635(3)	2654(94)	0.261(9)	807(24)	0.30(2)	2.3(4)
6	16.179(9)	5.474(3)	2295(87)	0.255(12)	674(24)	0.29(2)	2.8(5)
7	16.970(15)	5.221(5)	1553(72)	0.269(13)	460(26)	0.30(3)	2.0(5)
8	17.90(2)	4.951(6)	634(46)	0.39(6)	521(32)	0.82(11)	0.53(15)
9	18.47(5)	4.801(12)	397(36)	0.10(4)	40(15)	0.10(5)	0.6(12)
10	19.973(7)	4.4418(15)	27743(304)	0.220(6)	8778(100)	0.316(7)	1.7(2)
11	20.761(10)	4.275(2)	1012(58)	0.21(3)	223(33)	0.22(5)	1.2(8)
12	21.621(19)	4.107(4)	548(43)	0.38(7)	224(41)	0.41(11)	4(4)
13	22.42(3)	3.962(5)	775(51)	0.30(5)	244(34)	0.32(6)	0.8(4)
14	22.967(14)	3.869(2)	2427(90)	0.287(18)	747(36)	0.31(3)	2.1(6)
15	23.407(5)	3.7974(8)	8086(164)	0.275(5)	2377(32)	0.294(10)	1.37(10)
16	24.42(7)	3.643(10)	365(35)	0.15(5)	58(22)	0.16(7)	2(4)
17	25.836(3)	3.4456(4)	5064(130)	0.446(9)	2542(43)	0.50(2)	4.9(8)
18	26.696(13)	3.3365(15)	3203(103)	0.393(13)	1487(39)	0.46(3)	2.1(3)
19	27.247(9)	3.2703(11)	1386(68)	0.17(2)	257(35)	0.19(3)	5(4)
20	27.497(15)	3.2411(17)	2813(97)	0.262(17)	900(35)	0.32(2)	1.3(3)
21	29.78(3)	2.997(3)	733(49)	0.44(3)	347(19)	0.47(6)	1.1(3)
22	30.51(4)	2.927(4)	506(41)	0.27(4)	147(17)	0.29(6)	1.4(10)
23	31.04(7)	2.879(6)	301(32)	0.29(7)	92(16)	0.30(9)	2(3)
24	31.66(8)	2.824(7)	236(28)	0.45(9)	112(20)	0.47(14)	0.3(3)
25	32.635(15)	2.7416(12)	1884(79)	0.316(11)	635(29)	0.34(3)	0.93(17)
26	34.22(4)	2.618(3)	517(42)	0.21(3)	117(18)	0.23(5)	0.8(7)
27	35.50(3)	2.527(2)	646(46)	0.41(3)	299(22)	0.46(7)	1.0(4)
28	36.91(3)	2.433(2)	617(45)	0.37(11)	258(91)	0.42(18)	0.5(6)

29	37.36(2)	2.4048(13)	1296(66)	0.27(4)	412(95)	0.32(9)	1.2(5)
30	38.27(5)	2.350(3)	335(33)	0.42(6)	170(22)	0.51(12)	2.1(10)
31	39.99(2)	2.2527(11)	1038(59)	0.356(17)	393(16)	0.38(4)	1.5(3)
32	40.69(2)	2.2155(11)	983(57)	0.296(18)	309(14)	0.31(3)	1.1(3)
33	42.79(7)	2.112(3)	322(33)	0.23(14)	89(56)	0.3(2)	0.5(6)
34	43.23(3)	2.0912(15)	824(52)	0.21(5)	232(69)	0.28(10)	1.6(11)
35	47.75(4)	1.9033(14)	446(39)	0.40(4)	242(13)	0.54(8)	0.7(3)
36	53.25(9)	1.719(3)	227(27)	0.42(9)	120(15)	0.53(13)	3(3)
37	54.31(5)	1.6878(15)	202(26)	0.25(4)	54(8)	0.27(7)	0.7(5)
38	55.20(5)	1.6626(15)	178(24)	0.33(6)	62(5)	0.35(8)	2.6(19)
39	56.29(7)	1.6331(19)	120(20)	0.36(7)	52(10)	0.43(15)	1.9(15)
40	64.43(2)	1.4449(5)	304(32)	0.21(4)	114(7)	0.37(6)	0.4(3)



Lampiran 13. Pemeriksaan Bentuk Kisi Kristal

a. Piroxicam Standard

Data set name	a(A)	b(A)	c(A)	alpha(deg)	beta(deg)	gamma(deg)	Bentuk Kristal
Piroxicam	4.547982	5.216467	5.644672	90.000000	90.000000	90.000000	Hexagonal
Piroxicam	10.460297	10.460297	17.582179	90.000000	90.000000	120.000000	Orthotrombik
Piroxicam	2.496123	2.496123	12.573887	90.000000	90.000000	120.000000	Hexagonal
Piroxicam	7.887296	7.632835	11.165897	90.000000	90.000000	90.000000	Orthotrombik
Piroxicam	9.258334	9.336144	4.442031	90.000000	121.330002	90.000000	
Piroxicam	6.013128	3.531613	11.832663	90.000000	106.379997	90.000000	

b. Asam Malat

Data set name	a(A)	b(A)	c(A)	alpha(deg)	beta(deg)	gamma(deg)	Bentuk Kristal
Asam Malat	9.880107	4.980970	5.075620	90.000000	90.000000	90.000000	Orthotrombik

c. Kokristal 1:2

Data set name	a(A)	b(A)	c(A)	alpha(deg)	beta(deg)	gamma(deg)	Bentuk Kristal
Kokristal 1 2	2.470000	2.470000	6.887960	90.000000	90.000000	120.000000	Hexagonal
Kokristal 1 2	4.705322	5.932656	4.435419	90.000000	90.000000	90.000000	Orthotrombik
Kokristal 1 2	9.961181	5.021843	5.117270	90.000000	99.269997	90.000000	-
Kokristal 1 2	2.469395	2.469395	10.001097	90.000000	90.000000	120.000000	Hexagonal
Kokristal 1 2	4.491537	5.304392	5.642227	90.000000	90.000000	90.000000	Orthotrombik
Kokristal 1 2	11.357161	21.228618	7.428520	94.599998	101.800003	81.500000	Triklinik

Lampiran 14: Tabel Persamaan Bravais

System	Axial lengths and angles	Bravais lattice	Lattice symbol
Cubic	Three equal axes at right angles $a = b = c, \alpha = \beta = \gamma = 90^\circ$	Simple	<i>P</i>
		Body-centered	<i>I</i>
		Face-centered	<i>F</i>
Tetragonal	Three axes at right angles, two equals $a = b \neq c, \alpha = \beta = \gamma = 90^\circ$	Simple	<i>P</i>
		Body-centered	<i>I</i>
Orthorhombic	Three unequal axes at right angles $a \neq b \neq c, \alpha = \beta = \gamma = 90^\circ$	Simple	<i>P</i>
		Body-centered	<i>I</i>
		Base-centered	<i>C</i>
		Face-centered	<i>F</i>
Trigonal*	Three equal axes, equally inclined $a = b = c, \alpha = \beta = \gamma \neq 90^\circ$	Simple	<i>R</i>
Hexagonal	Two equal coplanar axes at, 120° third axis at right angles $a = b \neq c, \alpha = \beta = 90^\circ, \gamma = 120^\circ$	Simple	<i>P</i>
Monoclinic	Three unequal axes, one pair not at right angles $a \neq b \neq c,$ $\alpha \neq \gamma = 90^\circ \neq \beta$	Simple	<i>P</i>
		Base-centered	<i>C</i>
Triclinic	Three unequal axes, unequally inclined and none at right angles $a \neq b \neq c, \alpha \neq \beta \neq \gamma \neq 90^\circ$	Simple	<i>P</i>

*Also called rhombohedral.

Lampiran 15. Perhitungan Larutan Baku

a. Perhitungan larutan stok Piroksikam

Dibuat konsentrasi 100 bpj dalam 100 mL (0,1 L)

$$\text{bpj} = \frac{\text{massa (mg)}}{\text{volume (L)}}$$

$$100 \text{ bpj} = \frac{\text{massa (mg)}}{0,1 \text{ L}}$$

$$\text{massa} = 10 \text{ mg}$$

b. Perhitungan pengenceran

1) 2,5 bpj, dibuat dalam 10 mL

$$V_1 \times N_1 = V_2 \times N_2$$

$$V_1 \times 100 \text{ bpj} = 10 \text{ mL} \times 2,5 \text{ bpj}$$

$$V_1 = 0,25 \text{ mL}$$

2) 5 bpj, dibuat dalam 10 mL

$$V_1 \times N_1 = V_2 \times N_2$$

$$V_1 \times 100 \text{ bpj} = 10 \text{ mL} \times 5 \text{ bpj}$$

$$V_1 = 0,5 \text{ mL}$$

3) 7,5 bpj, dibuat dalam 10 mL

$$V_1 \times N_1 = V_2 \times N_2$$

$$V_1 \times 100 \text{ bpj} = 10 \text{ mL} \times 7,5 \text{ bpj}$$

$$V_1 = 0,75 \text{ mL}$$

4) 10 bpj, dibuat dalam 10 mL

$$V_1 \times N_1 = V_2 \times N_2$$

$$V_1 \times 100 \text{ bpj} = 10 \text{ mL} \times 10 \text{ bpj}$$

$$V_1 = 1,0 \text{ mL}$$

5) 12,5 bpj, dibuat dalam 10 mL

$$V_1 \times N_1 = V_2 \times N_2$$

$$V_1 \times 100 \text{ bpj} = 10 \text{ mL} \times 12,5 \text{ bpj}$$

$$V_1 = 1,25 \text{ mL}$$



Lampiran 16. Perhitungan Perbandingan Equimolar Piroksikam-Asam Malat

$$\text{mmol} = \frac{\text{mg}}{\text{Mr}}$$

Mr Piroksikam = 331

Mr asam tartrat = 134

a. Perbandingan molar 1:1 (Piroksikam : Asam Malat)

Piroksikam:

$$2 \text{ mmol} = \frac{\text{mg}}{331}$$

$$\text{mg} = 662 \text{ mg}$$

Asam Malat:

$$2 \text{ mmol} = \frac{\text{mg}}{134}$$

$$\text{mg} = 268 \text{ mg}$$

b. Perbandingan molar 1:2 (Piroksikam: Asam Malat)

Piroksikam:

$$2 \text{ mmol} = \frac{\text{mg}}{331}$$

$$\text{mg} = 662 \text{ mg}$$

Asam Malat:

$$4 \text{ mmol} = \frac{\text{mg}}{134}$$

$$\text{mg} = 536 \text{ mg}$$

c. Perbandingan molar 2:1 (Piroksikam: Asam Malat)

Piroksikam:

$$2 \text{ mmol} = \frac{\text{mg}}{331}$$

$$\text{mg} = 662 \text{ mg}$$

Asam Malat

$$1 \text{ mmol} = \frac{\text{mg}}{134}$$

$$\text{mg} = 134 \text{ mg}$$

Lampiran 17. Perhitungan bobot penimbangan sampel Uji Disolusi

Bobot setara Piroksikam = 20 mg

$$\begin{aligned} \text{a. Kokristal 1:1} &= \frac{\text{Bobot setara Piroksikam}}{\text{Bobot Piroksikam dalam kokristal}} \times \text{Bobot kokristal} \\ &= \frac{20 \text{ mg}}{662 \text{ mg}} \times 930 \text{ mg} \\ &= 28,09 \text{ mg.} \end{aligned}$$

$$\begin{aligned} \text{b. Kokristal 1:2} &= \frac{\text{Bobot setara Piroksikam}}{\text{Bobot Piroksikam dalam kokristal}} \times \text{Bobot kokristal} \\ &= \frac{20 \text{ mg}}{662 \text{ mg}} \times 1198 \text{ mg} \\ &= 36,19 \text{ mg} \end{aligned}$$

$$\begin{aligned} \text{c. Kokristal 2:1} &= \frac{\text{Bobot setara Piroksikam}}{\text{Bobot Piroksikam dalam kokristal}} \times \text{Bobot kokristal} \\ &= \frac{20 \text{ mg}}{662 \text{ mg}} \times 796 \text{ mg} \\ &= 24,04 \text{ mg.} \end{aligned}$$

Lampiran 18. Perhitungan Konsentrasi Terlarut pada Uji Disolusi

Perhitungan konsentrasi dalam 1000 mL

Persamaan regresi linier Piroksikam:

$$y = ax + b \longrightarrow y = 0,0664 x - 0,0262$$

$$a = 0,0664; b = - 0,0262$$

y = absorbansi (A), x = konsentrasi (C)

$$\text{Konsentrasi} = \frac{\text{Absorbansi}-b}{a}$$

a. Piroksikam Standar

1. Piroksikam pada menit ke-15

$$\text{Konsentrasi dalam 1000 mL} = \frac{0,2815 - (-0,0262)}{0,0664} = 4,634 \text{ mg}$$

$$\text{Konsentrasi dalam 900 mL} = \frac{4,634 \text{ mg}}{1000 \text{ mL}} \times 900 \text{ mL} = 4,170 \text{ mg}$$

2. Piroksikam pada menit ke-30

$$\text{Konsentrasi dalam 900 mL} = \frac{0,3462 - (-0,0262)}{0,0664} \times \left(\frac{900 \text{ mL}}{1000 \text{ mL}} \right) = 5,0472 \text{ mg}$$

3. Piroksikam pada menit ke-45

$$\text{Konsentrasi dalam 900 mL} = \frac{0,4742 - (-0,0262)}{0,0664} \times \left(\frac{900 \text{ mL}}{1000 \text{ mL}} \right) = 6,803 \text{ mg}$$

4. Piroksikam pada menit ke-60

$$\text{Konsentrasi dalam 900 mL} = \frac{0,5286 - (-0,0262)}{0,0664} \times \left(\frac{900 \text{ mL}}{1000 \text{ mL}} \right) = 7,5159 \text{ mg}$$

5. Piroksikam pada menit ke-75

$$\text{Konsentrasi dalam 900 mL} = \frac{0,6005 - (-0,0262)}{0,0664} \times \left(\frac{900 \text{ mL}}{1000 \text{ mL}} \right) = 8,494 \text{ mg}$$

b. Kokristal Piroksikam: Asam malat (1:1)

1. Menit ke-15

$$\text{Konsentrasi dalam 900 mL} = \frac{0,4309 - (-0,0262)}{0,0664} \times \left(\frac{900 \text{ mL}}{1000 \text{ mL}} \right) = 6,195 \text{ mg}$$

2. Menit ke-30

$$\text{Konsentrasi dalam 900 mL} = \frac{0,5556 - (-0,0262)}{0,0664} \times \left(\frac{900 \text{ mL}}{1000 \text{ mL}} \right) = 7,885 \text{ mg}$$

3. Menit ke-45

$$\text{Konsentrasi dalam 900 mL} = \frac{0,6777 - (-0,0262)}{0,0664} \times \left(\frac{900 \text{ mL}}{1000 \text{ mL}} \right) = 9,54 \text{ mg}$$

4. Menit ke-60

$$\text{Konsentrasi dalam 900 mL} = \frac{0,7385 - (-0,0262)}{0,0664} \times \left(\frac{900 \text{ mL}}{1000 \text{ mL}} \right) = 10,364 \text{ mg}$$

5. Menit ke-75

$$\text{Konsentrasi dalam 900 mL} = \frac{0,7807 - (-0,0262)}{0,0664} \times \left(\frac{900 \text{ mL}}{1000 \text{ mL}} \right) = 10,936 \text{ mg}$$

c. Kokristal Piroksikam: Asam malat (1:2)

1. Menit ke-15

$$\text{Konsentrasi dalam 900 mL} = \frac{0,3795 - (-0,0262)}{0,0664} \times \left(\frac{900 \text{ mL}}{1000 \text{ mL}} \right) = 5,498 \text{ mg}$$

2. Menit ke-30

$$\text{Konsentrasi dalam 900 mL} = \frac{0,5843 - (-0,0262)}{0,0664} \times \left(\frac{900 \text{ mL}}{1000 \text{ mL}} \right) = 8,274 \text{ mg}$$

3. Menit ke-45

$$\text{Konsentrasi dalam 900 mL} = \frac{0,7250 - (-0,0262)}{0,0664} \times \left(\frac{900 \text{ mL}}{1000 \text{ mL}} \right) = 10,181 \text{ mg}$$

4. Menit ke-60

$$\text{Konsentrasi dalam 900 mL} = \frac{0,8194 - (-0,0262)}{0,0664} \times \left(\frac{900 \text{ mL}}{1000 \text{ mL}} \right) = 11,4606 \text{ mg}$$

5. Menit ke-75

$$\text{Konsentrasi dalam 900 mL} = \frac{0,8528 - (-0,0262)}{0,0664} \times \left(\frac{900 \text{ mL}}{1000 \text{ mL}} \right) = 11,907 \text{ mg}$$

d. Kokristal Piroksikam: Asam Malat (2:1)

1. Menit ke-15

$$\text{Konsentrasi dalam 900 mL} = \frac{0,4375 - (-0,0262)}{0,0664} \times \left(\frac{900 \text{ mL}}{1000 \text{ mL}} \right) = 6,2847 \text{ mg}$$

2. Menit ke-30

$$\text{Konsentrasi dalam 900 mL} = \frac{0,4550 - (-0,0262)}{0,0664} \times \left(\frac{900 \text{ mL}}{1000 \text{ mL}} \right) = 6,521 \text{ mg}$$

3. Menit ke-45

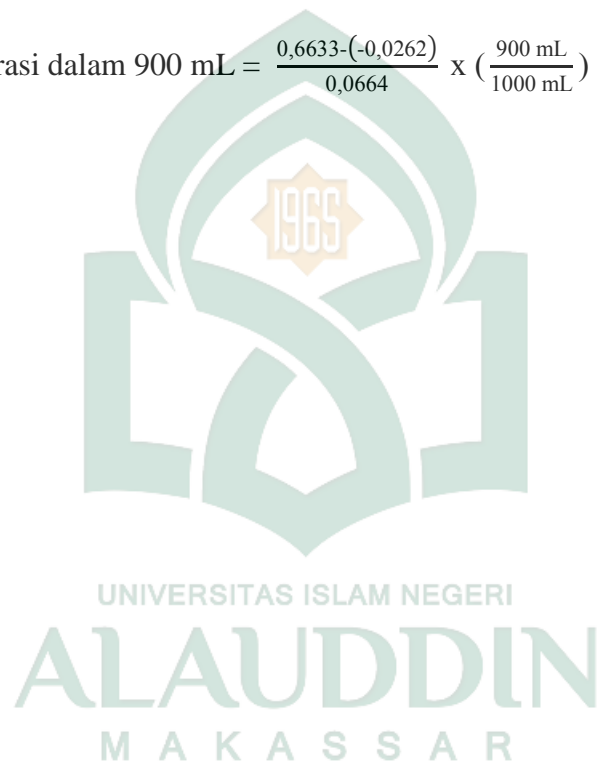
$$\text{Konsentrasi dalam 900 mL} = \frac{0,5815 - (-0,0262)}{0,0664} \times \left(\frac{900 \text{ mL}}{1000 \text{ mL}} \right) = 8,236 \text{ mg}$$

4. Menit ke-60

$$\text{Konsentrasi dalam 900 mL} = \frac{0,6108 - (-0,0262)}{0,0664} \times \left(\frac{900 \text{ mL}}{1000 \text{ mL}} \right) = 8,631 \text{ mg}$$

5. Menit ke-75

$$\text{Konsentrasi dalam 900 mL} = \frac{0,6633 - (-0,0262)}{0,0664} \times \left(\frac{900 \text{ mL}}{1000 \text{ mL}} \right) = 9,345 \text{ mg}$$



Lampiran 19. Perhitungan Faktor Koreksi

$$Fk = \frac{10 \text{ mL}}{900 \text{ mL}} \times C \text{ dalam } 900 \text{ mL} + Fk \text{ menit sebelumnya}$$

a. Piroksikam Standar

1. Menit ke-15

$$Fk = \frac{10 \text{ mL}}{900 \text{ mL}} \times 4,170 \text{ mg} + 0 = 0,0463 \text{ mg}$$

2. Menit ke-30

$$Fk = \frac{10 \text{ mL}}{900 \text{ mL}} \times 5,0472 \text{ mg} + 0,0463 \text{ mg} = 0,1023 \text{ mg}$$

3. Menit ke-45

$$Fk = \frac{10 \text{ mL}}{900 \text{ mL}} \times 6,803 \text{ mg} + 0,1023 \text{ mg} = 0,1778 \text{ mg}$$

4. Menit ke-60

$$Fk = \frac{10 \text{ mL}}{900 \text{ mL}} \times 0,0835 \text{ mg} + 0,1778 \text{ mg} = 0,2613 \text{ mg}$$

5. Menit ke-75

$$Fk = \frac{10 \text{ mL}}{900 \text{ mL}} \times 8,494 \text{ mg} + 0,2613 \text{ mg} = 0,3556 \text{ mg}$$

b. Kokristal Piroksikam : Asam Malat (1:1)

1. Menit ke-15

$$Fk = \frac{10 \text{ mL}}{900 \text{ mL}} \times 6,195 \text{ mg} + 0 = 0,0688 \text{ mg}$$

2. Menit ke-30

$$Fk = \frac{10 \text{ mL}}{900 \text{ mL}} \times 7,885 \text{ mg} + 0,0688 \text{ mg} = 0,1564 \text{ mg}$$

3. Menit ke-45

$$Fk = \frac{10 \text{ mL}}{900 \text{ mL}} \times 9,54 \text{ mg} + 0,1564 \text{ mg} = 0,2624 \text{ mg}$$

4. Menit ke-60

$$Fk = \frac{10 \text{ mL}}{900 \text{ mL}} \times 10,364 \text{ mg} + 0,2624 \text{ mg} = 0,3775 \text{ mg}$$

5. Menit ke-75

$$Fk = \frac{10 \text{ mL}}{900 \text{ mL}} \times 10,936 \text{ mg} + 0,3775 \text{ mg} = 0,499 \text{ mg}$$

c. Kokristal Piroksikam: Asam Malat (1:2)

1. Menit ke-15

$$Fk = \frac{10 \text{ mL}}{900 \text{ mL}} \times 5,498 \text{ mg} + 0 = 0,061 \text{ mg}$$

2. Menit ke-30

$$Fk = \frac{10 \text{ mL}}{900 \text{ mL}} \times 8,274 \text{ mg} + 0,061 \text{ mg} = 0,1529 \text{ mg}$$

3. Menit ke-45

$$Fk = \frac{10 \text{ mL}}{900 \text{ mL}} \times 10,181 \text{ mg} + 0,1529 = 0,266 \text{ mg}$$

4. Menit ke-60

$$Fk = \frac{10 \text{ mL}}{900 \text{ mL}} \times 11,4606 \text{ mg} + 0,266 \text{ mg} = 0,393 \text{ mg}$$

5. Menit ke-75

$$Fk = \frac{10 \text{ mL}}{900 \text{ mL}} \times 11,907 \text{ mg} + 0,393 \text{ mg} = 0,525 \text{ mg}$$

d. Kokristal Piroksikam: Asam Malat (2:1)

1. Menit ke-15

$$Fk = \frac{10 \text{ mL}}{900 \text{ mL}} \times 6,2847 \text{ mg} + 0 = 0,0698 \text{ mg}$$

2. Menit ke-30

$$Fk = \frac{10 \text{ mL}}{900 \text{ mL}} \times 6,521 \text{ mg} + 0,0698 \text{ mg} = 0,1422 \text{ mg}$$

3. Menit ke-45

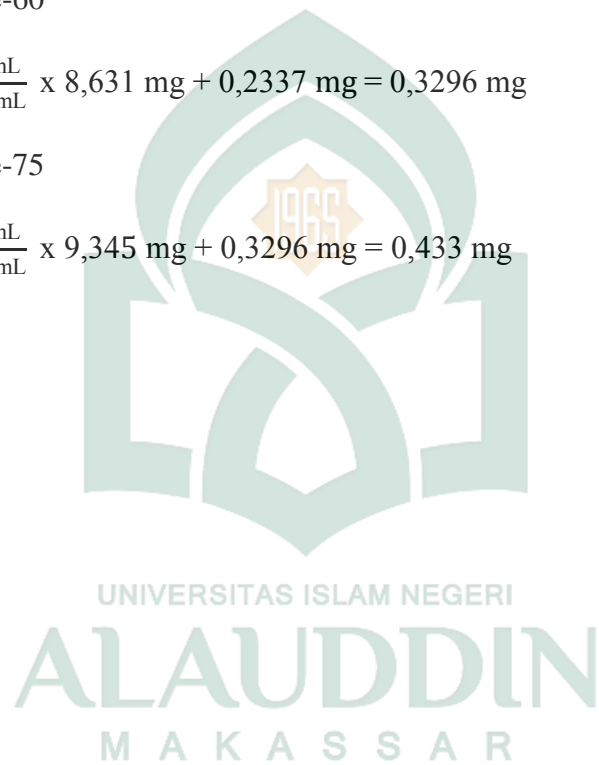
$$Fk = \frac{10 \text{ mL}}{900 \text{ mL}} \times 8,2368 \text{ mg} + 0,1422 \text{ mg} = 0,2337 \text{ mg}$$

4. Menit ke-60

$$Fk = \frac{10 \text{ mL}}{900 \text{ mL}} \times 8,631 \text{ mg} + 0,2337 \text{ mg} = 0,3296 \text{ mg}$$

5. Menit ke-75

$$Fk = \frac{10 \text{ mL}}{900 \text{ mL}} \times 9,345 \text{ mg} + 0,3296 \text{ mg} = 0,433 \text{ mg}$$



Lampiran 20. Perhitungan Jumlah Kumulatif (Kadar) Zat Terlarut

Jumlah kumulatif = Jumlah terlarut (mg/900 mL) + Fk menit sebelumnya

a. Piroksikam Standar

1. Menit ke-15

$$\text{Jumlah kumulatif} = 4,170 \text{ mg} + 0 = 4,170 \text{ mg}$$

2. Menit ke-30

$$\text{Jumlah kumulatif} = 5,0472 \text{ mg} + 0,0463 \text{ mg} = 5,0935 \text{ mg}$$

3. Menit ke-45

$$\text{Jumlah kumulatif} = 6,803 \text{ mg} + 0,1023 \text{ mg} = 6,9053 \text{ mg}$$

4. Menit ke-60

$$\text{Jumlah kumulatif} = 7,5195 \text{ mg} + 0,1778 \text{ mg} = 7,6973 \text{ mg}$$

5. Menit ke-75

$$\text{Jumlah kumulatif} = 8,494 \text{ mg} + 0,2613 \text{ mg} = 8,7553 \text{ mg}$$

b. Kokristal Piroksikam: Asam Malat (1:1)

1. Menit ke-15

$$\text{Jumlah kumulatif} = 6,195 \text{ mg} + 0 = 6,195 \text{ mg}$$

2. Menit ke-30

$$\text{Jumlah kumulatif} = 7,885 \text{ mg} + 0,0688 \text{ mg} = 7,953 \text{ mg}$$

3. Menit ke-45

$$\text{Jumlah kumulatif} = 9,54 \text{ mg} + 0,1564 \text{ mg} = 9,6964 \text{ mg}$$

4. Menit ke-60

$$\text{Jumlah kumulatif} = 10,364 \text{ mg} + 0,2624 \text{ mg} = 10,6264 \text{ mg}$$

5. Menit ke-75

$$\text{Jumlah kumulatif} = 10,936 \text{ mg} + 0,3775 \text{ mg} = 11,3135 \text{ mg}$$

c. Kokristal Piroksikam: Asam Malat (1:2)

1. Menit ke-15

$$\text{Jumlah kumulatif} = 5,498 \text{ mg} + 0 = 5,498 \text{ mg}$$

2. Menit ke-30

$$\text{Jumlah kumulatif} = 8,274 \text{ mg} + 0,061 \text{ mg} = 8,335 \text{ mg}$$

3. Menit ke-45

$$\text{Jumlah kumulatif} = 10,181 \text{ mg} + 0,1529 \text{ mg} = 10,334 \text{ mg}$$

4. Menit ke-60

$$\text{Jumlah kumulatif} = 11,4606 \text{ mg} + 0,266 \text{ mg} = 11,726 \text{ mg}$$

5. Menit ke-75

$$\text{Jumlah kumulatif} = 11,907 + 0,393 \text{ mg} = 12,3 \text{ mg}$$

d. Kokristal Piroksikam: Asam Malat (2:1)

1. Menit ke-15

$$\text{Jumlah kumulatif} = 6,2847 \text{ mg} + 0 = 6,2847 \text{ mg}$$

2. Menit ke-30

$$\text{Jumlah kumulatif} = 6,521 \text{ mg} + 0,0698 \text{ mg} = 6,590 \text{ mg}$$

3. Menit ke-45

$$\text{Jumlah kumulatif} = 8,2368 \text{ mg} + 0,1422 \text{ mg} = 8,379 \text{ mg}$$

4. Menit ke-60

$$\text{Jumlah kumulatif} = 8,631 \text{ mg} + 0,2337 \text{ mg} = 8,8647 \text{ mg}$$

5. Menit ke-75

$$\text{Jumlah kumulatif} = 9,345 \text{ mg} + 0,3296 \text{ mg} = 9,6746 \text{ mg}$$

Lampiran 21. Perhitungan Persentase Terlarut

Bobot setara Piroksikam = 20 mg

$$\% \text{ terlarut} = \frac{\text{Jumlah kumulatif zat terlarut}}{\text{bobot setara Piroksikam}} \times 100 \%$$

a. Piroksikam Standar

1. Menit ke-15

$$\% \text{ terlarut} = \frac{4,170 \text{ mg}}{20 \text{ mg}} \times 100 \% = 20,85 \%$$

2. Menit ke-30

$$\% \text{ terlarut} = \frac{5,0935 \text{ mg}}{20 \text{ mg}} \times 100 \% = 25,46 \%$$

3. Menit ke-45

$$\% \text{ terlarut} = \frac{6,9053 \text{ mg}}{20 \text{ mg}} \times 100 \% = 34,52 \%$$

4. Menit ke-60

$$\% \text{ terlarut} = \frac{7,6973 \text{ mg}}{20 \text{ mg}} \times 100 \% = 38,48 \%$$

5. Menit ke-75

$$\% \text{ terlarut} = \frac{8,7553 \text{ mg}}{20 \text{ mg}} \times 100 \% = 43,77 \%$$

b. Kokristal Piroksikam: Asam Malat (1:1)

1. Menit ke-15

$$\% \text{ terlarut} = \frac{6,195 \text{ mg}}{20 \text{ mg}} \times 100 \% = 30,975 \%$$

2. Menit ke-30

$$\% \text{ terlarut} = \frac{7,953 \text{ mg}}{20 \text{ mg}} \times 100 \% = 39,765 \%$$

3. Menit ke-45

$$\% \text{ terlarut} = \frac{9,6964 \text{ mg}}{20 \text{ mg}} \times 100 \% = 48,482 \%$$

4. Menit ke-60

$$\% \text{ terlarut} = \frac{10,6264 \text{ mg}}{20 \text{ mg}} \times 100 \% = 53,13 \%$$

5. Menit ke-75

$$\% \text{ terlarut} = \frac{11,3135 \text{ mg}}{20 \text{ mg}} \times 100 \% = 56,56 \%$$

c. Kokristal Piroksikam: Asam Malat (1:2)

1. Menit ke-15

$$\% \text{ terlarut} = \frac{5,498 \text{ mg}}{20 \text{ mg}} \times 100 \% = 27,49 \%$$

2. Menit ke-30

$$\% \text{ terlarut} = \frac{8,335 \text{ mg}}{20 \text{ mg}} \times 100 \% = 41,675 \%$$

3. Menit ke-45

$$\% \text{ terlarut} = \frac{10,334 \text{ mg}}{20 \text{ mg}} \times 100 \% = 51,67 \%$$

4. Menit ke-60

$$\% \text{ terlarut} = \frac{11,726 \text{ mg}}{20 \text{ mg}} \times 100 \% = 58,63 \%$$

5. Menit ke-75

$$\% \text{ terlarut} = \frac{12,3 \text{ mg}}{20 \text{ mg}} \times 100 \% = 61,5 \%$$

e. Kokristal Piroksikam: Asam Malat (2:1)

1. Menit ke-15

$$\% \text{ terlarut} = \frac{6,2847 \text{ mg}}{20 \text{ mg}} \times 100 \% = 31,42 \%$$

2. Menit ke-30

$$\% \text{ terlarut} = \frac{6,590 \text{ mg}}{20 \text{ mg}} \times 100 \% = 32,95 \%$$

3. Menit ke-45

$$\% \text{ terlarut} = \frac{8,379 \text{ mg}}{20 \text{ mg}} \times 100 \% = 41,895 \%$$

4. Menit ke-60

$$\% \text{ terlarut} = \frac{8,8647 \text{ mg}}{20 \text{ mg}} \times 100 \% = 44,32 \%$$

5. Menit ke-75


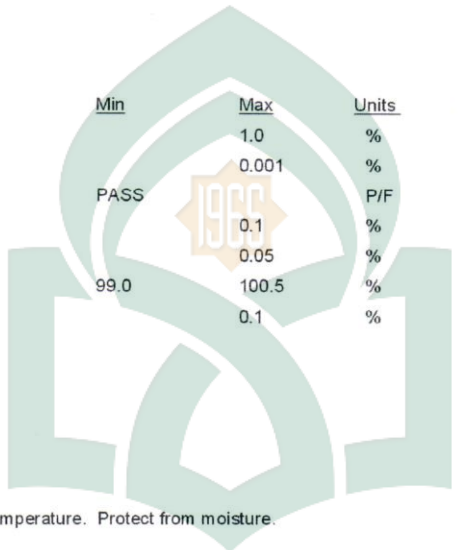
$$\% \text{ terlarut} = \frac{9,6746 \text{ mg}}{20 \text{ mg}} \times 100 \% = 48,37 \%$$

Lampiran 22. Sertifikat Analisis Piroksikam

精华制药集团南通有限公司检验报告 NANTONG JINGHUA PHARMACEUTICAL CO.LTD. CERTIFICATE OF ANALYSIS		
APIs.ADD:2-02# Crossroad Between 3 Haibin Road and 2 Tonghai Road,Yantai Economic Development Zone,Rudong,Nantong Jiangsu China,226407 Tel:86-513-85609405/85609406		
吡罗昔康 PIROXICAM		
Batch No.	PRX2016038	Manufacture Date 2016.04.27
Total Quantity	481.2KG	Report Date 2016.04.30
Commercial Quantity	10.0KG	Re-test Date 2020.04.26
Inspection No.	160300036	
TEST	SPECIFICATIONS (USP)	RESULTS
Characteristics	off-white to light tan or light yellow odorless powder	Complies
Identification	A. IR. B. UV C. TLC	Complies
Water	≤0.5%	0.10%
Residue on ignition	≤0.3%	0.05%
Heavy metals	≤0.005%	<0.005%
Assay	97.0~103.0%	99.33%
Conclusion .	The production meets the requirements of USP 34	
Analyst 邵磊	Supervisor 邵磊	Chief of Laboratory: Li Lin 李林

ALAUDDIN
M A K A S S A R

Lampiran 23. Sertifikat Analisis Asam Malat

amresco®		Corporate Headquarters AMRESCO, LLC 6681 Cochran Road Solon, Ohio USA 44139-4300 440/349-1199 FAX: 440/349-118 www.amresco-inc.com Email: info@amresco-inc.com		
ISO 9001 CERTIFIED ISO 13485 CERTIFIED		CERTIFICATE OF QUALITY		
Product:	DL-MALIC ACID			
Grade:	HIGH PURITY GRADE			
	EXPIRATION DATE: 04/01/2019			
Code:	0664			
Appearance:	White powder			
Mol. Formula:	C ₄ H ₆ O ₅			
Mol. Weight:	134.09			
Description:				
Assay:	<u>Min</u>	<u>Max</u>	<u>Units</u>	<u>Disposition</u>
Fumaric Acid		1.0	%	PASS
Heavy Metals (as Pb)		0.001	%	PASS
Identification	PASS		P/F	PASS
Insolubles		0.1	%	PASS
Maleic Acid		0.05	%	PASS
Purity	99.0	100.5	%	PASS
Residue on Ignition		0.1	%	PASS
Storage:	Store at room temperature. Protect from moisture.			
	This signature indicates that the above material has met all quality specifications and has been reviewed by a quality representative.			
Signature:				
Title:	QC MANAGER	Date:	4/1/2015	
	 ALAUDDIN M A K A S S A R			

RIWAYAT HIDUP



Nurjannah, dilahirkan di Kabiraan 20 Mei 1995 dari pasangan Sayadi Bintaha dan St. Salsiah, merupakan anak kedua dari 5 bersaudara.

Penulis menempuh pendidikan dasar di SDN NO. 6 Kabiraan, Pendidikan Menengah di SMPN 3 Majene dan SMAN 2 Majene, dan saat ini masih terdaftar sebagai Mahasiswa jurusan Farmasi Fakultas Kedokteran dan Ilmu Kesehatan di UIN Alauddin Makassar yang sementara menyelesaikan proses studinya.

Motivasi terbesar yang senantiasa memotivasi penulis untuk senantiasa menuntut ilmu di tempat yang jauh dari kampung halaman adalah karena penulis menyadari bahwa, pendidikan baik itu pendidikan keagamaan, formal, informal, *softskill* dan sebagainya merupakan harga mati untuk memajukan suatu daerah, apalagi karena penulis sendiri menyadari ketertinggalan daerah asalnya baik dari kemajuan ilmu pengetahuan keagamaan, kesehatan, kebudayaan dan sebagainya.